

RAPORT Z WYKONANIA MAP ZAGROŻENIA POWODZIOWEGO I MAP RYZYKA POWODZIOWEGO

ZAŁĄCZNIK NR 1

PROJEKT ISOK – RAPORT Z ZAKOŃCZENIA REALIZACJI
ZADANIA 1.3.2 - PRZYGOTOWANIE DANYCH
HYDROLOGICZNYCH W ZAKRESIE
NIEZBĘDNYM DO MODELOWANIA HYDRAULICZNEGO

Projekt ISOK – RAPORT Z ZAKOŃCZENIA REALIZACJI ZADANIA 1.3.2

Przygotowanie danych hydrologicznych
w zakresie niezbędnym do modelowania
hydraulicznego

Metryka

Dane	Opis
Tytuł dokumentu	Raport końcowy
Autor dokumentu (firma / instytucja)	IMGW PIB
Nazwa Projektu	Informatyczny system osłony kraju przed nadzwyczajnymi zagrożeniami
Nr Projektu	POIG.07.01.00-00-025/09
Rodzaj Dokumentu	Raport końcowy
Poufność	
Nazwa i kod Produktu	
Nazwa i kod Zadania	1.3.2 Przygotowanie danych hydrologicznych w zakresie niezbędnym do modelowania hydraulicznego

Historia zmian

Wersja	Autor	Data	Zmiana
0.01	TT	20131220	

Recenzje dokumentu

	Recenzent	Data
1		
2		
3		
4		

Odniesienia do innych dokumentów

Nazwa dokumentu	Data opracowania dokumentu
Studium Wykonalności dla projektu w ramach VII osi POIG – „Informatyczny system osłony kraju przez nadzwyczajnymi zagrożeniami”	Marzec 2011
Umowa o dofinansowanie nr POIG.07.01.00-00-025/09-00 zawarta pomiędzy WWPE a IMGW	Lipiec 2010

Spis treści

1	WPROWADZENIE	4
2	INFORMACJE OGÓLNE	5
3	CEL I ZAKRES ZADANIA	8
4	SYNTETYCZNY OPIS REALIZOWANYCH ZADAŃ	9
4.1	Charakterystyki hydrologiczne posterunków wodowskazowych	9
4.2	Stałe lub zmienne w czasie wartości przepływu Q [m^3/s]	10
4.3	Rozkłady przepływów Q zgodnie z przyjętymi scenariuszami powodziowymi	11
4.4	Stałe lub zmienne w czasie wartości rzędnych zwierciadła wody H [cm]	13
4.5	Krzywe przepływu Q/H dla posterunków wodowskazowych udostępniane będą wraz z przekazanymi modelami hydraulicznymi.	13
5	PODSUMOWANIE	16
6	Załączniki	19

1 WPROWADZENIE

Przedkładany Raport dotyczy realizowanych prac z zakresu hydrologii w projekcie INFORMATYCZNY SYSTEM OSŁONY KRAJU PRZED NADZWYCZAJNYMI ZAGROŻENIAMI (akronim ISOK).

Dla realizacji projektu na zamówienie Prezesa Krajowego Zarządu Gospodarki Wodnej zostały opracowane następujące metodyki:

- Metodyka Wstępnej Oceny Ryzyka Powodziowego, pod red. KZGW na podstawie opracowania przygotowanego przez IMGW Oddział w Krakowie, 2010 r. (sfinansowano ze środków NFOŚiGW),
- Metodyka opracowania map zagrożenia powodziowego, opracowana przez DHI Polska (zespół autorski: A. Borowicz, J. Kwiatkowski, J. Spatka, E. Zeman), 2009 r. (sfinansowano ze środków NFOŚiGW),
- Metodyka opracowania map ryzyka powodziowego, opracowana przez DHI Polska (zespół autorski: K. Froehlich, J. Kwiatkowski, A. Markowska, J. Spatka, E. Zeman, T. Żylicz), 2009 r., (sfinansowano ze środków NFOŚiGW),
- Metodyka obliczania przepływów i opadów maksymalnych o określonym prawdopodobieństwie przewyższenia dla zlewni kontrolowanych i niekontrolowanych oraz identyfikacji modeli transformacji opadu w odpływ, opracowana przez SHP, 2009 r. (sfinansowano ze środków NFOŚiGW).

Z opracowanych metodyk pełnej akceptacji nie uzyskała metodyka opracowana przez Stowarzyszenie Hydrologów Polskich, ponieważ nie osiągnięto konsensusu w sprawie wyznaczania przepływów maksymalnych o zadanym prawdopodobieństwie przewyższenia dla zlewni kontrolowanych pod względem hydrologicznym.

W ramach projektu ISOK mapy zagrożenia powodziowego oraz mapy ryzyka powodziowego dla obszaru Polski wykonywane są według jednolitej metodyki.

Zgodnie z „Metodyką opracowania map zagrożenia powodziowego” wykonaną na zlecenie KZGW w 2009 r. mapa zagrożenia powodziowego przedstawia zasięg strefy zalewu powodziowego wyznaczonej w oparciu o zasady statystyki matematycznej (prezentujących wezbranie o określonym prawdopodobieństwie przewyższenia) lub inny przyjęty scenariusz powodziowy (np. awaria obwałowań, zapory). Mapy zagrożenia powodziowego opracowuje się dla 3 scenariuszy związanych z prawdopodobieństwem wystąpienia powodzi:

- niskiego - $Q(0,2\%)$
- średniego - $Q(1\%)$,
- wysokiego prawdopodobieństwa – $Q(10\%)$.

2 INFORMACJE OGÓLNE

Raport dotyczy prac zrealizowanych w zad. 1.3.2 pt. Przygotowanie danych hydrologicznych w zakresie niezbędnym do modelowania hydraulicznego w projekcie INFORMATYCZNY SYSTEM OSŁONY KRAJU PRZED NADZWYCAJNYMI ZAGROŻENIAMI (akronim ISOK). Raport obejmuje okres realizacji prac od 1.03 2011 do 31.11.2013.

Zadanie zostało wykonywane przez powołane zespoły w Oddziałach: Poznań, Kraków, Gdynia oraz we Wrocławiu. Przy powołaniu zespołów kierowano się następującymi informacjami:

- wielkości obszaru (liczba rzek) przeznaczonego do modelowania przez CMP na podstawie analizy wezbrań historycznych,
- liczba hydrologów zatrudnionych w poszczególnych BPH w każdym Oddziale,
- dostęp pracowników do baz danych CBDH oraz SH.

Na kierownika zespołu powołano dr inż. Tamarę Tokarczyk.

W każdym Oddziale została również powołana osoba do kontaktów z kierownikiem zespołu. I tak w Oddziale poznańskim osobą do kontaktów jest mgr inż. Andrzej Hański, w Oddziale krakowskim – mgr Agnieszka Malota, w Morskim Oddziale w Gdyni – dr inż. Marzenna Sztobryn, w Oddziale wrocławskim – mgr inż. Magdalena Korcz.

Zespoły powołano na czas określony od 1.03.2011–30.09.2012, których skład osobowy w poszczególnych Oddziałach zamieszczona poniżej.

Oddział w Poznaniu:

Imię i nazwisko pracownika	Stopień naukowy/tytuł	Miejsce pracy (oddział, komórka organizacyjna)	Stanowisko w IMGW-PIB	Rok zatrudnienia w IMGW PIB
Andrzej Hański	mgr inż.	Poznań, BPH	synoptyk, kierownik BPH	2000
Tomasz Krukowski	mgr inż.	Poznań, BPH	synoptyk	2001
Maciej Jęch	mgr inż.	Poznań, BPH	specjalista	2000
Roman Kurpisz	mgr	Poznań, BPH	starszy specjalista	1986
Paweł Terlecki	mgr inż.	Poznań, BPH	specjalista	2004
Bogusław Tadeuszewski	mgr	Poznań, DSPOp	starszy specjalista	1967
Małgorzata Wilczak	mgr inż.	Poznań, DSPOp	specjalista	2004
Aleksandra Ulatowska	mgr	Poznań, DSPOs	specjalista	2006
Urszula Czaja	mgr	Poznań, DSPOs	specjalista	2006

Oddział w Krakowie:

Imię i Nazwisko	Stopień naukowy/tytuł	Miejsce pracy	Stanowisko w IMGW-PIB	Rok zatrudnienia w IMGW PIB
Agnieszka Malota	mgr	Kraków, BPH	starszy synoptyk	1996
Marta Cygan	mgr	Kraków, BPH	starszy specjalista	1978
Bożena Dubiel	mgr	Kraków, BPH Katowice	starszy specjalista	1986

Imię i Nazwisko	Stopień naukowy/tytuł	Miejsce pracy	Stanowisko w IMGW-PIB	Rok zatrudnienia w IMGW PIB
Michał Kasina	dr	Kraków BPH	specjalista	2010
Katarzyna Prabudзка	mgr	Kraków, BPH Katowice	specjalista	2005
Marta Kuroś	mgr	Kraków, BPH	synoptyk	1979
Maria Matusiewicz	mgr inż.	Kraków, DSPO_Wa, Warszawa	starszy specjalista	1975
Paulina Obrochta	mgr	Kraków, BPH	specjalista	2008
Maciej Rawa	dr inż.	Kraków, DSPO_Wa Warszawa	specjalista	1996
Artur Romański		Kraków, BPH	specjalista	1998
Wiesława Sienkiewicz	mgr	Kraków, DSPO_Bs Białystok	starszy specjalista	1975
Anna Śmiech	mgr	Kraków, BPH	starszy synoptyk	1998
Karolina Wolanin	mgr	Kraków, BPH	specjalista	2007
Małgorzata Zajac	mgr inż.	Kraków, DSPO_Wa Warszawa	specjalista	2002
Barbara Ziniewicz	mgr inż.	Kraków, DSPO_Bs Białystok	specjalista	2002

Oddział Morski w Gdyni:

Imię i nazwisko pracownika	Stopień naukowy/tytuł	Miejsce pracy (oddział, komórka organizacyjna)	Stanowisko w IMGW PIB	Rok zatrudnienia w IMGW PIB
Marzena Sztobryn	dr inż.	Gdynia, BPH	adiunkt, kierownik BPH	1987
Monika Brzoza	mgr inż.	Gdynia, BPH	specjalista hydrolog	2007
Beata Kowalska	mgr inż.	Gdynia, BPH	starszy specjalista badawczo-techniczny	1990
Ida Stanisławczyk	mgr inż.	Gdynia, BPH	synoptyk hydrolog	1982
Anna Bolek- Burclaw	mgr inż.	Gdynia, BPH	specjalista	2010
Anna Kubicka	mgr inż.	Gdynia, BPH	specjalista	2010
Arkadiusz Fabrycki	mgr inż.	Gdynia, BPH	specjalista	2010

Oddział we Wrocławiu:

Imię i nazwisko pracownika	Stopień naukowy/tytuł	Miejsce pracy (oddział, komórka organizacyjna)	Stanowisko w IMGW PIB	Rok zatrudnienia w IMGW-PIB
Laura Radczuk	profesor nauk rolniczych	Wrocław, Zakład Hydrologii	profesor	1995
Tamara Tokarczyk	dr hab. inż.	Wrocław, CMP	adiunkt	2000
Leszek Jelonek	dr inż.	Wrocław, BPH	główny specjalista	2000
Magdalena Korcz	mgr inż.	Wrocław, BPH	starszy specjalista	2003
Joanna Troska	mgr inż.	Wrocław, BPH	starszy specjalista	2004
Barbara Maciejowska	mgr inż.	Wrocław, BPH	starszy specjalista	1976
Aleksander Małek	mgr	Wrocław, BPH	starszy specjalista	1991
Jacek Lisowski	mgr inż.	Wrocław, Zakład	główny specjalista	1984

Imię i nazwisko pracownika	Stopień naukowy/tytuł	Miejsce pracy (oddział, komórka organizacyjna)	Stanowisko w IMGW PIB	Rok zatrudnienia w IMGW-PIB
		Hydrologii		
Maciej Siuta	mgr inż.	Wrocław, Zakład Hydrologii	starszy specjalista	1998
Katarzyna Zielak	mgr inż.	Wrocław, DSPO	specjalista	2010
Piotr Djakow	inż.	Wrocław, Samodzielna Sekcja Informatyki	specjalista	2005

Zakończenie głównych prac zespołów zostało zaplanowane na 30.06.2012. W okresie od 30.06.2012 do 30.12.2013 r. zostały powołane w każdym Oddziale osoby do kontaktu z CMP w zakresie hydrologii oraz opracowania lub weryfikacji danych hydrologicznych wynikających z bieżących potrzeb CMP podczas modelowania.

Skład osobowy zespołów powołanych w okresie od 30.06.2012 do 31.11.2013 r:

- Oddział Poznań: mgr inż. Andrzej Hański, mgr inż. Tomasz Krukowski
- Oddział Kraków: mgr Bożena Dubiel, dr Michał Kasina, mgr Paulina Obrochta, dr inż. Maciej Rawa, mgr inż. Barbara Ziniewicz, mgr Agnieszka Malota, mgr inż. Maria Matusiewicz, mgr Wiesława Sienkiewicz
- Oddział Gdynia: mgr inż. Kowalska Beata, mgr inż. Fabrycki Arkadiusz
- Oddział Wrocław: prof. dr hab. inż. Laura Radczuk, mgr inż. Magdalena Korcz, mgr inż. Joanna Troska.

Zrealizowane prace w okresie objętym raportem były przekazywane sukcesywnie, do Centrów Modelowania Powodziowego (CMP), w postaci bazy elektronicznej umieszczonej na serwerach CMP w pliku HYDRO wraz z powiadomieniem kierownika zespołu. Dane te były wstępnie sprawdzane pod kątem zawartości oraz zgodności z harmonogramem dwustopniowo, w każdym Oddziale przez osobę do kontaktów z kierownikiem oraz przez kierownika zespołu.

Skład osobowy zespołów oraz funkcje, które pełnią w projekcie, okres zatrudnienia a także zakres obowiązków w projekcie ISOK przedstawiono w tabeli 1 w Załączniku 1.

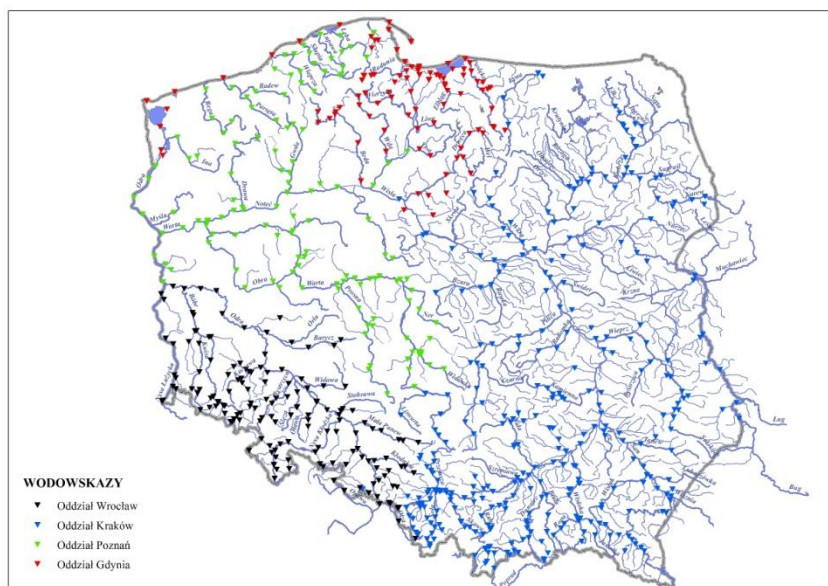
3 CEL I ZAKRES ZADANIA

Celem zadania „Przygotowanie danych hydrologicznych w zakresie niezbędnym do modelowania hydraulicznego” jest opracowanie danych hydrologicznych jako podstawy do opracowania przez CMP map zagrożenia powodziowego oraz map ryzyka powodziowego. Podstawą realizacji zadania jest „Metodyka opracowania map zagrożenia powodziowego” wykonana przez DHI Polska na zlecenie Krajowego Zarządu Gospodarki Wodnej i sfinansowana ze środków Narodowego Funduszu Ochrony Środowiska i Gospodarki Wodnej. Skład zespołu obejmował następujących autorów: Andrzej Borowicz, Jan Kwiatkowski, Jan Spatka, Evzen Zeman. Zgodnie z metodyką dane hydrologiczne niezbędne do modelowania przepływu w korytach i na terenach zalewowych dla wszystkich typów modelowania hydraulicznego 1D, 2D, 1D/2D powinny zawierać:

- charakterystyki hydrologiczne posterunków wodowskazowych,
- stałe lub zmienne w czasie wartości przepływu Q [m^3/s],
- rozkłady przepływów Q zgodnie z przyjętymi scenariuszami powodziowymi,
- stałe lub zmienne w czasie wartości rzędnych zwierciadła wody H [m],
- krzywe przepływu Q/H dla posterunków wodowskazowych.

Dane hydrologiczne zostały opracowane dla zlewni kontrolowanych pod względem hydrologicznym. Pracami zostały objęte te stacje wodowskazowe, które zostały wskazane przez Centra Modelowania Powodziowego w Poznaniu, Krakowie, Gdyni i we Wrocławiu.

Lokalizację rzek i stacji wodowskazowych z podziałem na Oddziały przedstawia rys. 1.



Rysunek 1. Lokalizacja rzek i stacji wodowskazowych objętych opracowaniem

Tabelaryczny wykaz rzek i stacji wodowskazowych objętych opracowaniem zamieszczono w Załączniku 2 (Tab. 2.1 – 2.4) na końcu przedkładanego raportu.

4 SYNTETYCZNY OPIS REALIZOWANYCH ZADAŃ

Opracowanie danych hydrologicznych jako podstawy do opracowania map zagrożenia powodziowego oraz map ryzyka powodziowego, zgodnie z metodyką w szczególności zawiera:

- charakterystyki hydrologiczne posterunków wodowskazowych,
- stałe lub zmienne w czasie wartości przepływu Q [m^3/s],
- rozkłady przepływów Q zgodnie z przyjętymi scenariuszami powodziowymi,
- stałe lub zmienne w czasie wartości rzędnych zwierciadła wody H [m],
- krzywe przepływu Q/H dla posterunków wodowskazowych.

4.1 Charakterystyki hydrologiczne posterunków wodowskazowych

Posterunki wodowskazowe zostały opisane następującymi charakterystykami: km położenia, powierzchnia zamykająca, położenie zera wodowskazu, przepływy charakterystyczne.

Charakterystyka reżimu hydrologicznego została przedstawiona w postaci przepływów charakterystycznych (SNQ, SSQ, SWQ).

Położenie stacji wodowskazowej zostało przedstawione jako kilometr biegu rzeki zgodnie z mapą podziału hydrograficznego Polski (MPHP 2007).

Powierzchnia zlewni do profilu zamykającego stacji wodowskazowej została określona według MPHP 2007.

Rzędne zera wodowskazu zostały sprowadzone do jednego układu odniesienia w Kronsztadt (m n.p.m. Kr.), ponieważ do roku 1986 część rzędnych zer wodowskazów istniała w układzie odniesienia Amsterdam (m n.p.m. NN).

Dla stacji wodowskazowych objętych opracowaniem zostały opracowane przepływy charakterystyczne dla najdłuższego okresu z wielolecia 1951–2010 roku wg metodyki stosowanej w IMGW (Pismo okólne nr 2 z dnia 9.06.2003 Z-cy Dyr. ds. Państwowej Służby Hydrologiczno-Meteorologicznej w sprawie ujednolicenia metodyki obliczania stanów charakterystycznych).

Charakterystyczne przepływy:

SNQ₁₉₅₁₋₂₀₁₀ – średnia wartość z najniższych przepływów rocznych wyznaczanych z odpowiedniej krzywej natężenia przepływu z 40 lat

SSQ₁₉₅₁₋₂₀₁₀ – średnia wartość ze średnich przepływów rocznych wyznaczonych na podstawie rocznych hydrogramów przepływu z 40 lat

SWQ₁₉₅₁₋₂₀₁₀ – średnia wartość z najwyższych przepływów rocznych wyznaczanych z odpowiedniej krzywej natężenia przepływu z 40 lat.

Zestawienie przepływów charakterystycznych zamieszczono w tabelach 2-5 w Załączniku 2.

4.2 Stałe lub zmienne w czasie wartości przepływu Q [m^3/s]

Dla celów przeprowadzenia modelowania hydraulicznego transformacji przepływu w korytach rzecznych wykorzystano:

- fale wezbraniowe dla wybranego okresu na potrzeby kalibracji modelu.
- fale hipotetyczne dla założonych przepływów maksymalnych o określonym prawdopodobieństwie przewyższenia odpowiadającym scenariuszom powodziowym.

Do kalibracji opracowanych modeli hydraulicznych rzek wybrano fale wezbraniowe z okresu możliwie najbardziej aktualnego celem uwzględniania bieżących warunków przepustowości koryta.

Zestawienie fal do kalibracji zamieszczono w bazie danych załączonych na płycie CD do niniejszego raportu.

Obliczenia fal hipotetycznych dla stacji wodowskazowych wykonano metodą opracowaną przez Katedrę Hydrologii i Gospodarki Wodnej Politechniki Warszawskiej i opisaną w opracowaniu „Przykłady obliczeń hydrologicznych do opracowań wodno-melioracyjnych”. Praca studialna nr 126, CBSiPWM, Warszawa 1971.

Obliczenia fal hipotetycznych wykonuje się metodą opracowaną przez Katedrę Hydrologii i Gospodarki Wodnej Politechniki Warszawskiej [Przykłady obliczeń hydrologicznych do opracowań wodno-melioracyjnych. Praca studialna nr 126. CBSiPWM”, Warszawa 1971] i przyjętą przez IMGW. Podstawę opracowania fal hipotetycznych stanowią hydrogramy przepływów z wieloletniego okresu obserwacji oraz obserwacje nadzwyczajne.

Wymagane dane dla każdego wezbrania:

1. Hydrogram przepływów z okresu wezbrania.
2. Zestawienie obserwacji nadzwyczajnych obejmujące okres wezbrania.
3. Przepływ początkowy (podstawa fali) - przepływ, od którego rozpoczyna się ciągły i intensywny wzrost przepływów
4. Przepływ maksymalny wezbrania,
5. Czas wznoszenia fali (czas od początku fali do kulminacji)

Parametry fali:

Q_0 – przepływ początkowy, m^3/s

Q_s - przepływ maksymalny wezbrania, m^3/s

T_s – czas wznoszenia fali, godz.

Algorytm obliczeń:

1. Wybór rzeczywistych fal - Zaleca się wybór przynajmniej 6 największych wezbrań z uwzględnieniem obserwacji nadzwyczajnych, które stanowią podstawę konstrukcji fal hipotetycznych.
2. Normalizacja fal - przeprowadza się dwustopniowo: względem czasu oraz przepływu. Normalizacja fali względem czasu – opis fali „0” – początek fali, „1” – kulminacja fali. Normalizacja fali względem przepływów - określenie wartości przepływów $Q_n(T_n)$,

gdzie $T_n = n \times T_s$ dla $n = 0, 0.1, 0.2, 0.3, 0.4, \dots, 5.0$, gdzie n – przyjęty krok czasowy, różny dla czasu wznoszenia i opadania fali.

3. Konstrukcja wzorcowej fali hipotetycznej - fala hipotetyczna wzorcowa jest konstruowana na podstawie znormalizowanych wartości czasu i przepływu.
4. Obliczenia fal hipotetycznych z przepływem maksymalnym o zadanym prawdopodobieństwie przewyższenia - fale hipotetyczne dla przepływów maksymalnych o określonym prawdopodobieństwie przewyższenia oblicza się na podstawie Q_{pp} oraz wzorcowej fali hipotetycznej. Fale o określonym prawdopodobieństwie przewyższenia opisano następującymi parametrami: t_s - czas wznoszenia fali hipotetycznej - średnia z wartości T_s dla wybranego przekroju, Q_{pp} – maksymalny przepływ, o określonym prawdopodobieństwie przewyższenia, V - objętość całkowita fali hipotetycznej w mln m³.

Do opracowania fal hipotetycznych wykorzystano program „Fala” autorstwa Piotr Dżakow, Jolanta Malicka z oddziału wrocławskiego IMGW-PIB.

Zestawienie fal hipotetycznych zamieszczono w bazie danych załączonych na płycie CD do niniejszego raportu.

4.3 Rozkłady przepływów Q zgodnie z przyjętymi scenariuszami powodziowymi

Przepływy prawdopodobne o określonym prawdopodobieństwie przewyższenia na potrzeby modelowania w warunkach ustalonych na wodowskazach,

Zgodnie z metodyką wyznaczania map zagrożenia powodziowego dla potrzeb wdrażania Dyrektywy Powodziowej w Polsce rozpatruje się trzy scenariusze powodziowe:

- scenariusz I - niskie prawdopodobieństwo wystąpienia powodzi $p = 0,2\%$,
- scenariusz II - średnie prawdopodobieństwo wystąpienia powodzi $p = 1\%$,
- scenariusz III - wysokie prawdopodobieństwo wystąpienia powodzi $p = 10\%$.

Przepływy o zadanym prawdopodobieństwie przewyższenia dla przyjętych w CMP stacji wodowskazowych zostały obliczone na podstawie przepływów maksymalnych rocznych metodą funkcji najbardziej wiarygodnej, zgodnie z obowiązującą metodyką w IMGW PIB (Zarządzenie Nr 57/2011 Dyr. IMGW PIB z dnia 20 października 2011 w sprawie obliczania przepływów maksymalnych o zadanym prawdopodobieństwie przewyższenia). Obliczenia przeprowadzono wykorzystując oprogramowanie PrzepływyMax 2011, którego autorem jest W. Jakubowski z Uniwersytetu Przyrodniczego we Wrocławiu.

Danymi wejściowymi są maksymalne przepływy roczne obserwowane na stacjach wodowskazowych PSHM wybrane spośród obserwacji nadzwyczajnych. W programie przyjęto założenie, że liczba obserwacji ma stanowić długi ciąg przepływów i nie może być mniejsza niż 30. Badanie jednorodności ciągów spełnia rolę informacyjną o badanych ciągach, a w przypadku wskazania braku jednorodności ciągów badacz może stosować dalszą procedurę

obliczeniową. Przeprowadza się badanie zgodności rocznych przepływów maksymalnych z następującymi rozkładami [Kaczmarek 1970, Cole 2004]:

a) Persona III typu o funkcji gęstości:

$$f_1(x) = \frac{\beta^\lambda}{\Gamma(\lambda)} (x - \varepsilon)^{\lambda-1} e^{-\beta(x-\varepsilon)} \text{ z parametrami } \beta, \lambda, \varepsilon$$

gdzie: β – parametr skali, λ – parametr kształtu, ε – dolne ograniczenie

b) Log-normalny o funkcji gęstości:

$$f_2(x) = \frac{1}{\sqrt{2\pi\sigma(x-\varepsilon)}} e^{-\frac{(\ln(x-\varepsilon)-\mu)^2}{2\sigma^2}} \text{ z parametrami } \mu, \sigma, \varepsilon$$

gdzie: μ – parametr skali, σ – parametr kształtu, ε – dolne ograniczenie,

c) Gumbela (Fishera – Tippetta I typu)

$$f_3(x) = \alpha e^{-\alpha(x-\varepsilon)} e^{-e^{-\alpha(x-\varepsilon)}} \text{ z parametrami } \alpha, \varepsilon$$

gdzie: ε – parametr położenia, α , ($\alpha > 0$) – parametr skali

d) GEV (Uogólnionych wartości ekstremalnych)

$$f_5(x) = \frac{1}{\sigma} \left(1 + \frac{\xi}{\sigma} (x - \mu) \right)^{\frac{1}{\xi}-1} e^{-\left(1 + \frac{\xi}{\sigma} (x - \mu) \right)^{\frac{1}{\xi}}} \text{ z parametrami } \mu, \sigma, \xi.$$

gdzie: μ – parametr położenia, σ – parametr skali, ξ – parametr kształtu.

Estymację nieznanymi parametrów rozkładów przeprowadza się metodą największej wiarygodności. W rozkładzie Persona III typu oraz log-normalnym dla zadanego dolnego ograniczenia (wartość mniejsza od ostatniego wyrazu uporządkowanego malejąco ciągu rozdzielnego) parametr ε dobiera się tak, aby minimalizowane było kryterium informacyjne Akaike. Jednostronny przedział ufności dla kwantyla rozkładu przepływów maksymalnych wyznacza się z wykorzystaniem nierówności informacyjnej Rao–Cramera na podstawie estymatorów wyznaczanych metodą największej wiarygodności [Cole 2004].

W Oddziale Morskim w Gdyni, zgodnie z opracowaną wspólnie z Urzędem Morskim w Gdyni i zatwierdzoną przez KZGW metodyką, wyznaczenia poziomu wody o określonym prawdopodobieństwie przewyższenia przy uwzględnieniu oddziaływania morza przeprowadza się dodatkowo analizę wzrostu poziomu spowodowanego oddziaływaniem morza w ujściach rzek - nabieganie fali na ujściowe odcinki rzek. Określenie wysokości fali w ujściowych odcinkach rzek jest bardzo trudne, można oszacować maksymalną wysokość fali w tym miejscu. Należy przyjąć margines bezpieczeństwa, który zawiera: oscylacje/ wahania poziomu 5 cm + falowanie 10 cm. W przypadku gdy w ujściu rzeki znajduje się port dodatkowo zabezpieczony falochronem wartość ta ulegnie zmniejszeniu.

Wartości przepływów dla posterunków wodowskazowych zostały oszacowane dla określonego prawdopodobieństwa przewyższenia odpowiadającego scenariuszom powodziowym, tj. $Q_{1\%}$, $Q_{10\%}$, $Q_{0,2\%}$. Rozkłady przepływów Q zgodnie z przyjętymi scenariuszami powodziowymi udostępniane są jako rozkład wartości przepływów Q_{pp} ($Q_{10\%}$, $Q_{1\%}$, $Q_{0,2\%}$) w profilu

podłużnym rzeki uwzględniający posterunki wodowskazowe na podstawie MPHP 2007. Zestawienie wartości tych przepływów zamieszczono w tabelach 10-14 w Załączniku 4.

4.4 Stałe lub zmienne w czasie wartości rzędnych zwierciadła wody H [cm]

Wartości stanów wody odpowiadających przepływów o określonym prawdopodobieństwie przewyższenia dla zadanych scenariuszy powodziowych $Q_{1\%}$, $Q_{10\%}$, $Q_{0,2\%}$ udostępniane są w tabelach 10-14 w Załączniku 4.

4.5 Krzywe przepływu Q/H dla posterunków wodowskazowych udostępniane będą wraz z przekazanymi modelami hydraulicznymi.

Krzywe natężenia przepływu (KNP) przedstawia związek regresyjny między jednocześnie pomierzonymi wartościami natężenia przepływu i stanu wody:

$$Q = f(H)$$

Ujmując ten związek jako przyczynowy-skutkowy, przyczyną jest przepływ (wynik zasilania rzeki przez wody podziemne i spływ powierzchniowy), skutkiem jest stan wody, który jest miarą napełnienia koryta i następstwem wywołanym przez masę wody płynącą korytem w określonych warunkach hydraulicznych. W tej zależności stan-przepływ, natężenie przepływu (Q) jest zmienną niezależną, zaś stan wody (H) zmienną zależną. Z punktu widzenia sposobu i wykorzystywania tej zależności ustala się związek odwrotny.

W rzeczywistości krzywa przepływu jest funkcją wielu zmiennych, które ulegają zmianom w czasie. Zakłada się jednak, że jest to zależność jednoznaczna i stacjonarna. Ogólna postać to:

$$Q = f(H, I, F, n, \chi, z)$$

Q – natężenie przepływu

H – stan wody,

I – spadek zwierciadła wody,

F – powierzchnia przekroju poprzecznego,

n – współczynnik szorstkości,

χ – obwód zwilżony

z – wektor pozostałych czynników, od których może zależeć przepływ przy stanie H .

W praktyce zależność ta jest uproszczona do postaci:

$$Q = f(H)$$

Jest ona słuszna tylko w warunkach ruchu ustalonego przepływu swobodnego.

Jednak w przyrodzie najczęściej panują warunki ruchu nieustalonego lub zaburzonego poprzez podpiętrzanie stanów wody, przejście fali powodziowej, zarastanie koryta roślinnością wodną, zjawiska lodowe itp., wtedy wprowadza się dodatkową zmienną a związek ma postać:

$$Q = f(H, z)$$

z – zmienna charakteryzująca wpływ zakłócającego czynnika (spadek zwierciadła wody, stan wody na dopływie, wielkość piętrzenia na obiekcie hydrotechnicznym, współczynnik zarastania, zlodzenia).

Wpływ zarastania, zlodzenia, zmiany dna i brzegów, czy zabudowy regulacyjnej znacznie utrudnia jej konstrukcję. Konstrukcja KNP sprowadza się do graficznego wyrównania wykresu według punktów o współrzędnych (H, Q) odpowiadających wykonywanym pomiarom hydrometrycznym. Liczba pomiarów jest często niewystarczająca, zwłaszcza w strefie stanów wysokich. W wielu posterunkach zwłaszcza na rzekach górskich i podgórskich ekstrapolacja krzywej w zakresie dużych przepływów wykracza poza przepływy zmierzone nawet kilkakrotnie.

KNP wyznacza się na podstawie jednoczesnych pomiarów natężenia przepływu i stanów wody. Naniesione na wykres w układzie współrzędnych prostokątnych punkty pomiarowe (H_i , Q_i) nie leżą na jednej krzywej, ale układają się z pewnym rozrzutem. Rozrzut może być spowodowany zarówno błędami przypadkowymi jak i innymi, które powodują, że zależność stan-przepływ nie ma cech związku stacjonarnego.

Grupy czynników mające wpływ na rozrzut punktów:

- zmiany warunków pomiaru stanu wody - zmiana poziomu zera wodowskazowego, zmiana przekroju wodowskazowego w wyniku przeniesienia posterunku pomiarowego w inne miejsce wzdłuż biegu rzeki)
- zmiany kształtu przekroju poprzecznego koryta i doliny rzecznej mogą być naturalne (erozja dna lub akumulacja materiału dennego w przekroju pomiarowym) lub wynikiem działalności człowieka (zmiany kształtu przekroju poprzecznego rzeki spowodowane regulacją lub obwałowaniem koryta)
- sezonowe zmiany warunków przepływu wody w rzece związane są z cyklem rocznym zjawisk geofizycznych i przyrodniczych: zarastanie koryt rzecznych w okresie letnim, zjawiska lodowe w okresie zimowym. Oba te zjawiska powodują zmniejszenie powierzchni czynnej przekroju poprzecznego koryta oraz zwiększenie oporów ruchu wody, powoduje to wzrost stanów wody.
- zmiany podłużnego spadku zwierciadła wody w rzece wywołane następującymi czynnikami: (i) oddziaływanie stanu odbiornika, rzeki, jeziora, sztucznego zbiornika wodnego; (ii) warunki nieustalonego ruchu wody podczas przemieszczania się fal wezbraniowych. Zmiany spadku zwierciadła wody w okresie wezbrania powodują, że w fazie przyboru wody i w fazie opadania przy tym samym stanie wody przepływ nie jest jednakowy. W fazie przyboru stany wody wzrastają, a spadek zwierciadła wody jest większy od spadku podłużnego koryta rzeki. W fazie opadania jest natomiast mniejszy. Skutkiem tego w fazie przyboru prędkość przy tym samym stanie jest większa niż w fazie opadania, również natężenie przepływu podczas przyboru jest większe niż podczas opadania. Zjawisko to nosi nazwę histerezy krzywej przepływu.

Zakres objęty pomiarami na KNP odnosi się najczęściej do strefy stanów niskich i średnich. W strefie stanów wysokich często jest brak pomiarów lub ich liczba jest bardzo mała. Istnieje więc konieczność ekstrapolacji KNP poza zakres objęty pomiarami. Najczęściej w

hydrologii przyjmuje się, że ekstrapolacja może być przeprowadzona w zakresie nie przekraczającym 20% zakresu objętego pomiarami. W wielu przypadkach różnica ta jest duża i przekracza możliwości ekstrapolacji. Wobec tego KNP zostały zweryfikowane w strefie stanów wysokich metodami: hydrauliczną oraz graficzną. Metoda hydrauliczna:

$$Q = v \cdot F, \quad v = \frac{1}{n} I^{1/2} R_h^{2/3},$$

Q – natężenie przepływu, m³/s

v – prędkość, m/s

F – pole powierzchni przekroju, m²

n – współczynnik szorstkości Manninga,

I – spadek zwierciadła wody

R_h – promień hydrauliczny przekroju, m

Metoda graficzna Stevensa uwzględnia dodatkową informację o kształcie koryta poprzecznego powyżej zakresu objętego pomiarami przepływu. Na wykresie $Q = f(H)$ nanosi się dodatkowo wykresy pomocnicze $v = f(H)$ oraz $F = f(H)$ na podstawie pomiarów hydrometrycznych [M. Ozga-Zielińska, J. Brzeziński 1997].

Na potrzeby modelowania hydraulicznego transformacji przepływów dla przyjętych scenariuszy powodziowych KNP w górnej strefie stanów zostały wprowadzone do modeli hydraulicznych w postaci związku Q/H i zostaną przekazane wraz z modelami hydraulicznymi dla rzek, dla których zostały wyznaczone obszary zagrożenia powodziowego.

5 PODSUMOWANIE

Opracowany materiał zawiera dane hydrologiczne będące podstawą do opracowania map zagrożenia powodziowego oraz map ryzyka powodziowego. Prace te realizowane były w latach 2011-2013.

Zakres obszarowy tj. rzeki, stacje wodowskazowe, dla których zostały opracowane charakterystyki hydrologiczne określiły zespoły CMPiS w nawiązaniu do prowadzonego równolegle opracowania wstępnej oceny ryzyka powodziowego. Nakładanie się terminów realizacji tych zadań spowodowały, że nie wszystkie wstępnie zakwalifikowane stacje wodowskazowe zostały wykorzystane do modelowania, a w trakcie prac zespoły hydrologów rozszerzały również zadanie o nowe wskazane przez CMPiS stacje wodowskazowe.

Przedkładany raport zawiera charakterystyki hydrologiczne dla tych stacji wodowskazowych, które zostały wykorzystane w modelowaniu transformacji przepływów w korytach rzek dla warunków ustalonych odpowiadających scenariuszom powodziowym.

Raport składa się z części opisowej jako wraz z załącznikami w postaci tabel (plik *.doc) oraz część bazy danych zawierającej zestawienia fal zastosowanych do kalibracji modeli oraz fal hipotetycznych dla przekrojów wodowskazowych (plik *.xls).

Fale zostały przedstawione w postaci tabelarycznej oraz jako wykres.

Cześć opisowa zawiera wprowadzenie, informacje ogólne, cel i zakres zadania. Ponadto syntetyczny opis realizowanych zadań wraz z krótkim merytorycznym opisem oraz część z załącznikami. Załączniki zawierają zestawienia tabelaryczne w układzie hydrograficznym w odniesieniu do zespołów realizujących zadanie:

- Załącznik 1 – tabela 1 - zestawienie tabelaryczne zespołów realizujących zadanie.
- Załącznik 2 – tabele 2-5 - wykaz rzek i stacji wodowskazowych objętych opracowaniem przez odpowiednie zespoły: poznański, krakowski, gdyński i wrocławski;
- Załącznik 3 - tabele 6-9 - przepływy charakterystyczne z wielolecia dla wodowskazów objętych opracowaniem przez odpowiednie zespoły: poznański, krakowski, gdyński i wrocławski;
- Załącznik 4 – tabele 10-13 - zestawienie wartości przepływów o określonym prawdopodobieństwie przewyższenia Q_{pp} [m^3/s] oraz odpowiadające im stany wody H [cm] opracowane przez odpowiednie zespoły: poznański, krakowski, gdyński i wrocławski.

Tabele 10-13 w załączniku 4 opatrzone są komentarzami w kolumnie uwagi. Odnoszą się one głównie do procesu weryfikacji krzywych natężenia przepływów w strefie stanów wysokich, która została podjęta w tym zadaniu. Niestety nie została ona przeprowadzona w pełni, dla wszystkich stacji wodowskazowych w stopniu jaki zakładano na początku realizacji zadania. Część krzywych natężenia przepływu zostało wstępnie zweryfikowanych. Ze względu na krótki czas realizacji modelowania hydraulicznego w tabelach przedstawiających wartości przepływów prawdopodobnych i odpowiadające im stany wód (Załącznik 5, tabele 10-13)

zamieszczono komentarze o konieczności przeprowadzenia ponownej weryfikacji krzywej. Dla tych przypadków konieczne jest przeprowadzenie dodatkowych symulacji celem przeprowadzenia poprawnej weryfikacji górnej gałęzi krzywej natężenia. Zadanie to powinno być kontynuowane podczas trwania aktualizacji wstępnej oceny ryzyka powodziowego oraz opracowania map zagrożenia powodziowego i map ryzyka powodziowego przewidzianej w następnych cyklach.

LITERATURA:

- Borowicz A., Kwiatkowski J., Spatka J., Zeman E., 2009. Metodyka opracowania map zagrożenia powodziowego, Wyk. DHI Polska na zlecenie Krajowego Zarządu Gospodarki Wodnej i sfinansowana ze środków Narodowego Funduszu Ochrony Środowiska i Gospodarki Wodnej. Warszawa.
- Ozga-Zielińska M., Brzeziński J., 1997. Hydrologia stosowana. Wyd. Naukowe PWN, Warszawa.
- Radczuk L., Jakubowski W., 2005. Udział dopływów Odry w formowaniu wezbrań powodziowych. W: Środowiskowe aspekty gospodarki wodnej, Wyd. Komitetu Ochrony Przyrody PAN i WIKŚiG AR we Wrocławiu, 2005, ss. 163-177.

6 Załączniki

Załącznik 1

Tabela 1 Skład osobowy zespołu realizującego zadanie 1.3.2 w projekcie ISOK

Lp.	Imię i nazwisko	Wykształcenie	Stanowisko w projekcie	kwalifikacje	Rola pełniona w projekcie	Czas zatrudnienia w projekcie
1	2	3	4	5	6	7
POZNAŃ						
1	Andrzej Hański	mgr inż. Uniwersytet Przyrodniczy w Poznaniu Wydział Melioracji i Inżynierii Środowiska	hydrolog	uprawniony hydrolog; synoptyk hydrolog; hydrolog modelarz	kierowanie zespołem Hydrologia w Oddziale poznańskim	1.03.2011 – 30.12.2013
2	Tomasz Krukowski	mgr inż. Uniwersytet Przyrodniczy w Poznaniu Wydział Melioracji i Inżynierii Środowiska	hydrolog	synoptyk hydrolog; hydrolog modelarz; hydrolog operacyjny	członek zespołu	1.03.2011 – 30.12.2013
3	Maciej Jęch	mgr inż. Uniwersytet Przyrodniczy w Poznaniu Wydział Melioracji i Inżynierii Środowiska;	hydrolog	specjalista hydrolog; hydrolog operacyjny	członek zespołu	1.03.2011 – 30.09.2012
4	Roman Kurpisz	mgr matematyki; Uniwersytet im. Adama Mickiewicza Wydział Matematyczno-Fizyczno-Chemiczny	hydrolog	specjalista hydrolog; modelowanie hydrologiczne i matematyczne	członek zespołu	1.03.2011 – 30.09.2012
5	Paweł Terlecki	mgr inż. Uniwersytet Przyrodniczy w Poznaniu Wydział Rolniczy Kierunek Ochrona Środowiska	hydrolog	specjalista hydrolog, hydrolog modelarz;	członek zespołu	1.03.2011 – 30.09.2012
6	Andrzej Tadeuszewski	mgr geografii; Uniwersytet im. Adama Mickiewicza Wydział Nauk Geograficznych i Geologicznych	hydrolog	specjalista hydrolog; opracowania, ekspertyzy hydrologiczne	członek zespołu	1.03.2011 – 30.12.2011
7	Małgorzata Wilczak	mgr inż. Uniwersytet Przyrodniczy w Poznaniu Wydział Rolniczy Kierunek Ochrona Środowiska	hydrolog	specjalista hydrolog; opracowania hydrologiczne historyczne; ekspertyzy hydrologiczne	członek zespołu	1.03.2011 – 30.09.2012
8	Aleksandra Ulatowska	mgr geografii; Pomorska Akademia Pedagogiczna w Słupsku;	hydrolog	specjalista hydrolog; opracowania hydrologiczne historyczne; ekspertyzy hydrologiczne	członek zespołu	1.03.2011 – 30.09.2012
9	Urszula Puzio	mgr geografii; Pomorska Akademia Pedagogiczna w Słupsku	hydrolog	specjalista hydrolog; opracowania hydrologiczne historyczne; ekspertyzy hydrologiczne	członek zespołu	1.03.2011 – 30.09.2012
KRAKÓW						
10	Agnieszka Malota	mgr geografii, Uniwersytet Jagielloński w Warszawie	hydrolog	szkolenie Zarządzanie	kierowanie zespołem	1.03.2011 – 30.12.2013

Lp.	Imię i nazwisko	Wykształcenie	Stanowisko w projekcie	kwalifikacje	Rola pełniona w projekcie	Czas zatrudnienia w projekcie
1	2	3	4	5	6	7
				Projektami, szkolenie MIKE Flood Watch	Hydrologia w Oddziale krakowskim	
11	Marta Cygan	Mgr geografii, studia podyplomowe modelowanie matematyczne w hydrologii	hydrolog	kwalifikacje do wykonywania dokumentacji hydrologicznej MŚ, szkolenie GIS	członek zespołu	1.03.2011 – 30.09.2012
12	Bożena Dubiel	mgr geografii,	hydrolog	kurs systemy hydrologii, kwalifikacje do wykonywania dokumentacji hydrologicznej MŚ	członek zespołu	1.03.2011 – 30.12.2013
13	Michał Kasina	dr Nauk o Ziemi, Uniwersytet Jagielloński	hydrolog	kurs: Zastosowanie oprogramowania HEC-RAS w hydrologii	członek zespołu	1.03.2011 – 30.12.2013
14	Katarzyna Prabudzka	mgr geografii,	hydrolog	specjalista hydrolog	członek zespołu	1.03.2011 – 30.09.2012
15	Marta Kuroś	mgr geografii	hydrolog	specjalista hydrolog	członek zespołu	1.03.2011 – 30.09.2012
16	Maria Matusiewicz	mgr inż. melioracji wodnych, SGGW Warszawa	hydrolog	specjalista hydrolog	członek zespołu	1.03.2011 – 30.12.2013
17	Paulina Obrochta	mgr geografii	hydrolog	szkolenie MIKE Flood Watch, szkolenie problematyka powodzi i susz w Polsce	członek zespołu	1.03.2011 – 30.12.2013
18	Maciej Rawa	dr inż. Nauk o Ziemi, Uniwersytet Warszawski	hydrolog	specjalista hydrolog	członek zespołu	1.03.2011 – 30.12.2013
19	Artur Romański	technik ochrony środowiska	hydrolog	kurs archiwizacji, szkolenie MIKE Flood Watch	członek zespołu	1.03.2011 – 30.09.2012
20	Wiesława Sienkiewicz	mgr inż. melioracji wodnych	hydrolog	specjalista hydrolog	członek zespołu	1.03.2011 – 30.12.2013
21	Anna Śmiech	mgr geografii	hydrolog	szkolenia: MIKE Flood Watch, model hydrologiczny HD, zaawansowany system hydrologii, zastosowanie GIS, dokumentowanie ISO 9000,	członek zespołu	1.03.2011 – 30.09.2012
22	Karolina Wolanin	mgr geografii	hydrolog	specjalista hydrolog,	członek zespołu	1.03.2011 – 30.09.2012
23	Małgorzata Zając	mgr inż. ochrony środowiska	hydrolog	specjalista hydrolog	członek zespołu	1.03.2011 – 30.09.2012
24	Barbara Ziniewicz	mgr inż. ochrony środowiska	hydrolog	szkolenie konfiguracja SH	członek zespołu	1.03.2011 – 30.12.2013
GDYNIA						
25	Sztobryn Marzena	dr inż. Budownictwa wodnego - Politechnika	hydrolog	adiunkt, hydrolog	kierowanie zespołem	1.03.2011 – 30.09.2012

Lp.	Imię i nazwisko	Wykształcenie	Stanowisko w projekcie	kwalifikacje	Rola pełniona w projekcie	Czas zatrudnienia w projekcie
1	2	3	4	5	6	7
		Gdańska			Hydrologia w Morskim Oddziale w Gdyni	
26	Brzoza Monika	mgr inż. Inżynieria wodna - Politechnika Gdańska,	hydrolog	specjalista hydrolog	członek zespołu	1.03.2011 – 30.09.2012
27	Kowalska Beata	mgr inż. Inżynierii środowiska, Politechnika Gdańska,	hydrolog	specjalista hydrolog	członek zespołu	1.03.2011 – 30.12.2013
28	Stanisławczyk Ida	mgr inż. Oceanografii, Uniwersytet Gdański	hydrolog	specjalista hydrolog	członek zespołu	1.03.2011 – 30.09.2012
29	Bolek Anna	mgr inż. geografii Uniwersytet Gdański	hydrolog	specjalista hydrolog	członek zespołu	1.03.2011 – 30.09.2012
30	Kubicka Anna	mgr inż. Oceanografii, Uniwersytet Gdański	hydrolog	specjalista hydrolog	członek zespołu	1.03.2011 – 30.09.2012
31	Fabrycki Arkadiusz	mgr inż. ochrona środowiska, Uniwersytet Gdański	hydrolog	specjalista hydrolog,	członek zespołu	1.03.2011 – 30.12.2013
WROCLAW						
32	Laura Radczuk	prof. Nauk Rolniczych, dr hab. Nauk Technicznych w zakresie Hydrologii	Profesor, hydrolog	kwalifikacje do wykonywania dokumentacji hydrologicznych Nr 35/2004,	nadzór merytoryczny zadania	1.03.2011 – 30.12.2013
33	Tamara Tokarczyk	dr hab. inż. Nauk Technicznych, studia podyplomowe na Politechnice Wrocławskiej w zakresie „Zarządzanie projektem badawczym i komercjalizacja wyników badań”	hydrolog	kwalifikacje do wykonywania dokumentacji hydrologicznych Nr 24/2004,	kierownik zespołu	1.03.2011 – 30.12.2013
34	Leszek Jelonek	dr inż. nauk rolniczych w dziedzinie kształtowanie środowiska, AR we Wrocławiu	hydrolog	synoptyk hydrolog	członek zespołu	1.03.2011 – 30.09.2012
35	Magdalena Korcz	mgr inż. Zarządzania Zasobami Ziemi i Ochrony Środowiska, Politechnika Wrocławska	hydrolog	specjalista hydrolog	członek zespołu	1.03.2011 – 30.12.2013
36	Joanna Troska	mgr inż. Inżynierii Kształtowania i Ochrony Środowiska, AR we Wrocławiu	hydrolog	kursy: optymalne wykorzystanie Systemu hydrologii, opracowanie i przygotowanie rocznika hydrologicznego w systemie Hydrologii, 15/HH/2009- Jakość danych w Systemie Hydrologii, 86/J/2010;	członek zespołu	1.03.2011 – 30.12.2013
37	Barbara Maciejowska	mgr inż. Melioracji Rolnych i Leśnych, AR we Wrocławiu	hydrolog	starszy specjalista hydrolog	członek zespołu	1.03.2011 – 30.09.2012

Lp.	Imię i nazwisko	Wykształcenie	Stanowisko w projekcie	kwalifikacje	Rola pełniona w projekcie	Czas zatrudnienia w projekcie
1	2	3	4	5	6	7
38	Aleksander Małek	mgr Fizyki Ogólnej, Wydział Fizyki i Astronomii Uniwersytet Wrocławski	hydrolog	kursy: Moduł SOK w Systemie Hydrologii, Konfiguracja Systemu Hydrologii;	członek zespołu	1.03.2011 – 30.09.2012
39	Jacek Lisowski	mgr inż. melioracji wodnych, Akademia Rolnicza we Wrocławiu	hydrolog	starszy specjalista hydrolog	członek zespołu	1.03.2011 – 30.09.2012
40	Maciej Siuta	mgr inż. Inżynierii Środowiska Akademia Rolnicza we Wrocławiu,	hydrolog	specjalista hydrolog	członek zespołu	1.03.2011 – 30.09.2012
41	Katarzyna Zielak	mgr inż. Inżynierii środowiska, Politechnika we Wrocławiu	hydrolog		członek zespołu	1.03.2011 – 30.09.2012
42	Djaków Piotr	inż. Politechnika Wrocławska	programista	programista	członek zespołu	1.03.2011 – 30.09.2012

Załącznik 2

Tabela 2 Wykaz rzek i stacji wodowskazowych objętych opracowaniem przez zespół hydrologów w Poznaniu

L.p.	Rzeka	Stacja wodowskazowa	Kilometr biegu rzeki według MPHP 2010	Powierzchnia zlewni [km ²]	Rzędna zera wodowskazu [m n. Kr.]
DORZECZE ODRY					
1	Cybina	Antoninek	8,4	171,0	67,73
2	Drawa	Drawsko Pomorskie	133,03	592,39	107,4
3	Drawa	Drawno	67,57	1258,64	75,44
4	Drawa	Drawiny	4,22	3281,06	29,79
5	Główna	Wierzenica	9,4	222,0	75,18
6	Grabia	Łask	30,07	472,61	163,73
7	Grabia	Grabno	1,74	807,98	141,55
8	Gwda	Gwda Wielka	120,38	428,07	132,15
9	Gwda	Ptusza	55,85	2042,41	79,78
10	Gwda	Piła	23,44	4712,57	54,43
11	Ina	Stargard Szczeciński	54,64	1773,83	15,74
12	Ina	Goleniów	15,36	2137,91	1,75
13	Kanał Kościański	Kościan	31,05	1265,77	64,28
14	Kanał Mosiński	Mosina	2,75	2500,99	57,57
15	Lutynia	Raszewy	11,6	533,07	73,82
16	Ner	Dąbie	12,8	1727,21	93,39
17	Nieciecz	Widawa	3,3	253,85	143,715
18	Noteć	Pakość	273,54	2301,3	72,76
19	Noteć	Ujście 1	120,09	6307,46	45,46
20	Noteć	Krzyż	49,73	12574,62	26,63
21	Noteć	Nowe Drezdenko	37,75	15916,27	24,21
22	Obra	Zbąszyń	98,76	1288,39	50,35
23	Obra	Bledzew	23,7	2607,46	32,77
24	Odra	Ślubice	179,04	53511,26	17,45
25	Odra	Gozdowice	117,55	109795,07	3,02
26	Piława	Nadarzyce	48,1	372,67	119,52
27	Piława	Zabrodzie	5,61	1400,5	66,87
28	Prosna	Gorzów Śląski	205,72	164,21	187,8
29	Prosna	Mirków	151,75	1242,18	144,63
30	Prosna	Piwonice	74,06	2909,84	101,98
31	Prosna	Bogusław	43,37	4282,38	87,9
32	Swędrnia	Dębe	12,35	492,94	106,88
33	Warta	Działoszyn	624,78	4093,63	172,58
34	Warta	Burzenin	548,47	5430,48	138,27
35	Warta	Sieradz	523,22	8156,15	125,1
36	Warta	Uniejów	470,93	9183,44	101,98
37	Warta	Ślask	392	13759,46	75,77
38	Warta	Nowa Wieś Podgórna	341,54	20755,91	67,04
39	Warta	Poznań M. Rocha	242,28	25908,89	49,46
40	Warta	Oborniki	205,22	26777,14	42
41	Warta	Wronki	169,81	30680,88	36,66
42	Warta	Skwierzyna	91,1	32052,58	21,82

L.p.	Rzeka	Stacja wodowskazowa	Kilometr biegu rzeki według MPHP 2010	Powierzchnia zlewni [km ²]	Rzędna zera wodowskazu [m n. Kr.]
43	Warta	Gorzów Wlkp.	57,32	52362,12	15,51
44	Wełna	Pruśce	38,16	1139,69	71,9
45	Wełna	Kowanówko	6,17	2614,03	51,28
46	Widawka	Szczerców	39,7	719,32	160,119
47	Widawka	Rogoźno	14,68	1271,21	141,79
48	Widawka	Podgórze	8,93	2366,5654	139,65
RZĘKI PRZYMORZA					
49	Grabowa	Krag	41,9	226,22	26,4
50	Grabowa	Grabowo	18,33	456,68	6,13
51	Łeba	Miłoszewo	103,63	174,95	121,28
52	Łeba	Lębork	57,17	534,81	14,57
53	Łeba	Cecenowo	26,04	1099,03	1,16
54	Łupawa	Smoldzino	13,35	807,24	2,34
55	Parsęta	Białogard	61,16	1130,96	19,21
56	Parsęta	Bardy	25,47	2884,98	3,6
57	Rega	Golniewo Dolne	141,29	259,08	73,76
58	Rega	Łobez	117,38	615,81	54,09
59	Rega	Resko	80,03	1133,58	31,82
60	Rega	Trzebiatów	14,85	2644,25	-0,12
61	Skotawa	Skarszów Dolny	0,93	269,72	25,21
62	Słupia	Słupsk	33,92	1452,52	12,72
63	Słupia	Charnowo	12,14	1597,79	2,56
64	Wieprza	Korzybie	69,4	886,81	29,63
65	Wieprza	Stary Kraków	22,2	1542	5,22
DORZECZE WISŁY					
1	Cybina	Antoninek	8,4	171,0	67,73
2	Drawa	Drawsko Pomorskie	133,03	592,39	107,4
3	Drawa	Drawno	67,57	1258,64	75,44
4	Drawa	Drawiny	4,22	3281,06	29,79
5	Główna	Wierzenica	9,4	222,0	75,18
6	Grabia	Łask	30,07	472,61	163,73
7	Grabia	Grabno	1,74	807,98	141,55
8	Gwda	Gwda Wielka	120,38	428,07	132,15
9	Gwda	Ptusza	55,85	2042,41	79,78
10	Gwda	Piła	23,44	4712,57	54,43
11	Ina	Stargard Szczeciński	54,64	1773,83	15,74
12	Ina	Goleniów	15,36	2137,91	1,75
13	Kanał Kościański	Kościan	31,05	1265,77	64,28
14	Kanał Mosiński	Mosina	2,75	2500,99	57,57
15	Lutynia	Raszewy	11,6	533,07	73,82
16	Ner	Dąbie	12,8	1727,21	93,39
17	Nieciecz	Widawa	3,3	253,85	143,715
18	Noteć	Pakość	273,54	2301,3	72,76
19	Noteć	Ujście 1	120,09	6307,46	45,46
20	Noteć	Krzyż	49,73	12574,62	26,63
21	Noteć	Nowe Drezdenko	37,75	15916,27	24,21
22	Obra	Zbąszyń	98,76	1288,39	50,35
23	Obra	Bledzew	23,7	2607,46	32,77
24	Odra	Słubice	179,04	53511,26	17,45
25	Odra	Gozdowice	117,55	109795,07	3,02
26	Piława	Nadarzyce	48,1	372,67	119,52
27	Piława	Zabrodzie	5,61	1400,5	66,87
28	Prosna	Gorzów Śląski	205,72	164,21	187,8

L.p.	Rzeka	Stacja wodowskazowa	Kilometr biegu rzeki według MPHP 2010	Powierzchnia zlewni [km ²]	Rzędna zera wodowskazu [m n. Kr.]
29	Prosna	Mirków	151,75	1242,18	144,63
30	Prosna	Piwonice	74,06	2909,84	101,98
31	Prosna	Bogusław	43,37	4282,38	87,9
32	Swędnia	Dębe	12,35	492,94	106,88
33	Warta	Działoszyn	624,78	4093,63	172,58
34	Warta	Burzenin	548,47	5430,48	138,27
35	Warta	Sieradz	523,22	8156,15	125,1
36	Warta	Uniejów	470,93	9183,44	101,98
37	Warta	Sławsk	392	13759,46	75,77
38	Warta	Nowa Wieś Podgórna	341,54	20755,91	67,04
39	Warta	Poznań M. Rocha	242,28	25908,89	49,46
40	Warta	Oborniki	205,22	26777,14	42
41	Warta	Wronki	169,81	30680,88	36,66
42	Warta	Skwierzyna	91,1	32052,58	21,82
43	Warta	Gorzów Wlkp.	57,32	52362,12	15,51
44	Wielna	Pruśce	38,16	1139,69	71,9
45	Wielna	Kowanówko	6,17	2614,03	51,28
46	Widawka	Szczerców	39,7	719,32	160,119
47	Widawka	Rogoźno	14,68	1271,21	141,79
48	Widawka	Podgórze	8,93	2366,5654	139,65
49	Grabowa	Krag	41,9	226,22	26,4
50	Grabowa	Grabowo	18,33	456,68	6,13
51	Łeba	Miłoszewo	103,63	174,95	121,28
52	Łeba	Lębork	57,17	534,81	14,57
53	Łeba	Cecenowo	26,04	1099,03	1,16
54	Łupawa	Smoldzino	13,35	807,24	2,34
55	Paręta	Białogard	61,16	1130,96	19,21
56	Paręta	Bardy	25,47	2884,98	3,6
57	Rega	Golniewo Dolne	141,29	259,08	73,76
58	Rega	Łobez	117,38	615,81	54,09
59	Rega	Resko	80,03	1133,58	31,82
60	Rega	Trzebiatów	14,85	2644,25	-0,12
61	Skotawa	Skarszów Dolny	0,93	269,72	25,21
62	Słupia	Słupsk	33,92	1452,52	12,72
63	Słupia	Charnowo	12,14	1597,79	2,56
64	Wieprza	Korzybie	69,4	886,81	29,63
65	Wieprza	Stary Kraków	22,2	1542	5,22
66	Wisła	Toruń	207,09	180390,23	31,96
67	Wisła	Fordon	166,91	186219,05	24,74
68	Wisła	Chełmno	134,85	186816,28	18,96
69	Wisła	Grudziądz	106,85	189715,02	13,81

Tabela 3 Wykaz rzek i stacji wodowskazowych objętych opracowaniem przez zespół hydrologów w Oddziale Krakowskim

L.p.	Rzeka	Stacja wodowskazowa	Kilometr biegu rzeki	Powierzchnia zlewni [km ²]	Rzędna zera wodowskazu [m n. Kr.]
DORZECZE ODRY					
1	Odra	Chałupki	725,07	4663,69	192,60
2	Odra	Krzyżanowice	712,85	5875,14	184,66
3	Odra	Racibórz-Miedonia	693,63	6728,90	176,28
4	Odra	Koźle	656,74	9039,85	162,50
5	Opawa	Branice	58,04	604,46	286,99
6	Olza	Istebna	79,29	34,85	533,86
7	Olza	Cieszyn	37,15	449,41	266,11
8	Piotrówka	Zebrzydowice	15,47	108,39	224,81
9	Szotkówka	Gołkowice	3,57	104,96	207,32
10	Psina	Bojanów	9,38	519,97	195,66
11	Ruda	Ruda Kozielska	13,80	384,41	192,51
12	Nacyna	Rybnik	2,29	62,97	221,64
13	Sumina	Nędza	5,04	91,25	186,21
14	Bierawka	Tworóg Mały	22,22	214,47	201,96
15	Bierawka	Grabówka	5,33	331,85	176,56
16	Kłodnica	Kłodnica	67,05	76,55	236,24
17	Kłodnica	Gliwice	49,00	449,98	210,87
18	Kłodnica	Lenartowice	8,06	973,31	172,43
19	Bytomka	Gliwice	2,84	139,43	220,84
20	Mała Panew	Krupski Młyn	77,07	667,30	223,79
21	Stoła	Wesoła	2,60	212,27	230,88
22	Pielgrzymówka	Zebrzydowice	0,8	56,3	227,44
23	Lesznica	Godów	0,5	88,1	204,02
24	Troja	Gródczanki	5,4	188	208,75
25	Ruda	Gotartowice	34,8	125,4	227,58
26	Mała Panew	Kuczków	111,4	165,2	271,28
DORZECZE WISŁY					
1	Wisła	Wisła	1010,84	54,59	470,56
2	Wisła	Ustroń-Oblaziec	1003,24	107,47	398,70
3	Wisła	Skoczów	987,97	296,13	285,71
4	Wisła	Goczałkowice	954,66	744,20	238,41
5	Wisła	Jawiszowice	941,47	979,50	231,59
6	Wisła	Nowy Bieruń	921,35	1779,72	226,30
7	Brennica	Górki Wielkie	3,13	81,77	323,93
8	Ilownica	Czechowice-Dziedzice	1,49	191,94	240,63
9	Wapienica	Podkępie	1,66	52,86	243,44
10	Biała	Mikuszowice	21,50	32,21	360,87
11	Biała	Czechowice-Bestwina	6,86	117,96	258,73
12	Pszczynka	Pszczyna	17,38	182,25	240,15
13	Korzenica	Międzyrzecze	2,12	74,50	232,20
14	Gostynia	Bojszowy	4,22	331,50	229,97
15	Przemsza	Łagisza	41,58	418,93	259,98
16	Przemsza	Radocha	27,55	518,88	244,24
17	Przemsza	Jeleń	12,84	2005,80	230,98
18	Brynica	Namiarki	22,85	225,66	267,04
19	Brynica	Czeladź	7,87	385,33	252,16

L.p.	Rzeka	Stacja wodowskazowa	Kilometr biegu rzeki	Powierzchnia zlewni [km ²]	Rzędna zera wodowskazu [m n. Kr.]
20	Brynica	Szabelnia	0,09	497,70	244,48
21	Biała Przemsza	Niwka	0,76	865,20	240,38
22	Wisła	Pustynia	917,50	3945,78	223,42
23	Wisła	Dwory/Gromiec	910,62	5321,86	221,03
24	Wisła	Smolice	895,76	6796,18	214,10
25	Wisła	Czernichów - Prom	875,95	7054,61	203,67
26	Wisła	Tyniec	857,15	7523,60	199,97
27	Wisła	Kraków - Bielany	853,24	7633,91	197,49
28	Wisła	Pleszów	829,10	8694,40	187,50
29	Wisła	Sierosławice	792,11	8961,16	176,25
30	Wisła	Popędzinka	784,64	10691,14	173,44
31	Wisła	Jagodniki	769,68	12052,39	170,02
32	Wisła	Karsy	756,84	19835,48	166,71
33	Wisła	Szczucin	728,89	23876,38	159,15
34	Wisła	Koło	681,95	30668,67	147,72
35	Wisła	Sandomierz	654,35	31809,90	139,14
36	Wisła	Zawichost	634,96	50654,57	133,38
37	Chechło	Mętków	1,50	102,83	224,36
38	Skawinka	Radziszów	8,49	318,08	213,47
39	Rudawa	Balice	10,08	282,85	216,29
40	Wilga	Zbydniowice	11,83	49,10	227,50
41	Prądnik	Ojców	23,63	68,49	305,22
42	Prądnik	Kraków - Olsza	2,11	175,54	199,13
43	Dłubnia	Zesławice	6,95	264,64	208,10
44	Szreniawa	Biskupice	9,13	689,18	180,61
45	Uszwica	Borzęcin	15,17	265,93	187,11
46	Nidzica	Dobiesławice	8,00	643,42	174,82
47	Breń	Wampierzów	7,47	658,38	158,87
48	Koprzywnica	Koprzywnica	15,10	500,29	148,84
49	Łęg	Kępie Zaleszańskie	10,24	827,65	144,36
50	Łęg	Grębów	-	771,75	148,90
51	Soła	Rajcza	74,44	253,81	481,20
52	Soła	Cięcina	57,92	413,61	383,11
53	Soła	Żywiec	49,28	782,82	341,99
54	Soła	Czaniec-Kobiernice	-	1132,14	281,53
55	Soła	Oświęcim	2,95	1357,01	225,81
56	Bystra	Kamesznica	1,28	48,18	452,40
57	Żabniczanka	Żabnica	7,82	23,96	564,83
58	Koszarawa	Pewel Mała	9,61	204,96	405,09
59	Żylica	Łodygowice	3,87	52,56	367,60
60	Łekawka	Łekawica	3,04	94,39	359,07
61	Kocierzanka	Łekawica	1,76	36,54	386,76
62	Skawa	Jordanów	69,72	96,84	442,90
63	Skawa	Osielec	55,90	240,28	393,64
64	Skawa	Sucha Beskidzka	42,26	466,12	324,04
65	Skawa	Wadowice	21,03	833,44	254,08
66	Skawa	Zator	4,26	1142,44	220,67
67	Skawica	Zawoja	16,74	46,15	577,46
68	Skawica	Skawica Dolna	3,99	135,81	407,96
69	Stryszawka	Sucha Beskidzka	0,37	140,43	323,86
70	Wieprzówka	Rudze	1,16	151,63	230,80
71	Raba	Rabka 2	110,33	91,85	469,04
72	Raba	Mszana Dolna	99,28	157,17	395,62
73	Raba	Kasinka Mała	93,07	353,31	357,91

L.p.	Rzeka	Stacja wodowskazowa	Kilometr biegu rzeki	Powierzchnia zlewni [km ²]	Rzędna zera wodowskazu [m n. Kr.]
74	Raba	Stróża	78,07	644,10	297,01
75	Raba	Dobczyce	59,70	768,99	235,64
76	Raba	Gdów	48,97	927,53	215,15
77	Raba	Proszówki	22,16	1473,19	185,36
78	Mszanka	Mszana Dolna	3,02	166,44	391,79
79	Lubieńka	Lubień	0,46	47,78	342,38
80	Krzczonówka	Krzczonów	1,94	89,67	344,18
81	Stradomka	Łapanów	14,80	214,18	224,36
82	Stradomka	Stradomka	1,77	363,24	204,80
83	Dunajec	Nowy Targ - Kowaniec	199,56	686,86	573,53
84	Dunajec	Czorsztyń	175,90	1123,90	484,10
85	Dunajec	Sromowce Wyżne	171,62	1285,93	470,78
86	Dunajec	Krościenko	151,62	1579,96	413,46
87	Dunajec	Gołkowice	121,09	2039,76	312,89
88	Dunajec	Nowy Sącz	108,27	4337,31	275,67
89	Dunajec	Czchów	69,10	5317,19	223,39
90	Dunajec	Zgłobice	38,62	5647,44	189,60
91	Dunajec	Żabno	17,32	6740,66	173,43
92	Czarny Dunajec	Koniówka	223,84	132,81	725,79
93	Czarny Dunajec	Nowy Targ	200,82	434,93	579,31
94	Lepietnica	Ludźmierz	0,23	50,28	596,90
95	Wielki Rogoźnik	Ludźmierz	0,49	125,68	594,00
96	Biały Dunajec	Szaflary	7,23	209,93	636,45
97	Poroniec	Poronin	0,13	78,38	730,48
98	Cicha Woda	Zakopane - Harenda	21,23	58,18	763,13
99	Białka	Łysa Polana	30,57	63,34	965,57
100	Białka	Trybsz 2	9,81	200,82	639,31
101	Grajcarek	Szczawnica	2,97	72,91	468,71
102	Ochotnica	Tylmanowa	0,97	106,42	394,33
103	Poprad	Muszyna - Limnigraf	55,14	1518,75	446,34
104	Poprad	Muszyna - Milik	53,00	1700,42	440,37
105	Poprad	Stary Sącz	2,74	2074,98	296,33
106	Kamienica	Łabowa	19,72	64,92	450,18
107	Kamienica	Nowy Sącz	0,99	237,03	278,82
108	Łubinka	Nowy Sącz	2,12	66,63	281,33
109	Smolnik	Kłęczany	1,86	62,83	276,27
110	Łososina	Jakubkowice	7,01	347,07	247,31
111	Biała Tarnowska	Grybów	74,14	206,99	320,45
112	Biała Tarnowska	Ciężkowice	47,72	524,56	238,51
113	Biała Tarnowska	Koszyce Wielkie	6,54	954,95	189,73
114	Wisłoka	Krempna Kotań	154,49	163,57	371,17
115	Wisłoka	Nowy Żmigród	132,00	342,20	275,67
116	Wisłoka	Żółków	113,09	582,04	224,87
117	Wisłoka	Krajowice	104,04	2094,32	213,38
118	Wisłoka	Łabuzie	71,22	2552,73	186,67
119	Wisłoka	Brzeźnica	48,05	2995,40	172,45
120	Wisłoka	Pustków	42,63	3515,99	170,27
121	Wisłoka	Mielec 2	22,23	3891,69	161,41
122	Ropa	Ropa	50,60	242,87	335,28
123	Ropa	Kłęczany	28,24	484,13	259,10
124	Ropa	Topoliny	3,36	974,20	224,79
125	Sękówka	Gorlice	0,54	122,46	279,17
126	Jasiołka	Zboiska	40,07	264,29	311,55
127	Jasiołka	Jedlicze	18,50	342,96	249,85

L.p.	Rzeka	Stacja wodowskazowa	Kilometr biegu rzeki	Powierzchnia zlewni [km ²]	Rzędna zera wodowskazu [m n. Kr.]
128	Jasiołka	Jasło	0,95	512,91	220,52
129	Grabnianka	Głowaczowa	7,57	182,00	189,71
130	Grabnianka	Grabiny	4,98	180,30	187,68
131	Wielopolka	Brzeźnica	3,24	482,42	177,12
132	San	Dwernik	385,17	418,29	511,86
133	San	Zatwarnica	378,44	494,26	486,15
134	San	Lesko	316,79	1616,66	315,70
135	San	Olchowce	296,25	2234,99	283,82
136	San	Dynów	248,16	2944,52	234,85
137	San	Przemyśl	173,42	3688,76	190,55
138	San	Sońnica	144,45	4639,70	180,39
139	San	Radymno	135,28	5882,38	176,50
140	San	Jarosław	120,70	7028,16	172,20
141	San	Leżachów	101,17	8348,10	167,47
142	San	Rzuchów	85,41	12177,34	161,66
143	San	Nisko	39,40	15578,39	149,67
144	San	Radomyśl	9,76	16837,90	138,78
145	Wolosaty	Stuposiany	1,44	116,84	544,53
146	Solinka	Cisna	19,86	72,49	543,65
147	Solinka	Terka	4,90	309,13	432,78
148	Wetlina	Kalnica	15,62	119,03	573,72
149	Oslawa	Szczawne	30,09	300,46	392,87
150	Oslawa	Zagórz	2,61	502,97	298,90
151	Wiar	Rybotycze	39,86	39,86	286,83
152	Wiar	Krówniki	3,51	793,63	191,60
153	Wisznia	Nienowice	3,46	1187,29	178,71
154	Szkoło	Charytany	15,44	753,75	182,88
155	Lubaczówka	Zapałów	28,39	855,61	187,28
156	Wisłok	Krosno	151,91	592,35	256,80
157	Wisłok	Żarnowa	102,55	1432,98	213,48
158	Wisłok	Rzeszów	71,10	2080,91	192,51
159	Wisłok	Tryńcza	5,74	3523,70	165,23
160	Pielnica	Nowosielce	12,30	38,83	301,82
161	Morwawa	Iskrzynia	1,16	107,39	266,26
162	Stobnica	Godowa	2,67	328,85	216,06
163	Mlecza	Gorliczyna	3,86	526,44	173,38
164	Trzebośnica	Sarżyna	3,83	250,23	163,06
165	Tanew	Osuchy	68,63	1058,85	191,80
166	Tanew	Harasiuki	18,67	2034,76	165,54
167	Biała Łada	Biłgoraj	21,07	223,47	191,02
168	Bukowa	Ruda Jastkowska	6,09	641,62	153,10
169	Nida	Mniszek	119,26	438,78	217,72
170	Nida	Brzegi	99,25	2263,77	205,20
171	Nida	Pińczów	61,56	3323,25	183,48
172	Wierna Rzeka (Łososina)	Bocheniec	4,23	294,15	216,18
173	Czarna Nida	Morawica	24,26	762,27	223,33
174	Czarna Nida	Tokarnia	5,75	1211,27	210,10
175	Czarna Nida (Belnianka)	Daleszyce	46,42	154,34	250,44
176	Bobrza	Słowik	13,94	304,58	230,80
177	Mierzawa	Pawłowice	2,15	562,40	188,63
178	Mierzawa	Michałów	4,08	551,80	191,47
179	Czarna	Raków	46,65	216,74	219,05

L.p.	Rzeka	Stacja wodowskazowa	Kilometr biegu rzeki	Powierzchnia zlewni [km ²]	Rzędna zera wodowskazu [m n. Kr.]
180	Czarna	Staszów	24,31	567,94	182,45
181	Czarna	Polaniec	4,72	1364,32	156,90
182	Łagowica	Mocha	3,58	188,40	216,59
183	Wschodnia	Wilkowa	9,59	661,47	166,32
184	Wisła	Annopol	624,92	51498,57	130,944
185	Wisła	Puławy	551,27	57668,06	113,2
186	Wisła	Dęblin	533,72	68316,77	109,153
187	Wisła	Gusin	470,27	81844,16	91,735
188	Wisła	Warszawa Nadwilanówka	430,57	84630,04	76,682
189	Wisła	Modlin	385,53	159723,73	66,51
190	Wisła	Kępa Polska	331,82	168357,53	57,25
191	Wisła	Włocławek	262,12	171764,12	41,172
192	Wyżnica	Bór	5,86	489,48	134,376
193	Kamienna	Bzin	119,01	275,52	231,465
194	Kamienna	Wąchock	101,93	476,01	211,47
195	Kamienna	Michałów	90,29	587,94	196
196	Kamienna	Brody Łżeckie	81,63	634,3	184,464
197	Kamienna	Kunów	70,43	1110,42	176,106
198	Kamienna	Czekarzewice	14,86	1886,34	135,33
199	Świsłina	Rzepin	20,54	117,17	217,111
200	Świsłina	Nietulisko Duże	3,56	402,32	176,79
201	Kurówka	Witowice	14,44	345,53	131,271
202	Wieprz	Zwierzyniec	306,86	392,61	218,47
203	Wieprz	Michałów	289,17	568,6	198,912
204	Wieprz	Nielisz	278,87	1343,77	189,618
205	Wieprz	Wirkowice	265,94	1998,93	184,706
206	Wieprz	Krasnystaw	233,45	3010,29	173,931
207	Wieprz	Trawniki	191,12	3545,41	164,626
208	Wieprz	Lubartów	105,86	6389,88	140,196
209	Wieprz	Kośmin	19,33	10292,67	114,995
210	Pór	Zakłodzie	9,16	543,6	201,75
211	Łabuńka	Krzak	4,37	427,73	190,563
212	Wolica	Orłów Drewniany	3,34	365,84	180,719
213	Wojśławka	Surhów	8,49	254,47	186,076
214	Giełczew	Biskupice	5,63	353,47	168,383
215	Świnka	Puchaczów	8,02	198,6	161,001
216	Byszczyca	Lublin	30,47	750,31	168,895
217	Byszczyca	Sobianowice	11,42	1261,61	157,753
218	Tyśmienica	Tchórzew	14,31	2394,19	130,556
219	Minina	Młyniska	11,22	369,45	134,502
220	Radomka	Słowików	66,11	1009,36	145,351
221	Radomka	Rogożek	12,88	2065,72	107,648
222	Mleczna	Lesiów	3,93	339,1	129,535
223	Okrzejka	Mika	39,61	300,46	130,31
224	Wilga	Cyganówka	12,78	533,23	103,957
225	Pilica	Szczekociny	292,97	356,25	252,325
226	Pilica	Wąsosz	267,7	994,97	2006-2010
227	Pilica	Przedbórz	201,67	2550,22	187,27
228	Pilica	Sulejów (Kopalnia)	158,9	3927,69	166,322
229	Pilica	Spała	120,2	5969,69	146,498
230	Pilica	Nowe Miasto	79,63	6716,71	128,17
231	Pilica	Białobrzegi	45,83	8664,61	111,987
232	Czarna Włoszczowska	Januszewice	13,86	603,84	208,780

L.p.	Rzeka	Stacja wodowskazowa	Kilometr biegu rzeki	Powierzchnia zlewni [km ²]	Rzędna zera wodowskazu [m n. Kr.]
233	Czarna Maleniecka	Dąbrowa	6,47	947,03	172,747
234	Luciąża	Kłudźce	9,43	501,44	169,843
235	Wolbórka	Zawada	9,37	607,95	159,427
236	Drzewiczka	Odrzywół	15,1	1006,8	140,061
237	Świder	Wólka Mładzka	17,35	860,24	96,638
238	Jeziorka	Piaseczno	14,45	855,44	94
239	Narew	Orzechowo	16,52	69087,13	69,94
240	Bug	Kryłów	577,62	7152,8	177,570
241	Bug	Strzyżów	530,77	8991,27	171,680
242	Bug	Dorohusk	445,91	12407,59	166,654
243	Bug	Włodawa	359,81	14301,8	151,524
244	Bug	Krzyczew	244,47	25595,3	125,090
245	Bug	Frankopol	138,12	30636,63	109,593
246	Bug	Wyszków	17,48	38394,24	81,481
247	Uherka	Ruda Opalin	9,19	429,92	166,241
248	Włodawka	Okuninka	4,27	570,37	154,365
249	Krzna	Malowa Góra	8,45	3041,93	127,692
250	Nurzec	Bransk	46,97	1210,01	122,247
251	Cetynia	Zambrów (Tartak)	14,92	113,81	116,568
252	Brok	Nowe Kaczkowo	6,86	737,63	96,442
253	Liwiec	Łochów	17,76	2471,45	95,013
254	Cienka	Klembów	0,85	184,35	92,767
255	Czarna	Struga	9,59	201,31	85,232
256	Wkra	Brudnice	150,33	910,97	122,145
257	Wkra	Trzciniec	108,27	1954,94	105,266
258	Wkra	Borkowo	18,94	5133,19	75,31
259	Mławka	Szreńsk	8,52	623,82	112,381
260	Łydynia	Luberadz	9,44	618,12	94,49
261	Raciążnica	Sarbiewo	8,7	9,87	92,282
262	Płonka	Strachowo	6,3	7,41	90,112
263	Bzura	Łowicz	3435,62	62,38	79,102
264	Bzura	Sochaczew	6257,75	32,15	70,445
265	Rawka	Kęszyce	1192,25	2,87	76,859
266	Utrata	Krubice	727,83	17,65	79,087
267	Zgłowiączka	Włocławek-Ruda	1491,83	5,47	50,22
268	Narew	Bondary	429,39	1087,2	134,945
269	Narew	Narew	406,87	1982,71	130,373
270	Narew	Ploski	378,23	2553,38	121,720
271	Narew	Suraż	347,44	3425,42	116,027
272	Narew	Babino	297,75	4240,53	104,062
273	Narew	Strękowa Góra	258,39	7205,5	99,167
274	Narew	Wizna	248,2	14390,66	97,469
275	Narew	Piątnica Łomża	203,06	15347,46	95,336
276	Narew	Nowogród	179,09	20168,94	94,014
277	Narew	Ostrołęka	145,41	21920,99	89,443
278	Narew	Zambski Kościelne	79,15	27807,5	79,017
279	Narewka	Narewka	11,11	607,91	138,666
280	Orlanka	Chraboły	6,71	487,05	123,831
281	Supraśl	Fasty	7,22	1824,37	108,905
282	Ślina	Zawady	6,86	307,93	106,094
283	Biebrza	Osowiec	49,21	4369,16	103,527
284	Biebrza	Burzyn	7,83	6928,92	98,840
285	Jęgrznia	Woźnawieś	24	849,51	112,490
286	Elk	Elk	57,72	829,07	119,74

L.p.	Rzeka	Stacja wodowskazowa	Kilometr biegu rzeki	Powierzchnia zlewni [km ²]	Rzędna zera wodowskazu [m n. Kr.]
287	Elk	Prostki	32,83	1165,66	113,920
288	Elk (Kanał Rudzki)	Przechody	11,17	1469,9	107,900
289	Elk (Kanał Rudzki)	Osowiec	1,2	1548,77	103,536
290	Kanał Kuwasy	Czarnawieś	14,58	0,01	115,536
291	Wissa	Czachy	5,23	484,97	102,030
292	Gać	Gać	5,65	366,02	98,433
293	Pisa	Dobrylas	11,81	4082,38	97,921
294	Ruż	Zaruzie	6,33	292,02	98,902
295	Szkwa	Szkwa	2,37	465,91	91,539
296	Rozoga	Walery	4,59	481,18	93,315
297	Omulew	Białobrzeg Bliższy	9,68	1788,19	94,408
298	Orz	Czarnowo	10,23	522,02	89,714
299	Orzyc	Maków Mazowiecki	22,81	2009,06	90,065
300	Łyna	Olsztyn-Kortowo	161,16	566,94	100,925
301	Łyna	Smolajny	108,89	2302,4	67,894
302	Łyna	Sępapol	18,23	3640,3	26,220
303	Guber	Prosna	9,95	1565,21	28,874

Tabela 4 Wykaz rzek i stacji wodowskazowych objętych opracowaniem przez zespół hydrologów w Oddziale Morskim w Gdyni

L.p.	Rzeka	Stacja wodowskazowa	Kilometr biegu rzeki według MPHP 2010	Powierzchnia zlewni [km ²]	Rzędna zera wodowskazu [m n. Kr.]
1	Bauda	Nowe Sadłuki	24,4	252	18,96
2	Bauda	Baranówka	11,61	317,3	6,26
3	Bolszewka	Bolszewo	2,66	221	29,33
4	Brda	Smukała	20,8	4455,21	39,68
5	Brda	Tuchola	85,72	2462,2	87,48
6	Brda	Swornigacie	157,17	1212,12	117,9
7	Brda	Ciecholewy	171,35	657	120,1
8	Brda	Nowa brda	215,38	116,77	126,67
9	Drwęca	Elgiszewo	29,19	5019,48	45,69
10	Drwęca	Brodnica	95,51	3539,84	67,42
11	Drwęca	Rodzone	162,91	1699,73	84,87
12	Drwęca	Samborowo	185,44	1066,46	86,61
13	Drwęca	Idzbark	210,08	234,6	96,25
14	Drwęca	Nowe Miasto	215,38	116,77	79,85
15	Drwęca Warmińska	Ormeta	8,92		45,82
16	Drwęca Warmińska	Krosno	14,31		50,54
17	Dzierzgoń	Bagart	38,36	293,38	-5,15
18	Kamionka	Leontynowo	5,15	--	81,02
19	Liwa	Kwidzyn	27,12	537,85	10,31
20	Mienia	Lipno	24,47	230,66	77,18
21	Osa	Lisnowo	44,34	555,71	54,73
22	Osa	Rogoźno 2	19,1	1135,12	31,34
23	Pasłęka	Łozy	49,47	2016	20,58
24	Pasłęka	Kalisty	121,52	698	75,11
25	Pasłęka	Tomaryny	157,23	186	104,06

L.p.	Rzeka	Stacja wodowskazowa	Kilometr biegu rzeki według MPHP 2010	Powierzchnia zlewni [km ²]	Rzędna zera wodowskazu [m n. Kr.]
26	Radunia	Stężycza	0,17	12,99	161,13
27	Radunia	Juszkowo	13,27	790,54	11,28
28	Radunia	Goreczyno	68,61	222,49	155,25
29	Reda	Wejherowo	25,27	410	19,33
30	Reda	Zamostne	35,98	126,26	28,01
31	Ruziec	Sitno	9,9	269,25	60,71
32	Rypienica	Rypin	20,97	97,98	84,63
33	Tażyńca	Otłoczynek	5,93	431,2	48,53
34	Walsza	Bornity	11,68	369	33,93
35	Wąska	Pasłęk	13,63	223,6	6,66
36	Wda	Kraplewice	21,92	2025,83	30,9
37	Wda	Błędno	65,76	1374,45	80,32
38	Wda	Czarna Woda	133,37	827,59	111,01
39	Wda	Wawrzynowo	171,62	421,86	135,19
40	Wel	Kuligi	10,49	775,49	94,81
41	Wel	Lidzbark	19,82	546	127,33
42	Wierzyca	Brody pomorskie	11,15	1543,36	15,85
43	Wierzyca	Zapowiednik	86,07	800,75	93,84
44	Wierzyca	Bożepole Szlacheckie	112,12	405,71	109,24
45	Wierzyca	Sarnowy	140,69	137,38	143,28
46	Wietcisa	Skarszewy	11,11	230,1	119,06
47	Wisła od Tczewa	Tczew	32,62	193923,06	-0,736
48	Zbrzyca	Swornigacie	0,36	448,49	118,33
49	Zbrzyca	Rolbik	19,54	210,99	122,12

RZEKI PRZYMORZA

Lp	Stacja	Ujście /rzeka	Uwzględnione czynniki wg metodyki	Rzędna zera	Okres obserwacji
1	Darłowo	Bałtyk		-5,073	1955-2012, w tym 1981-2006 uzupełnienie ciągu
2	Darłowo	Bałtyk	falowanie		1955-2012, w tym 1981-2006 uzupełnienie ciągu
3	Darłowo	Wieprza	oscylacje i falowanie		1955-2012, w tym 1981-2006 uzupełnienie ciągu
4	Dolna Kępa	Nogat		-5,096 Kr	1981-2010
5	Dolna Kępa	Nogat	oscylacje i falowanie		1981-2010
6	Dziwnów	Bałtyk		- 5,080 Kr	1981-2010
7	Dziwnów	Bałtyk	falowanie		1981-2010
8	Dziwnów	Dziwna , zalew kamieński	oscylacje i falowani		1981-2010
9	Elbląg	Elbląg		-5,114 Kr	1981-2010
10	Elbląg	Elbląg	oscylacje i falowanie		1981-2010
11	Gdańsk Port Północny	Bałtyk_zatoka gdańska		- 5,080 Kr	1981-2010
12	Gdańsk Port Północny	Bałtyk_zatoka gdańska	falowanie		1981-2010
13	Gdańsk Przegalina	Wisła		-5,083 Kr	1959-2010
14	Gdańsk Przegalina	Wisła	oscylacje i falowanie		1959-2010
15	Gdańsk	Wisła			1981-2010

Lp	Stacja	Ujście /rzeka	Uwzględnione czynniki wg metodyki	Rzędna zera	Okres obserwacji
	Przegalina				
16	Gdańsk Przegalina	Wisła	oscylacje i falowanie		1981-2010
17	Gdańsk Sobieszewo	Martwa wisła			1983-2010
18	Gdańsk Sobieszewo	Martwa wisła	oscylacje i falowanie		1983-2010
19	Gdańsk Świbno	Wisła		-5,083 Kr	1981-2010
20	Gdańsk Świbno	Wisła	oscylacje i falowanie		1981-2010
21	Gdańska Głowa	Wisła		-5,063 Kr	1981-2010
22	Gdańska Głowa	Wisła	oscylacje i falowanie		1981-2010
23	Gdańska Głowa - Szarpawa	Szarpawa			1981-1992
24	Gdańska Głowa - Szarpawa	Szarpawa	oscylacje i falowanie		1981-1992
25	Gdynia	Bałtyk_zatoka gdańska		- 5,080 Kr	1981-2010
26	Gdynia	Bałtyk_zatoka gdańska	falowanie		1981-2010
27	Hel	Bałtyk_zatoka gdańska		- 5,080 Kr	1981-2010
28	Hel	Bałtyk_zatoka gdańska	falowanie		1981-2010
29	Kołobrzeg	Bałtyk		- 5,080 Kr	1981-2010
30	Kołobrzeg	Bałtyk	falowanie		1981-2010
31	Kołobrzeg	Ujście parsęty	oscylacje i falowanie		1981-2010
32	Łeba	Bałtyk		- 5,080 Kr	1981-2010
33	Łeba	Bałtyk	falowanie		1981-2010
34	Łeba	Ujście łeby	oscylacje i falowanie		1981-2010
35	Nowa Pasłęka	Zalew wiślany/pasłęka		-5,08	1981-2010
36	Nowa Pasłęka	Zalew wiślany/pasłęka	falowanie		1981-2010
37	Nowe Batorowo	Zalew wiślany		-5,083 Kr	1981-2010
38	Nowe Batorowo	Zalew wiślany	oscylacje i falowanie		1981-2010
39	Nowy Dwór Gdański	Tuja/ tuga		-5,082 Kr	1986-2010
4041	Nowy Dwór Gdański	Tuja/ tuga	oscylacje i falowanie		1986-2010
42	Oslonka	Szarpawa		-5,08	1981-2010
43	Oslonka	Szarpawa	oscylacje i falowanie		1981-2010
44	Ostrzyce	Jezioro ostrzyce			1984-2010
45	Puck	Bałtyk_zatoka gdańska		-5,08	1981-2010
46	Puck	Bałtyk_zatoka gdańska	falowanie		1981-2010
47	Szczecin Most Długi	Odra		-5,123 Kr	1981-2010
48	Świnoujście	Bałtyk		- 5,080 Kr	1981-2010
49	Świnoujście	Bałtyk	falowanie		1981-2010
50	Świnoujście	Ujście świny	oscylacje i falowanie		1981-2010
51	Tolkmicko	Zalew wiślany		- 5,080 Kr	1981-2010
52	Tolkmicko	Zalew wiślany	falowanie		1981-2010
53	Trzebież	Zalew szczeciński		- 5,080 Kr	1981-2010
54	Trzebież	Zalew szczeciński	falowanie		1981-2010
55	Tujsk	Szarpawa		-5,072 Kr	1985-2010

Lp	Stacja	Ujście /rzeka	Uwzględnione czynniki wg metodyki	Rzędna zera	Okres obserwacji
56	Tujsk	Szarpawa	oscylacje i falowanie		1985-2010
57	ujście Wisły	Wisła		-5,08	1981-2010
58	ujście Wisły	Wisła	oscylacje i falowanie		1981-2010
59	Ustka	Bałtyk		- 5,080 Kr	1981-2010
60	Ustka	Bałtyk	falowanie		1981-2010
61	Ustka	Ujście słupi	oscylacje i falowanie		1981-2010
62	Władysławowo	Bałtyk		- 5,080 Kr	1981-2010
63	Władysławowo	Bałtyk	falowanie		1981-2010
64	Wolin	Cieśnina dziwna		-5,08	1981-2010
65	Wolin	Cieśnina dziwna	oscylacje i falowanie		1981-2010
66	Wolin	Zalew szczeciński	falowanie		1981-2010
67	Żukowo	Jezioro družno		-5,08	1984-2010

Tabela 5 Wykaz rzek i stacji wodowskazowych objętych opracowaniem przez zespół hydrologów w Oddziale Wrocławskim

L.p.	Rzeka	Stacja wodowskazowa	Kilometr biegu rzeki według MPHP 2010	Powierzchnia zlewni [km ²]	Rzędna zera wodowskazu [m n. Kr.]
1	Odra	Chałupki	725,07	4663,69	192,60
2	Odra	Krzyżanowice	712,85	5875,14	184,66
3	Odra	Racibórz-Miedonia	693,63	6728,90	176,28
4	Odra	Koźle	656,74	9039,85	162,50
5	Odra	Brzeg Dolny	543,52	26428,00	97,732
6	Odra	Malczyce	517,96	26812,00	93,033
7	Odra	Ścinawa	429,56	29584,00	86,725
8	Odra	Głogów	369,90	36394,00	68,570
9	Odra	Nowa Sól	333,40	36780,00	58,818
10	Odra	Cigacice	291,00	39888,00	47,395
11	Odra	Polecko	233,48	47152,00	32,621
5	Opawa	Branice	58,04	604,46	286,99
6	Olza	Istebna	79,29	34,85	533,86
7	Olza	Cieszyn	37,15	449,41	266,11
8	Piotrówka	Zebrzydowice	15,47	108,39	224,81
9	Szotkówka	Gólkowice	3,57	104,96	207,32
10	Psina	Bojanów	9,38	519,97	195,66
11	Ruda	Ruda Kozielska	13,80	384,41	192,51
12	Nacyna	Rybnik	2,29	62,97	221,64
13	Sumina	Nędza	5,04	91,25	186,21
14	Bierawka	Tworóg Mały	22,22	214,47	201,96
15	Bierawka	Grabówka	5,33	331,85	176,56
16	Kłodnica	Kłodnica	67,05	76,55	236,24
17	Kłodnica	Gliwice	49,00	449,98	210,87
18	Kłodnica	Lenartowice	8,06	973,31	172,43
19	Bytomka	Gliwice	2,84	139,43	220,84
27	Stradunia	Kamionka	7,29	274,40	168,336
28	Osobłoga	Raławice Śląskie	29,85	490,90	195,219

L.p.	Rzeka	Stacja wodowskazowa	Kilometr biegu rzeki według MPHP 2010	Powierzchnia zlewni [km ²]	Rzędna zera wodowskazu [m n. Kr.]
29	Prudnik	Prudnik	19,50	134,40	249,894
30	Złoty Potok	Jarnołówce	12,99	36,30	350,912
31	Biała	Dobra	1,87	353,40	165,558
20	Mała Panew	Krupski Młyn	77,07	667,30	223,79
33	Mała Panew	Staniszcze Wielkie	42,08	1107,40	186,519
34	Mała Panew	Turawa	17,33	1424,00	160,330
21	Stoła	Wesoła	2,60	212,27	230,88
36	Nysa Kłodzka	Międylesie	171,63	49,70	424,930
37	Nysa Kłodzka	Bystrzyca Kłodzka	150,68	260,00	337,677
38	Nysa Kłodzka	Kłodzko	129,41	1084,00	281,485
39	Nysa Kłodzka	Bardo	112,67	1744,00	256,079
40	Nysa Kłodzka	Nysa	61,61	3276,00	179,297
41	Nysa Kłodzka	Skorogoszcz	7,43	4514,00	139,847
42	Wilczka	Wilkanów	5,79	35,10	362,779
43	Bystrzyca	Bystrzyca Kłodzka	0,10	64,00	339,604
44	Bystrzyca Dusz.	Szalejów Dolny	4,53	175,00	304,841
45	Ścinawa Niemodlińska	Niemodlin	13,41	269,40	154,839
46	Biała Łądecka	Łądek Zdrój	22,88	166,00	420,523
47	Biała Łądecka	Żelazno	5,12	305,00	316,766
48	Ścinawka	Tłumaczów	24,09	256,00	340,151
49	Ścinawka	Gorzuchów	8,25	511,00	294,237
50	Biała Głuchowska	Głucholazy	18,61	283,00	281,001
51	Stobrawa	Karłowice (Wapienniki)	12,44	967,20	140,054
52	Bogacica	Domaradz	3,82	228,20	151,340
53	Budkowiczanka	Krzywa Góra	18,43	236,50	152,451
54	Oława	Oława	32,14	957,00	124,826
55	Ślęza	Białobrzegie	56,20	181,00	159,484
56	Ślęza	Borów	37,49	547,20	135,997
57	Ślęza	Ślęza (Żerniki)	17,34	869,20	120,459
58	Bystrzyca	Jugowice	84,71	123,00	367,235
59	Bystrzyca	Lubachów	79,08	158,00	298,313
60	Bystrzyca	Krasków	54,06	683,40	176,281
61	Bystrzyca	Mietków	44,08	721,80	152,650
62	Bystrzyca	Jarnołów	13,93	1709,70	116,248
63	Pelcznica	Świebodzice	17,97	87,10	276,286
64	Piława	Dzierżonów	31,14	125,20	252,748
65	Piława	Mościsko	22,34	291,00	235,320
66	Strzegomka	Łażany	38,89	356,00	182,358
67	Widawa	Zbytowa	42,77	720,70	126,777
68	Widawa	Krzyżanowice/Soltysowice	11,85	1643,60	111,687
69	Kaczawa	Świerzawa	68,28	134,00	256,347
70	Kaczawa	Rzymówka	41,69	313,80	150,698
71	Kaczawa	Dunino	36,50	774,00	135,605
72	Kaczawa	Piątnica (Pańców)	21,95	1807,00	110,021
73	Nysa Szalona	Jawor	20,24	298,00	187,155
74	Nysa Szalona	Winnica	6,64	398,40	152,003
75	Czarna Woda	Bukowna	17,52	430,00	124,359
76	Skora	Zagrodno	26,27	162,00	181,187
77	Skora	Chojnów	10,95	264,00	139,987
78	Barycz	Odolanów	118,47	163,00	114,200
79	Barycz	Łąki	74,65	1752,00	93,731
80	Barycz	Osetno	18,29	4579,00	77,505
81	Orla	Korzeńsko	15,99	1127,00	85,092
82	Bóbr	Bukówka	269,38	58,50	507,607

L.p.	Rzeka	Stacja wodowskazowa	Kilometr biegu rzeki według MPHP 2010	Powierzchnia zlewni [km ²]	Rzędna zera wodowskazu [m n. Kr.]
83	Bóbr	Błażkowa	261,32	104,00	465,254
84	Bóbr	Kamienna Góra	253,28	190,00	436,010
85	Bóbr	Wojanów	222,07	535,00	349,162
86	Bóbr	Jelenia Góra	209,52	1048,80	322,218
87	Bóbr	Pilchowice	195,82	1209,00	238,793
88	Bóbr	Dąbrowa Bolesławiecka	136,09	1735,00	157,637
89	Bóbr	Szprotawa	99,27	2878,00	115,415
90	Bóbr	Żagań	75,88	4254,00	91,914
91	Łomnica	Łomnica	0,44	118,00	345,544
92	Jedlica	Kowary	9,44	13,30	452,642
93	Kamienica	Barcinek	4,15	97,20	321,735
94	Szprotawa	Szprotawa	2,30	863,00	118,071
95	Czarna Wielka	Żagań	3,47	896,00	98,029
96	Czarna Mała	Ilowa	2,96	160,00	119,589
97	Kamienna	Jakuszyce	31,00	5,80	849,520
98	Kamienna	Piechowice	14,45	99,20	384,363
99	Kamienna	Jelenia Góra	2,02	255,00	326,144
100	Kwisa	Mirsk	108,52	186,00	325,296
101	Kwisa	Leśna	88,47	304,00	238,134
102	Kwisa	Nowogrodziec	58,27	736,00	186,970
103	Kwisa	Łozy	12,90	903,00	117,336
104	Czarny Potok	Mirsk	0,23	55,90	328,957
105	Nysa Łużycka	Porajów	194,60	386,40	228,137
106	Nysa Łużycka	Sieniawka	193,08	687,20	225,411
107	Nysa Łużycka	Zgorzelec	150,64	1609,20	175,437
108	Nysa Łużycka	Przewóz	101,25	2046,00	120,453
109	Nysa Łużycka	Gubin	13,54	3973,60	37,607
110	Witka	Ostróžno	7,74	268,00	210,740
111	Witka	Ręcyn	1,60	317,70	195,011
112	Miedzianka	Turoszów	1,82	72,20	218,101
113	Czerwona Woda	Zgorzelec	1,98	127,60	185,510
114	Skroda	Przewoźniki	4,13	219,00	113,889
115	Lubsza	Pleśno	6,22	813,60	44,136
116	Klikawa (Szybka)	Kudowa Zdrój-Zakrze	4,12	48,70	374,556

Załącznik 3

Tabela 6 Przepływy charakterystyczne z wielolecia dla wodowskazów objętych opracowaniem przez zespół poznański

L.p.	Rzeka	Stacja wodowskazowa	NNQ [m³/s]	SNQ [m³/s]	SSQ [m³/s]	SWQ [m³/s]	WWQ [m³/s]	Lata
DORZECZE WISŁY								
1	Wisła	Toruń	205	354	979	3650	6890	1951-2010
DORZECZE ODRY								
1	Cybina	Antoninek	0,00	0,11	0,58	2,18	5,12	1971-2010
2	Drawa	Drawsko Pomorskie	0,38	1,73	4,15	10,80	18,80	1951-2010
3	Drawa	Drawno	2,62	5,12	9,12	15,50	25,00	1971-2010
4	Drawa	Drawiny	7,27	13,00	21,10	32,40	51,00	1956-2010
5	Główna	Wierzenica	0,01	0,13	0,72	3,21	10,80	1976-1200
6	Grabia	Łask	0,20	0,77	2,75	18,80	44,20	1971-2010
7	Grabia	Grabno	0,49	1,12	4,24	29,70	73,50	1951-2010
8	Gwda	Gwda Wielka	0,66	1,58	3,51	6,02	15,30	1971-2010
9	Gwda	Ptusza	2,97	5,10	11,40	25,40	50,00	1951-2010
10	Gwda	Piła	9,72	14,30	27,00	54,70	114,00	1951-2010
11	Ina	Stargard Szczeciński	0,63	3,49	9,59	28,20	48,30	1975-2010
12	Ina	Goleniów	1,94	5,79	13,00	35,00	87,80	1951-2010
13	Kanał Kościański	Kościan	0,07	0,57	3,81	14,90	40,10	1956-2010
14	Kanał Mosiński	Mosina	0,22	1,25	5,93	20,00	58,50	1956-2010
15	Ner	Dąbie	0,70	2,60	10,30	40,70	87,00	1951-2010
16	Nieciecz	Widawa	0,00	0,14	1,00	8,69	30,80	1974-2010
17	Noteć	Pakość	1,94	5,79	13,00	35,00	87,80	1951-2010
18	Noteć	Ujście1	1,48	5,61	18,80	44,10	97,00	1971-2010
19	Noteć	Krzyż	13,00	25,70	53,80	97,40	149,00	1971-2010
20	Noteć	Nowe Drezdenko	25,10	39,30	73,20	131,00	263,00	1951-2010
21	Obra	Zbąszyń	0,14	0,96	4,53	12,23	25,60	1961-2010
22	Obra	Bledzew	0,50	2,10	9,30	21,00	34,20	1956-2010
23	Odra	Ślubice	56,30	129,20	305,90	918,50	2870,00	1951-2010
24	Odra	Gozdowice	153,00	246,20	525,20	1230,00	3180,00	1951-2010
25	Piława	Nadarzyce	0,66	1,47	2,56	3,86	6,56	1971-2010
26	Piława	Zabrodzie	2,78	4,66	7,71	13,30	21,40	1956-2010
27	Prosna	Gorzów Śląski	0,09	0,26	0,89	12,00	37,40	1971-2010
28	Prosna	Mirków	0,29	1,21	5,19	36,80	117,00	1951-2010
29	Prosna	Piwonice	1,26	3,12	11,50	63,50	189,00	1951-2010
30	Prosna	Bogusław	1,56	4,02	16,20	86,10	237,00	1951-2010
31	Śwędrnia	Dębe	0,03	0,28	1,94	15,00	46,90	1961-1981
32	Warta	Działoszyn	7,20	11,62	24,90	97,80	279,00	1951-2010
33	Warta	Burzenin	10,20	15,50	32,40	116,10	370,00	1971-2010
34	Warta	Sieradz	9,50	21,40	45,70	165,70	424,00	1951-2010
35	Warta	Uniejów	18,00	26,60	50,20	131,50	441,00	1993-2010
36	Warta	Ślask	10,50	30,40	66,00	211,30	540,00	1951-1991, 1994-2010
37	Warta	Nowa Wieś Podgórna	24,90	40,70	96,40	283,40	795,00	1966-2010
38	Warta	Śrem	33,20	46,00	101,70	257,60	624,00	1994-2010
39	Warta	Poznań M. Rocha	12,30	40,20	102,30	304,40	832,00	1951-2010
40	Warta	Oborniki	26,80	49,10	115,20	300,20	808,00	1971-2010
41	Warta	Wronki	37,20	53,60	125,50	326,40	928,00	1971-2010
42	Warta	Skwierzyna	21,20	53,00	125,90	340,60	972,00	1951-2010

L.p.	Rzeka	Stacja wodowskazowa	NNQ [m³/s]	SNQ [m³/s]	SSQ [m³/s]	SWQ [m³/s]	WWQ [m³/s]	Lata
43	Warta	Gorzów Wlkp.	64,70	102,10	210,70	466,70	1110,00	1951-2010
44	Wełna	Pruśce	0,09	0,81	3,39	10,82	36,90	1951-2010
45	Wełna	Kowanówko	0,53	2,03	8,84	30,50	96,40	1961-2010
46	Widawka	Szczerców	1,62	3,60	5,69	16,44	60,60	1971-2010
47	Widawka	Rogoźno	0,67	4,06	8,38	40,72	129,00	1951-2010
48	Widawka	Podgórze	0,76	5,65	13,90	71,50	179,00	1951-2010
RZĘKI PRZYMORZA								
1	Grabowa	Krag	0,75	1,96	2,78	6,55	14,2	1954-2010
2	Grabowa	Grabowo	3,56	4,52	6,55	14,8	21,7	1976-2010
3	Łeba	Miłoszewo	0,31	0,51	1,44	6,98	14,7	1964-2010
4	Łeba	Lębork	1,55	3,38	6,01	13,8	24,6	1968-2010
5	Łeba	Cecenowo	4,33	6,68	11,7	28,2	45,9	1951-2010
6	Łupawa	Smoldzino	1,34	4,09	8,33	17,1	44,9	1951-2010
7	Parsęta	Białogard	3,8	5,36	11	40,5	64,2	1953-2010
8	Parsęta	Bardy	10,2	14,1	27,8	80,8	143	1951-2010
9	Rega	Golniewo Dolne	0,09	0,95	1,96	6,04	11,7	1974-2010
10	Rega	Łobez	1,24	2,23	4,6	12,6	20,8	1956-2010
11	Rega	Resko	2,97	4,84	8,88	20,1	32,5	1957-2010
12	Rega	Trzebiatów	6,33	9,11	20,4	54,2	87,7	1951-2010
13	Skotawa	Skarszów Dolny	0,4	1,49	2,97	5,8	15,1	1963-2010
14	Ślupia	Ślupsk	4,82	8,64	15,7	31,5	56,2	1951-2010
15	Ślupia	Charnowo	6	10,4	17,9	35,9	53,6	1967-2010
16	Wieprza	Korzybie	2,76	4,94	9	18,8	29,8	1961-2010
17	Wieprza	Stary Kraków	5,6	9,26	15,8	41,6	76,7	1951-2010

Tabela 7 Przepływy charakterystyczne z wielolecia dla wodowskazów objętych opracowaniem przez zespół krakowski

Lp.	Rzeka	Stacja wodowskazowa	WWQ	SWQ	SQ	SNQ	NNQ	Okres wyliczeniowy
			[m³/s]					
1	Wisła	Wisła	130	31,3	1,4	0,15	0,05	1956-2010
2	Wisła	Ustroń-Oblaziec	270	54,3	2,72	0,33	0,12	1956-2010
3	Wisła	Skoczów	528	145	6,25	0,57	0,06	1956-2010
4	Wisła	Goczałkowice	703	123	8,6	0,98	0,47	1956-2010
5	Wisła	Jawiszowice	792	153	12,8	2,42	0,95	1956-2010
6	Wisła	Nowy Bieruń	846	188	21,4	5,76	2,54	1956-2010
7	Brennica	Górki Wielkie	276	49,0	1,92	0,27	0,04	1956-2010
8	Ilownica	Czechowice-Dziedzice	355	78,5	3,07	0,55	0,20	1956-2010
9	Wapienica	Podkęcie	144	41,1	0,96	0,13	0,025	1956-2010
10	Biała	Mikuszowice	73,5	18,3	0,64	0,13	0,03	1956-2010
11	Biała	Czechowice-Bestwina	286	73,8	3,35	1,27	0,55	1972-2010
12	Pszczynka	Pszczyna	50,3	14,5	1,45	0,22	0,046	1959-2010
13	Korzenica	Międzyrzecze	26,2	7,80	0,62	0,12	0,019	1967-2010
14	Gostynia	Bojszowy	89,8	21,8	3,36	1,66	0,62	1957-2010
15	Przemsza	Przeczycze	38,9	10,9	1,98	0,65	0,22	1965-2010
16	Przemsza	Łagisza	42,1	12,7	2,51	0,81	0,31	1971-2010
17	Przemsza	Radocha	64,0	21,2	4,31	2,03	0,95	1951-2010
18	Przemsza	Jeleń	130	50,5	18,7	13,1	7,50	1951-2010
19	Brynica	Namiarki	20,7	4,36	0,62	0,17	0,01	1957-2010
20	Brynica	Czeladź	29,4	7,48	2,02	0,95	0,17	1957-2010
21	Brynica	Szabelnia	63,0	21,4	5,11	3,26	1,40	1951-2010

Lp.	Rzeka	Stacja wodowskazowa	WWQ	SWQ	SQ	SNQ	NNQ	Okres wyliczeniowy
			[m³/s]					
22	Biała Przemsza	Niwka	61,6	19,3	7,40	5,26	3,50	1951-2010
23	Wisła	Pustynia	760	293	43,9	19,6	5,60	1960-2010
24	Wisła	Smolice	1900	691	76,2	30,6	14,3	1982-2010
25	Wisła	Czernichów	2010	907	80,7	9,80	3,10	1997-2010
26	Skawinka	Radziszów	346	97,0	3,06	0,46	0,09	1972-2010
27	Rudawa	Balice	101	30,2	2,35	1,24	0,60	1951-2010
28	Wilga	Zbydniowice	47,3	14,6	0,398	0,042	0,001	1981-2010
29	Prądnik	Ojców	23,8	3,68	0,441	0,312	0,19	1961-2010
30	Wisła	Sierosławice	2700	765	101	37,2	22,0	1959-2010
31	Wisła	Popędzyna	3150	913	110	42,9	31,3	1980-2010
32	Szreniawa	Biskupice	57,3	15,8	2,35	1,40	0,62	1971-2010
34	Uszwica	Borzęcin	293	104	2,68	0,44	0,15	1961-2010
35	Wisła	Jagodniki	4530	1097	130	47,8	27,8	1951-2010
36	Nidzica	Dobiesławice	45,6	9,24	2,22	0,95	0,30	1957-2010
37	Wisła	Karsy	5830	1893	213	68,8	34,7	1951-2010
38	Wisła	Szczucin	5780	1931	237	79,3	40,5	1951-2010
39	Koprzywianka	Koprzywnica	198	31,1	1,71	0,43	0,18	1983-2010
40	Wisła	Sandomierz	5690	2719	291	95,2	57,0	1951-2010
41	Wisła	Zawichost	6160	2895	436	135	84,0	1951-2010
42	Sola	Rajcza	373	98,5	4,77	0,59	0,40	1970-2010
43	Kamesznica	Bystra	90,8	14,4	1,03	0,10	0,01	1965-2010
44	Żabniczanka	Żabnica	105	16,9	0,68	0,09	0,04	1968-2010
45	Sola	Cięcina	480	158	8,33	1,02	0,60	1982-2010
46	Koszarawa	Pewel Mała	260	80,5	4,66	0,62	0,35	1971-2010
47	Sola	Żywiec	992	336	15,9	1,80	0,80	1963-2010
48	Żylica	Łodygowice	63,4	17,3	1,30	0,160	0,06	1972-2010
49	Sola	Oświęcim	964	367	19,4	2,74	1,20	1978-2010
50	Skawa	Jordanów	160	36,6	1,16	0,12	0,011	1979-2010
51	Skawa	Osielec	478	118	3,92	0,50	0,20	1975-2010
52	Skawica	Skawica Dolna	154	66,8	3,37	0,5	0,35	1994-2010
53	Skawa	Sucha Beskidzka	737	153	7,60	1,24	0,50	1951-2010
54	Stryszawka	Sucha Beskidzka	216	56,5	2,44	0,29	0,14	1961-2010
55	Skawa	Wadowice	1050	279	13,0	1,96	0,80	1975-2010
56	Wieprzówka	Rudze	173	66,7	1,69	0,08	0,01	1958-2010
57	Skawa	Zator	1050	294	16,5	3,00	1,20	1954-2010
58	Raba	Rabka 2	88,2	32,2	1,34	0,22	0,08	1985-2010
59	Raba	Mszana Dolna	107	46,4	2,48	0,39	0,18	1971-2010
60	Mszanka	Mszana Dolna	371	94,2	3,35	0,47	0,07	1985-2010
61	Raba	Kasinka Mała	581	142	5,71	0,87	0,50	1986-2010
62	Raba	Stróża	780	222	9,87	1,51	0,70	1951-2010
63	Raba	Dobczyce	699	213	9,84	2,36	1,40	1991-2010
64	Stradomka	Stradomka	449	120	3,38	0,41	0,13	1984-2010
65	Raba	Proszówki	1440	455	19,3	3,57	1,68	1995-2010
66	Czarny Dunajec	Koniówka	240	68,4	4,38	0,920	0,30	1968-2010
67	Lepietnica	Ludźmierz	124	27,4	1,04	0,18	0,04	1972-2010
68	Wielki Rogoźnik	Ludźmierz	336	51,9	1,87	0,32	0,13	1965-2010
69	Czarny dunajec	Nowy targ	318	152	8,95	1,93	0,86	1978-2010
70	Cicha woda	Zakopane-harenda	195	42,0	2,28	0,53	0,22	1961-2010
71	Poroniec	Poronin	156	27,2	1,65	0,33	0,07	1966-2010
72	Biały Dunajec	Szaflary	435	92,6	5,25	1,30	0,56	1966-2010
73	Dunajec	Kowaniec II - Nowy	420	308	16,4	4,13	2,44	2005-2010

Lp.	Rzeka	Stacja wodowskazowa	WWQ	SWQ	SQ	SNQ	NNQ	Okres wyliczeniowy
			[m³/s]					
		Targ						
74	Białka Tatrzańska	Łysa polana	144	45,8	3,17	0,51	0,22	1961-2010
75	Białka Tatrzańska	Trybsz 2	253	102	7,40	1,450	0,400	1996-2010
76	Grajcarek	Szczawnica	60,0	21,8	1,24	0,255	0,09	1987-2010
77	Dunajec	Krościenko	1290	446	31,9	7,09	3,00	1951-2010
78	Ochoznica	Tylmanowa	90,0	26,3	1,81	0,39	0,20	1971-2010
79	Dunajec	Gołkowice	1680	562	38,6	8,34	3,40	1951-2010
80	Dunajec	Nowy Sącz	2690	956	66,2	14,3	6,00	1956-2010
81	Łososina	Jakubkowice	565	172	4,90	0,57	0,20	1958-2010
82	Dunajec	Czchów	3100	1002	69,9	14,1	5,50	1951-2010
83	Dunajec	Zgłobice	2510	911	77,9	18,3	8,8	1981-2010
84	Dunajec	Żabno	3500	1123	88,5	20,0	10,0	1951-2010
85	Poprad	Muszyna-Milik	860	268	20,8	4,71	2,20	1959-2010
86	Poprad	Stary Sącz	1110	317	25,6	6,25	3,02	1966-2010
87	Kamienica Nawojowska	Łabowa	190	51,8	1,16	0,15	0,09	1984-2010
88	Kamienica Nawojowska	Nowy sącz	405	150	3,75	0,48	0,29	1967-2010
89	Łubinka	Nowy Sącz	115	27,4	0,65	0,10	0,04	1975-2010
90	Biała Tarnowska	Grybów	600	111	2,92	0,24	0,08	1973-2010
91	Biała Tarnowska	Ciężkowice	545	206	5,99	0,67	0,20	1973-2010
92	Biała Tarnowska	Koszyce	836	298	9,59	1,40	0,60	1972-2010
93	Biała Nida	Mniszek	32,2	13,5	2,37	0,76	0,16	1964-2010
94	Wierna Rzeka	Bocheniec	40,0	11,3	1,57	0,44	0,10	1956-2010
95	Czarna Nida	Daleszyce	136	32,2	1,16	0,30	0,14	1958-2010
96	Czarna Nida	Morawica	195	53,9	3,90	0,95	0,19	1958-2010
97	Bobrza	Słowik	93,5	24,6	1,81	0,271	0,025	1961-2010
98	Czarna Nida	Tokarnia	225	69,7	6,62	2,38	1,30	1972-2010
99	Nida	Brzegi	334	105	13,0	4,72	2,37	1951-2010
100	Mierzawa	Michałów	13,6	6,38	2,27	1,19	0,32	1985-2010
101	Nida	Pińczów	274	104	17,7	6,51	3,16	1971-2010
102	Czarna Staszowska	Raków	50,0	18,0	1,26	0,42	0,16	1961-2010
103	Łagowica	Mocha	160	21,3	0,92	0,19	0,005	1984-2010
104	Czarna Staszowska	Staszów	135	30,4	2,77	1,31	0,75	1981-2010
105	Wchodnia	Wilkowa	101	33,8	2,87	0,53	0,10	1951-2010
106	Czarna Staszowska	Połaniec	204	60,0	5,93	2,04	1,40	1989-2010
107	Wisłoka	Krempna-Kotań	134	71,8	2,93	0,26	0,12	2003-2010
108	Wisłoka	Żółków	464	191	7,71	0,67	0,12	1971-2010
109	Sękówka	Gorlice	379	132	2,18	0,25	0,11	1998-2010
110	Ropa	Kłęczany	529	142	5,98	1,16	0,20	1960-2010
111	Ropa	Topoliny	837	250	10,5	2,01	0,51	1971-2010
112	Jasiołka	Zboiska	220	77,2	3,84	0,33	0,08	1973-2010
113	Jasiołka	Jasło	378	142	6,24	0,54	0,15	1971-2010
114	Wisłoka	Krajowice	1370	508	23,6	2,94	0,99	1951-2010
115	Wisłoka	Łabuzie	1370	487	28,2	3,99	1,38	1981-2010
116	Grabnianka	Głowaczowa	94,6	34,9	1,39	0,29	0,17	2000-2010
117	Brzeźnica	Brzeźnica	233	77,4	3,43	0,79	0,25	1958-2010

Lp.	Rzeka	Stacja wodowskazowa	WWQ	SWQ	SQ	SNQ	NNQ	Okres wyliczeniowy
			[m³/s]					
118	Wisłoka	Pustków	1380	728	41,2	6,89	4,60	2004-2010
119	Wisłoka	Mielec 2	1360	581	38,9	7,21	3,00	1993-2010
120	San	Lesko	1110	296	28,7	5,05	0,44	1961-2010
121	Oslawa	Szczawne	286	113	5,78	0,51	0,21	1973-2010
122	Oslawa	Zagórz	447	144	8,23	0,76	0,17	1951-2010
123	San	Sanok-Olchowce	1260	455	39,2	8,46	3,22	1980-2010
124	San	Dynów	1110	468	45,6	7,42	0,98	1951-2010
125	San	Przemyśl	1410	546	52,8	10,1	2,00	1951-2010
126	Wiar	Krówniki	620	188	6,84	0,95	0,30	1972-2010
127	Wisznia	Nienowice	404	117	7,06	1,14	0,17	1951-2010
128	Szkoło	Charytany	123	36,8	4,45	1,16	0,45	1959-2010
129	San	Jarosław	2000	590	72,9	20,3	12,0	1975-2010
130	Lubaczówka	Zapałów	52,8	31,9	4,52	1,27	0,61	1959-2010
131	San	Leżachów	1900	676	82,3	21,8	7,26	1959-2010
132	San	Rzuchów	2240	812	106	27,4	9,20	1951-2010
134	Trzebośnica	Sarzyna	157	21,2	1,49	0,42	0,18	1961-2010
135	Tanew	Osuchy	143	51,2	6,46	2,66	1,43	1956-2010
136	Łada	Biłgoraj	37,4	8,68	1,33	0,71	0,10	1956-2010
137	Tanew	Harasiuki	222	70,9	12,5	5,20	3,32	1965-2010
138	San	Nisko	1640	771	122	38,9	23,0	1982-2010
139	Bukowa	Ruda Jastkowska	188	43,6	4,40	1,12	0,27	1961-2010
140	San	Radomyśl	2260	858	134	40,3	16,8	1958-2010
141	Pielnica	Nowosielce	53,6	19,9	0,45	0,034	0,011	1981-2010
142	Morawa	Iskrzynia	70,0	39,4	1,39	0,13	0,00	1983-2010
143	Wiśłok	Krosno	330	111	6,60	0,89	0,42	1971-2010
144	Stobnica	Godowa	362	86,0	3,24	0,501	0,17	1981-2010
145	Wiśłok	Żarnowa	436	187	13,9	2,58	1,46	1979-2010
146	Wiśłok	Rzeszów	533	221	17,9	2,68	0,66	1951-2010
147	Mleczka	Gorliczyzna	361	64,8	3,06	0,45	0,10	1958-2010
148	Wiśłok	Tryńcza	589	246	27,0	6,37	3,55	1971-2010
149	Annapol	Wisła	6200,00	2870,33	437,30	138,18	92,00	1951-2010
150	Puławy	Wisła	6460,00	2659,80	468,80	161,04	98,00	1961-2010
151	Dęblin	Wisła	5500,00	2634,90	507,15	187,75	114,00	1972-2010
152	Gusin	Wisła	5560,00	2683,89	563,19	229,25	134,00	1975-2010
153	Warszawa	Wisła	5940,00	2859,17	574,98	217,10	108,00	1951-2010
154	Warszawa Nadwilanówka	Wisła	5940,00	2746,51	575,95	233,07	147,00	1968-2010
155	Modlin	Wisła	6860	3331	888	302	212	1969-2010
156	Kępa polska	Wisła	6980	3389	932	352	238	1969-2010
157	Włocławek	Wisła	6950	3443	916	291	160	1961-2010
158	Bór	Wyżnica	37,4	8,5	1,97	1,07	0,42	1966-2010
159	Bzin	Kamienna	93,80	26,79	1,82	0,39	0,07	1951-2010
160	Wąchock	Kamienna	117,00	34,94	3,00	0,73	0,14	1951-2010
161	Michałów	Kamienna	141,00	42,17	3,63	1,20	0,41	1994-2010
162	Brody ilżeckie	Kamienna	154,00	37,46	3,91	1,12	0,50	1974-2010
163	Kunów	Kamienna	265,00	59,26	5,72	1,58	0,88	1951-2010
164	Czekarzewice	Kamienna	113,00	40,57	8,33	2,89	1,38	1971-2010
165	Rzepin	Świsłina	46,40	12,29	0,49	0,11	0,05	1976-2010
166	Nietulisko duże	Świsłina	468,00	40,70	1,68	0,29	0,05	1961-2010
167	Witowice	Kurówka	49,40	16,32	1,41	0,40	0,24	1976-2010
168	Zwierzyniec	Wieprz	28,70	8,00	2,10	1,13	0,40	1951-2010
169	Nielisz	Wieprz	38,10	22,69	7,70	2,92	1,15	1996-2010
170	Wirkowice	Wieprz	75,80	32,81	9,28	4,25	2,78	1976-2010
171	Krasnystaw	Wieprz	300,00	53,21	12,19	5,95	3,49	1951-2010

Lp.	Rzeka	Stacja wodowskazowa	WWQ	SWQ	SQ	SNQ	NNQ	Okres wyliczeniowy
			[m³/s]					
172	Trawniki	Wieprz	134,00	41,34	11,90	3,89	1,35	1976-2010
173	Lubartów	Wieprz	458,00	79,24	22,49	10,19	4,99	1951-2010
174	Kośmin	Wieprz	591,00	129,84	36,52	15,60	7,35	1951-2010
175	Zakłodzie	Pór						2007-2010
176	Krzak	Łabuńka	37,00	11,28	1,91	0,68	0,31	1951-2010
177	Orłów Drewniany	Wolica	48,3	13,67	1,36	0,39	0,14	1953-2009
178	Surhów	Wojślawka	36,70	7,21	0,86	0,42	0,05	1986-2010
179	Biskupice	Gielczew	58,00	9,94	1,34	0,56	0,10	1956-2010
180	Puchaczów	Świnka	12,80	5,57	0,91	0,20	0,08	1965-2010
181	Lublin	Bystrzyca	108,00	15,18	3,01	1,18	0,34	1961-2010
182	Sobianowice	Bystrzyca	93,60	23,29	5,05	2,38	0,70	1951-2010
183	Tchórzew	Tyśmienica	114,00	37,35	8,52	2,36	0,81	1951-2010
184	Młyniska	Minina	10,50	5,71	1,09	0,23	0,11	1992-2010
185	Słowików	Radomka	125	38,9	4,25	0,99	0,10	61-2010
186	Rogożek	Radomka	200	47,1	8,42	2,69	0,88	71-2010
187	Lesiów	Mleczna	22,70	9,66	1,49	0,73	0,46	1973-2010
188	Mika	Okrzejka	66,90	22,20	1,49	0,23	0,07	1959-2010
189	Szczekociny	Pilica	40,30	9,72	1,84	0,79	0,41	1978-2009
190	Wąsosz	Pilica	80,70	30,20	5,31	2,06	1,43	2006-2010
191	Przedbórz	Pilica	258,00	75,80	15,35	5,67	2,55	1951-2010
192	Sulejów	Pilica	223,00	93,48	22,82	9,27	4,62	1976-2010
193	Spała	Pilica	305,00	129,31	31,36	12,68	9,36	1961-2010
194	Nowe Miasto	Pilica	430,00	163,96	36,36	15,43	9,70	1951-2010
195	Białobrzegi	Pilica	471,00	193,28	44,81	19,37	12,10	1951-2010
196	Januszewice	Czarna Włoszczowska	55,6	28,4	3,51	0,75	0,20	73-2010
197	Dąbrowa	Czarna Maleniecka	130	50,4	6,04	1,56	0,30	51-2010
198	Kłudzice	Luciąża	87,8	21,2	2,90	0,62	0,18	61-2010
199	Zawada	Wolbórka	81,0	26,9	2,70	0,73	0,12	51-2010
2002 01	Odrzywół	Drzewiczka	179	42,6	5,41	1,74	0,59	51-2010
202	Wólka Mładzka	Świder	119,0	41,7	4,27	0,90	0,40	1961-2010
203	Orzechowo	Narew	3210,00	929,09	282,00	67,82	10,90	1966-2010
204	Kryłów	Bug	274	175	40,5	12,2	5,80	00-2010
205	Strzyżów	Bug	692	202	41,8	12,8	3,20	61-2010
206	Dorohusk	Bug	526	205	52,7	18,1	9,80	67,69-2010
207	Włodawa	Bug	769	232	57,3	20,5	8,01	57-2010
208	Krzyczew	Bug	902	311	100	36,2	19,9	68-2010
20	Frankopol	Bug	1480	424	118	41,4	12,4	51-2010
9210	Wyszków	Bug	2400	588	153	52,9	19,8	51-2010
211	Ruda opalin	Uherka	28,1	11,2	1,60	0,31	0,05	55-65,73-2010
212	Okuninka	Włodawka	48,2	12,7	2,13	0,42	0,12	51-2010
213	Malowa Góra	Krzna	133	58,0	10,5	2,43	1,00	51-2010
214	Brańsk	Nurzec	152	64,3	5,03	0,86	0,22	51-2010
215	Zembrów	Cetynia	51,1	15,1	0,57	0,07	0,014	92-2010
216	Kaczkowo Nowe	Brok	105	40,5	3,01	0,36	0,14	71-2010
217	Łochów	Liwiec	318,00	88,77	10,55	2,17	1,02	1951-2010
218	Klembów	Cienka	17,0	6,53	0,75	0,10	0,016	60-2010
219	Struga	Czarna	13,9	6,07	0,68	0,048	0,000	51-89,93-04,07- 2010
220	Brudnice	Wkra	45,50	20,51	5,07	1,60	0,38	1966-2010
221	Trzcinec	Wkra	130,00	37,89	10,21	2,71	1,26	1971-2010

Lp.	Rzeka	Stacja wodowskazowa	WWQ	SWQ	SQ	SNQ	NNQ	Okres wyliczeniowy
			[m³/s]					
222	Borkowo	Wkra	204,00	113,36	20,34	5,61	3,64	1999-2010
223	Szreńsk	Mławka	40,2	17,3	3,09	0,86	0,13	51-2010
224	Luberadz	Łydynia	58,20	24,56	3,06	0,68	0,32	1961-2005
225	Sarbiewo	Raciążnica	69,00	20,13	2,36	0,21	0,06	1961-2010
226	Strachowo	Płonka	70,40	17,56	1,67	0,22	0,06	1965-2010
227	Łowicz	Bzura	197,0	78,3	14,41	3,32	1,27	1961-1987
228	Narew	Bondary	85,9	24,2	4,98	1,43	0,27	1964-2010
229	Narew	Narew	153	47,6	9,38	2,43	0,95	1951-2010
230	Narew	Ploski	182	72,9	13,8	3,24	1,78	1968-1991
231	Narew	Suraż	250	74,9	15,1	3,98	1,52	1951-2010
232	Narew	Strękowa Góra	524	126,2	32,3	9,99	4,64	1951-2010
233	Narew	Wizna	992	249,4	67,4	22,6	10,0	1951-2010
234	Narew	Piątnica-Łomża	1040	264,0	73,3	25,3	10,9	1951-2010
235	Narew	Nowogród	1290	305,5	97,6	38,5	21,0	1951-2010
236	Narew	Ostrołęka	1360	344,8	109	43,0	24,0	1951-2010
237	Narew	Zambski Kośc.	1460	368,8	139	57,8	28,9	1965-2010
238	Narewka	Narewka	50,7	19,9	2,99	0,67	0,30	1951-2010
239	Orlanka	Chraboły	94,8	26,5	2,35	0,35	0,05	1973-1991
240	Supraśl	Fasty	123	34,8	8,78	3,57	1,66	1951-2010
241	Biebrza	Osowiec	360	80,6	22,6	7,04	3,08	1951-2010
242	Biebrza	Burzyn	517	131	34,5	11,7	4,33	1951-2010
243	Jęgrznia	Woźnawieś	37,2	12,4	4,92	1,45	0,48	1978-2010
244	Elk	Elk	38,0	16,0	6,17	1,77	0,72	1972-2009
245	Elk	Prostki	46,4	20,8	8,43	2,75	1,15	1971-2010
246	Elk (Kanał Rudzki)	Przechody	58,2	26,5	10,2	3,45	1,60	1961-2010
247	Kanał Kuwasy	Czarnawieś	5,45	4,06	1,53	0,24	0,13	2005-2010
248	Wissa	Czachy	58,6	18,5	2,49	0,68	0,24	1957-2010
249	Pisa	Dobrylas	107	48,4	23,8	12,7	7,05	1951-2010
250	Ruż	Zaruzie	54,8	10,4	1,31	0,26	0,06	1961-2010
251	Omulew	Białobrzeg Bl.	47,5	24,9	9,87	3,55	1,58	1973-2010
252	Orz	Czarnowo	70,0	19,3	2,09	0,35	0,06	1961-2010
253	Orzyc	Maków Maz	186	46,9	8,62	2,17	0,95	1956-2010
254	Łyna	Olsztyn-Kortowo	10,7	6,25	3,87	2,31	1,20	1951-2010
255	Łyna	Smolajny	50,6	32,5	14,4	6,80	3,76	1961-2010
256	Łyna	Sępapol	172	94,2	25,0	9,05	4,60	1951-2010
257	Guber	Prosna	145	53,2	8,55	1,36	0,40	1951-2010

Tabela 8 Przepływy charakterystyczne z wielolecia dla wodowskazów objętych opracowaniem przez zespół gdyński

L.p.	Rzeka	Stacja wodowskazowa	WWQ (m³/s)	SWQ (m³/s)	SSQ (m³/s)	SNQ (m³/s)	NNQ (m³/s)	Okres obliczeniowy
1	Brda	Smukała	90	56	26	13	10	
2	Brda	Tuchola	49,5	30,5	19,5	11	7,28	
3	Drwęca	Elgiszewo	150	59,4	29,5	15,1	8,88	1965-2010
4	Drwęca	Brodnica	96,6	45,2	23,3	11,9	5,9	1965-2010
5	Drwęca	Rodzone	57,8	25,3	11,2	4,56	2,22	1965-2010
6	Drwęca	Samborowo	28,8	16	7,17	2,83	1,08	
7	Drwęca	Nowe miasto	74,4	37,1	17,7	8,53	4,96	1965-2010
8	Drwęca Warmińska	Orneta			2,36	0,577		1991-2000
9	Dzierżgoń	Bagart	14,6	9,32	1,9	0,56	0,29	1974-2003

L.p.	Rzeka	Stacja wodowskazowa	WWQ (m³/s)	SWQ (m³/s)	SSQ (m³/s)	SNQ (m³/s)	NNQ (m³/s)	Okres obliczeniowy
10	Osa	Rogoźno 2	39	13,9	4,5	1,31	0,42	1965-2010
11	Radunia	Juszkowo	53,1	23,6	6,21	1,99	0,5	
12	Radunia	Goręczyno	8,92	5,49	2,84	1,43	0,68	1961-2003
13	Reda	Wejherowo	22,3	14	4,31	1,56	0,54	
14	Ruziec	Sitno			1,224	0,297		1986-1991
15	Wąska	Pasłęk	25,7	15,2	1,89	0,3	0,11	
16	Wda	Kraplewice	47,6	34,4	11,6	0,17	0,06	1966-2006
17	Wda	Czarna woda	15,6	11,2	6,35	3,35	1,85	1949-2006
18	Wel	Kuligi	18,6	10,1	5,33	3,03	1,95	1965-2010
19	Wel	Lidzbark	12,9	6,71	3,44	1,83	0,98	1965-2010
20	Wierzyca	Brody pomorskie	48,8	22	8,61	4	2,02	1947-2006
21	Wierzyca	Bożepole szlacheckie	10	6,31	2,83	1,39	0,57	1947-2006
22	Wisła od Tczewa	Tczew	6 440	3 315	1 081	435	266	1965-2010

RZeki PRZYMORZA

L.p.	Rzeka/Morze	Stacja wodowskazowa	WWW (cm)	SWW (cm)	SSW (cm)	SNW (cm)	NNW (cm)	Okres obliczeniowy
1	Szarpawa	Tujsk	680	596	506	435	360	1985-2010
2.	Bałtyk	Ustka	640	593	502	439	409	1981-2010

Tabela 9 Przepływy charakterystyczne z wielolecia dla wodowskazów objętych opracowaniem przez zespół wrocławski

L.p.	Rzeka	Stacja wodowskazowa	Okres	SNQ m³/s	SSQ m³/s	SWQ m³/s	Uwagi
1	Odra	Oława	1961 - 2010	54,5	142	682	
2	Odra	Malczyce	1961 - 2010	60,4	165	713	
3	Odra	Ścinawa	1951 - 2010	66,3	180	700	
4	Odra	Głogów	1951 - 2010	73,9	198	731	
5	Odra	Nowa Sól	1951 - 2010	80,1	206	736	
6	Odra	Cigacice	1951 - 2010	88,8	224	774	
7	Odra	Połęcko	1951 - 2010	107	259	846	
8	Stradunia	Kamionka	1986 - 2010	0,23	0,68	7,16	
910	Osobłoga	Raławice Śląskie	1957 - 2010	0,66	3,07	45,8	
11	Prudnik	Prudnik	1957 - 2010	0,32	1,29	36,4	
12	Złoty Potok	Jarnołtówek	1979 - 2010	0,26	0,63	7,75	
13	Biała	Dobra	1951 - 2010	0,35	1,11	10,1	
14	Mała Panew	Staniszcze Wielkie	1951 - 2010	2,55	7,27	56,5	
15	Mała Panew	Turawa	1956 - 2010	0,75	8,97	39,6	
16	Nysa Kłodzka	Międzylesie	1952 - 2010	0,14	0,68	11,4	
17	Nysa Kłodzka	Bystrzyca Kłodz.	1951 - 2010	0,54	4,05	87,9	
18	Nysa Kłodzka	Kłodzko	1951 - 2010	3,35	12,8	193	
19	Nysa Kłodzka	Bardo	1951 - 2010	4,34	19,3	291	
20	Nysa Kłodzka	Nysa	1951 - 2010	5,99	29,6	174	
21	Nysa Kłodzka	Kopice	1951 - 2010	8,79	30,8	201	przerwy 1971-1985, 2005-2007
22	Nysa Kłodzka	Skorogoszcz	1951 - 2010	9,41	37,2	221	
23	Wilczka (Wilczy Potok)	Wilkanów (Wilczy Potok)	1951 - 2009	0,22	0,88	14,03	
24	Bystrzyca	Bystrzyca Kłodz.	1951 - 2009	0,32	0,99	9,19	

L.p.	Rzeka	Stacja wodowskazowa	Okres	SNQ m³/s	SSQ m³/s	SWQ m³/s	Uwagi
25	Bystrzyca Dusz.	Szalejów Dln.	1951 - 2010	0,71	2,17	37,5	
26	Ścinawa Niemodli.	Niemodlin	1971 - 2010	0,16	1,00	10,9	
27	Biała Łądecka	Łądek Zdrój	1971 - 2010	0,83	3,51	52,0	
28	Biała Łądecka	Żelazno	1961 - 2010	1,36	5,00	71,4	
29	Ścinawka	Tłumaczów	1951 - 2010	0,51	2,36	45,7	
30	Ścinawka	Gorzuchów	1951 - 2010	1,19	4,31	62,9	
31	Biała Glucholaska	Glucholazy	1953 - 2010	1,43	5,00	72,6	
32	Biała Glucholaska	Biała Nyska					
33	Stobrawa	Karłowice	2000 - 2010	0,66	3,20	18,9	
34	Bogacica	Domaradz	1959 - 2010	0,19	1,02	5,86	
35	Budkowiczanka	Krzywa Góra	1956 - 2010	0,29	1,08	7,56	
36	Olawa	Zborowice					
37	Olawa	Olawa	1951 - 2010	1,10	3,51	22,6	
38	Ślęza	Białobrzegie	1954 - 2010	0,11	0,52	8,38	
39	Ślęza	Borów	1975 - 2010	0,28	1,44	15,5	
40	Ślęza	Ślęza (Żerniki)	1956 - 2010	0,46	2,75	22,3	przerwy 66-70, 96, 2001-03
41	Bystrzyca	Jugowice	1951 - 2010	0,28	1,55	34,1	
42	Bystrzyca	Lubachów	1975 - 2010	0,03	1,73	21,0	Śred. dob odpływy
43	Bystrzyca	Krasków	1951 - 2010	0,70	4,52	61,8	
44	Bystrzyca	Mietków	1987 - 2010	0,54	4,87	32,6	
45	Bystrzyca	Jarnołtów	1961 - 2010	1,90	9,32	79,4	
46	Czarna Woda	Gniechowice	1952 - 1991	0,13	0,86	12,6	
47	Pelcznica	Świebodzice	1971 - 2008	0,48	1,19	16,5	przerwa 92 -99
48	Piława	Dzierżoniów					
49	Piława	Mościsko	1951 - 2010	0,29	1,65	25,9	
50	Strzegomka	Chwaliszów	2003 - 2010	0,05	0,66	23,5	
51	Strzegomka	Łażany	1951 - 2010	0,78	2,30	29,9	
52	Strzegomka	Bogdaszowice					
53	Widawa	Namysłów					
54	Widawa	Zbytowa	1966 - 2010	0,60	3,26	22,0	
55	Widawa	Krzyżanowice	1995 - 2010	1,04	6,12	37,3	
56	Kaczawa	Świerzawa	1961 - 2010	0,29	1,18	25,3	
57	Kaczawa	Rzymówka	1956 - 2010	0,65	2,34	43,9	
58	Kaczawa	Dunino	1957 - 2010	1,21	4,39	61,0	
59	Kaczawa	Piątnica	1984 - 2010	1,86	7,73	75,1	
60	Kaczawa	Prochowice					
61	Nysa Szalona	Jawor	1966 - 2010	0,26	1,72	36,7	
62	Nysa Szalona	Winnica	1979 - 2010 (od zbiornika)	0,27	1,80	19,27	
63	Czarna Woda	Bukowna	1973 - 2010	0,31	1,90	9,47	przerwa w latach 92-94
64	Czarna Woda	Rzeszotary					
65	Skora	Zagrodno					
66	Skora	Chojnów	1951 - 2010	0,51	1,36	28,79	
67	Barycz	Odolanów	1951 - 2010	0,14	1,02	7,82	
68	Barycz	Łąki	1971 - 2010	0,78	6,55	40,9	przerwa w latach 92-94
69	Barycz	Osetno	1951 - 2010	1,65	15,3	71,4	
70	Kuroch	Odolanów	1980 - 1991	0,05	0,51	5,83	
71	Polska Woda	Bogdaj	1974 - 1990	0,09	0,94	10,8	
72	Sąsiecznica	Kanclerzowice	1973 - 1991	0,29	2,01	11,6	
73	Orla	Korzeńsko	1961 - 2010	0,36	4,57	30,5	
74	Polski Rów	Rydzyna	1971 - 1991	0,10	1,10	6,93	

L.p.	Rzeka	Stacja wodowskazowa	Okres	SNQ m³/s	SSQ m³/s	SWQ m³/s	Uwagi
75	Bóbr	Bukówka	1951 - 2010	0,13	0,86	11,2	
76	Bóbr	Błażkowa	2005 - 2010	0,32	1,24	13,9	
77	Bóbr	Kamienna Góra	1972 - 2010	0,41	2,64	43,3	
78	Bóbr	Wojanów	1956 - 2010	0,96	5,92	84,0	
79	Bóbr	Jelenia Góra	1951 - 2010	2,94	14,4	155	
80	Bóbr	Pilchowice	1961 - 2010	2,43	15,5	106	Śred dob odpływy
81	Bóbr	Dąbrowa Bolesł.	1967 - 2010	5,51	20,1	132	
82	Bóbr	Szprotawa	1961 - 2010	8,08	26,0	149	przerwa w latach 87-98
83	Bóbr	Żagań	1951 - 2010	12,2	38,2	218	
84	Bóbr	Dobroszów Wlk.					
85	Bóbr	Nowogród Bobrzański					
86	Bóbr	Stary Raduszc					
87	Łomnica	Łomnica	1961 - 2010	0,54	2,18	26,7	
88	Jedlica	Kowary	1975 - 2010	0,09	0,37	6,00	
89	Kamienica	Barcinek	1971 - 2010	0,18	1,31	29,2	
90	Szprotawa	Szprotawa	1961 - 2010	0,28	3,14	17,4	
91	Czerna Wielka	Żagań	1951 - 2010	1,35	4,31	21,1	
92	Czerna Mała	Ilowa	1961 - 2010	0,25	1,16	8,26	przerwa w latach 92-95 , okres 61-70 dorobiony - tylko w OWr
93	Kamienna	Jakuszyce					
94	Kamienna	Piechowice	1951 - 2010	0,50	2,98	47,3	przerwa w latach 61- 65
95	Kamienna	Jelenia Góra	1966 - 2010	0,96	4,90	54,5	
96	Podgórna	Podgórzyn					
97	Sośniak	Sosnówka					
98	Kwisa	Mirsk	1974 - 2010	0,49	3,35	81,1	
99	Kwisa	Gryfów Śląski					
100	Kwisa	Leśna	1972 - 2010	0,45	4,60	47,3	Śred dob odpływy
101	Kwisa	Nowogrodziec	1961 - 2010	1,98	7,21	84,6	
102	Kwisa	Łozy	1971 - 2010	3,49	10,3	81,0	
103	Czarny Potok	Mirsk	1971 - 2010	0,14	0,88	20,7	
104	Nysa Łużycka	Porajów	1966 - 2010	1,29	6,10	69,0	
105	Nysa Łużycka	Sieniawka	1966 -2010	2,02	9,05	131	
106	Nysa Łużycka	Zgorzelec	1956 - 2010	3,54	16,1	180	
107	Nysa Łużycka	Przewóz	1963 - 2010	5,45	19,5	173	okres 63-74 dorobiony - tylko w OWr
108	Nysa Łużycka	Gubin	1956 - 2010	9,77	29,5	174	
109	Witka	Ostróżno	1966 - 2010	0,67	4,26	72,6	
110	Witka	Ręczyn	1971 - 2009	0,33	3,52	98,9	
111	Miedzianka	Turoszów	1975 - 2010	0,15	0,85	13,8	przerwy 92-95, 97,98
112	Czerwona Woda	Zgorzelec	1961 - 2010	0,17	0,79	13,3	przerwa 71
113	Skroda	Przewoźniki	1966 - 2010	0,16	1,04	11,4	
114	Lubsza	Plešno	1961 - 2010	0,56	3,64	23,1	przerwy 72, 92-94
115	Klikawa (Szybka)	Kudowa - Zakrze	1979 - 2010	0,06	0,68	6,49	

Załącznik 4

Tabela 10 Zestawienie wartości przepływów o określonym prawdopodobieństwie przewyższenia Q_{pp} [m^3/s] oraz odpowiadające im stany wody H [cm] opracowane przez zespół poznański

L.p.	Rzeka	Stacja wodowskazowa	Okres WQ	Rozkład *	Parametry rozkładu	Przepływ maksymalny o zadanym prawdopodobieństwie przewyższenia Qmaxp% [m³/s] oraz odpowiadający stan wody H [cm]						Uwaga
						Q10%	Hq10%	Q1%	Hq1%	Q0,2%	Hq0,2%	
DORZECZE WISŁY												
1	Wisła	Toruń	1951-2010	LN	mi = 8,1377; sigma = 0,3640; epsilon = 0,0000	5455	791	7979	930	9754	1001	
2	Wisła	Fordon				5389	744	7925	870	9684	948	
3	Wisła	Chełmno				5336	770	7882	910	9628	986	weryfikacja KNP w strefie Q 1%, 02% na podstawie modelowania
4	Wisła	Grudziądz				5290	768	7844	915	9580	998	
DORZECZE ODRY												
1	Cybina	Antoninek	1961-2010	G	alfa = 1,1800; mi = 1,6391	3,55	246	5,54	287	6,90	313	KNP zweryfikowana na podstawie modelowania
2	Drawa	Drawsko Pomorskie	1951-2010	P III	beta = 0,8224; lambda = 8,0044; epsilon = 1,1024	15,4	145	20,6	176	23,7	191	KNP zweryfikowana na podstawie modelowania
3	Drawa	Drawno	1971-2010	P III	beta = 0,6125; lambda = 5,8523; epsilon = 6,3643	21,2	200	27,4	216	31,3	225	
4	Drawa	Drawiny	1956-2010	P III	beta = 0,2228; lambda = 3,0570; epsilon = 18,5629	42,8	149	56,7	186	65,7	210	
5	Główna	Wierzenica	1971-2010	P III	beta = 0,5880; lambda = 1,6909; epsilon = 0,2762	6,10	168	10,6	191	13,6	212	
6	Grabia	Łask	1956-2010	P III	beta = 0,1443; lambda = 2,6352; epsilon = 1,0689	34,4	209	55,0	235	68,4	249	
7	Grabia	Grabno	1951-2010	P III	beta = 0.0966; lambda =	55,5	354	87,6	392	108	415	

Projekt: Informatyczny system osłony kraju przed nadzwyczajnymi zagrożeniami

Nr Projektu: POIG.07.01.00-00-025/09

Dokument: Raport Końcowy

L.p.	Rzeka	Stacja wodowskazowa	Okres WQ	Rozkład *	Parametry rozkładu	Przepływ maksymalny o zadanym prawdopodobieństwie przewyższenia $Q_{maxp\%}$ [m ³ /s] oraz odpowiadający stan wody H [cm]						Uwaga
						$Q_{10\%}$	$H_{Q10\%}$	$Q_{1\%}$	$H_{Q1\%}$	$Q_{0,2\%}$	$H_{Q0,2\%}$	
					3,0292; epsilon = 0,0000							
8	Gwda	Gwda Wielka	1951-2010	P III	beta = 0,8032; lambda = 2,3028; epsilon = 3,0174	8,41	133	12,0	160	14,3	176	KNP zweryfikowana na podstawie modelowania
9	Gwda	Ptusza	1951-2010	P III	beta = 0,4231; lambda = 8,4329; epsilon = 5,5755	34,7	219	44,8	234	51,0	244	Brak krzywej natężenia przepływu. Przepływy wg danych z elektrowni wodnej.
10	Gwda	Piła	1951-2010	P III	beta = 0,0905; lambda = 2,1984; epsilon = 30,5669	76,8	255	108	287	128	311	
11	Ina	Stargard Szczeciński	1975-2010	P III	beta = 0,2591; lambda = 4,8724; epsilon = 9,3742	39,6	275	53,4	303	62,1	334	KNP zweryfikowana na podstawie modelowania w strefie Q1%, Q0,2%
12	Ina	Goleniów	1951-2010	P III	beta = 0,1116; lambda = 2,6401; epsilon = 11,3091	54,5	355	81,1	397	98,4	415	KNP zweryfikowana na podstawie modelowania w strefie Q1%, Q0,2%
13	Kanał Kościański	Kościan	1956-2010	P III	beta = 0,1671; lambda = 1,8567; epsilon = 3,6671	25,7	240	41,8	296	52,5	328	KNP zweryfikowana na podstawie modelowania w strefie Q1%, Q0,2%
14	Kanał Mosiński	Mosina	1956-2010	GEV	mi = 15,4545; sigma = 8,0270; ksi = 0,0011	33,5	230	52,5	306	65,5	380	KNP zweryfikowana na podstawie modelowania w strefie Q1%, Q0,2%

Projekt: Informatyczny system osłony kraju przed nadzwyczajnymi zagrożeniami

Nr Projektu: POIG.07.01.00-00-025/09

Dokument: Raport Końcowy

L.p.	Rzeka	Stacja wodowskazowa	Okres WQ	Rozkład *	Parametry rozkładu	Przepływ maksymalny o zadanym prawdopodobieństwie przewyższenia $Q_{maxp\%}$ [m ³ /s] oraz odpowiadający stan wody H [cm]						Uwaga
						$Q_{10\%}$	$H_{Q10\%}$	$Q_{1\%}$	$H_{Q1\%}$	$Q_{0,2\%}$	$H_{Q0,2\%}$	
15	Ner	Dąbie	1951-2010	P III	$\beta = 0,1178$; $\lambda = 4,6714$; $\epsilon = 0,6959$	64,9	350	94,9	411	113,7	431	KNP zweryfikowana na podstawie modelowania w strefie $Q_{1\%}$, $Q_{0,2\%}$
16	Nieciecz	Widawa	1951-2010	P III	$\beta = 0,1331$; $\lambda = 1,2882$; $\epsilon = 1,4231$	22,4	345	40,8	390	53,4	405	KNP zweryfikowana na podstawie modelowania w strefie $Q_{1\%}$, $Q_{0,2\%}$
17	Noteć	Pakość	1951-2010	P III	$\beta = 0,1093$; $\lambda = 1,0873$; $\epsilon = 3,4025$	25,8	372	47,3	434	62,2	455	KNP zweryfikowana na podstawie modelowania
18	Noteć	Ujście1	1971-2010	P III	$\beta = 0,0850$; $\lambda = 2,5214$; $\epsilon = 14,4675$	69,2	312	104	383	126	422	
19	Noteć	Krzyż	1951-2010	P III	$\beta = 0,0523$; $\lambda = 2,1026$; $\epsilon = 57,3832$	135	329	188	409	223	433	KNP zweryfikowana na podstawie modelowania
20	Noteć	Nowe Drezdenko	1951-2010	P III	$\beta = 0,0342$; $\lambda = 1,6411$; $\epsilon = 82,9707$	181	360	257	422	308	457	
21	Obra	Zbąszyń	1971-2010	LN	$m_i = 2,2673$; $\sigma = 0,4344$; $\epsilon = 0,8320$	17,7	240	27,4	292	34,5	316	KNP zweryfikowana na podstawie modelowania
22	Obra	Bledzew	1956-2010	LN	$m_i = 2,9927$; $\sigma = 0,3093$; $\epsilon = 0,0000$	29,6	302	40,9	339	48,6	358	
23	Odra	Ślubice	1951-2010	LN	$m_i = 6,5330$; $\sigma = 0,4928$; $\epsilon = 140,7058$	1430	518	2300	613	2980	662	KNP zweryfikowana na podstawie modelowania w strefie $Q_{1\%}$, $Q_{0,2\%}$
24	Odra	Gozdowice	1951-2010	G	$\alpha = 0,0028$; $m_i = 1027,1311$	1830	584	2670	659	3240	725	KNP

Projekt: Informatyczny system osłony kraju przed nadzwyczajnymi zagrożeniami

Nr Projektu: POIG.07.01.00-00-025/09

Dokument: Raport Końcowy

L.p.	Rzeka	Stacja wodowskazowa	Okres WQ	Rozkład *	Parametry rozkładu	Przepływ maksymalny o zadanym prawdopodobieństwie przewyższenia $Q_{maxp\%}$ [m ³ /s] oraz odpowiadający stan wody H [cm]						Uwaga
						$Q_{10\%}$	$H_{Q10\%}$	$Q_{1\%}$	$H_{Q1\%}$	$Q_{0,2\%}$	$H_{Q0,2\%}$	
												zweryfikowana na podstawie modelowania
25	Piława	Nadarzyce	1958-2010	P III	$\beta = 2,0947$; $\lambda = 2,8451$; $\epsilon = 2,4848$	4,92	82	6,37	95	7,31	101	KNP nie zweryfikowana w strefie $Q_{10\%}$
26	Piława	Zabrodzie	1956-2010	P III	$\beta = 0,4156$; $\lambda = 2,3741$; $\epsilon = 7,5888$	18,3	192	25,2	222	29,7	238	
27	Prosna	Gorzów Śląski	1961-2010	P III	$\beta = 0,1773$; $\lambda = 1,8343$; $\epsilon = 1,1395$	21,7	264	36,8	311	46,9	323	KNP zweryfikowana na podstawie modelowania w strefie $Q_{1\%}$, $Q_{0,2\%}$
28	Prosna	Mirków	1951-2010	P III	$\beta = 0,0802$; $\lambda = 2,7945$; $\epsilon = 1,9450$	64,7	421	102	461	127	479	KNP zweryfikowana na podstawie modelowania w strefie $Q_{1\%}$, $Q_{0,2\%}$
29	Prosna	Piwnice	1951-2010	P III	$\beta = 0,0300$; $\lambda = 1,4129$; $\epsilon = 16,2819$	116	297	199	345	256	365	KNP nie zweryfikowana w strefie $Q_{10\%}$;
30	Prosna	Bogusław	1951-2010	P III	$\beta = 0,0307$; $\lambda = 2,2935$; $\epsilon = 11,0438$	152	435	245	505	306	525	KNP zweryfikowana na podstawie modelowania w strefie $Q_{1\%}$, $Q_{0,2\%}$
31	Swędrnia	Dębe	1951-1986	P III	$\beta = 0,1462$; $\lambda = 2,4073$; $\epsilon = 0,2323$	30,9	260	50,7	278	63,7	288	
32	Warta	Działoszyn	1951-2010	GEV	$m_i = 74,7802$; $\sigma = 36,6610$; $k_{si} = 0,0503$	162	627	265	683	342	720	
33	Warta	Burzenin	1971-2010	P III	$\beta = 0,0221$; $\lambda = 2,1471$; $\epsilon = 19,1348$	205	352	331	408	415	434	
34	Warta	Sieradz	1951-2010	GEV	$m_i = 131,1648$; $\sigma =$	265	502	408	551	509	582	

L.p.	Rzeka	Stacja wodowskazowa	Okres WQ	Rozkład *	Parametry rozkładu	Przepływ maksymalny o zadanym prawdopodobieństwie przewyższenia $Q_{maxp\%}$ [m ³ /s] oraz odpowiadający stan wody H [cm]						Uwaga
						$Q_{10\%}$	$H_{Q10\%}$	$Q_{1\%}$	$H_{Q1\%}$	$Q_{0,2\%}$	$H_{Q0,2\%}$	
					58,7178; ksi = 0,0112							
35	Warta	Uniejów	1951-2010			231	310	402	387	504	421	
36	Warta	Ślask	1951-2010	P III	$\beta = 0,0174$; $\lambda = 2,9975$; $\epsilon = 36,3647$	341	546	518	598	632	633	KNP zweryfikowana na podstawie modelowania w strefie $Q_{1\%}$, $Q_{0,2\%}$
37	Warta	Nowa Wieś Podgórna	1951-2010	LN	$m_i = 5,5418$; $\sigma = 0,4832$; $\epsilon = 0,0000$	474	597	785	659	1025	712	KNP zweryfikowana na podstawie modelowania w strefie $Q_{1\%}$, $Q_{0,2\%}$
38	Warta	Śrem				485	543	813	588	1069	620	
39	Warta	Poznań M. Rocha	1951-2010	LN	$m_i = 5,5224$; $\sigma = 0,5286$; $\epsilon = 17,5225$	510	614	873	779	1163	863	KNP nie zweryfikowana w strefie $Q_{10\%}$;
40	Warta	Oborniki	1951-2010			519	656	883	828	1172	948	
41	Warta	Wronki	1951-2010	LN	$m_i = 5,7108$; $\sigma = 0,4825$; $\epsilon = 0,0000$	561	624	928	759	1212	832	
42	Warta	Skwierzyna	1951-2010	LN	$m_i = 5,7048$; $\sigma = 0,4764$; $\epsilon = 4,4211$	557	534	914	582	1188	605	KNP zweryfikowana na podstawie modelowania
43	Warta	Gorzów Wlkp.	1951-2010	LN	$m_i = 5,8375$; $\sigma = 0,4725$; $\epsilon = 84,0673$	712	531	1113	602	1420	660	KNP nie zweryfikowana w strefie $Q_{10\%}$;
44	Wełna	Pruśce	1951-2010	P III	$\beta = 0,1306$; $\lambda = 1,0940$; $\epsilon = 2,4044$	21,3	229	39,3	279	51,8	302	
45	Wełna	Kowanówko	1971-2010	P III	$\beta = 0,0376$; $\lambda = 0,8548$; $\epsilon = 5,7166$	60,1	250	119	362	161	410	KNP nie zweryfikowana w strefie $Q_{10\%}$;
46	Widawka	Szczerców	1971-2010	P III	$\beta = 0,0808$; $\lambda = 0,8357$; $\epsilon = 6,2962$	31,2	228	58,5	272	77,9	308	KNP zweryfikowana na podstawie modelowania

L.p.	Rzeka	Stacja wodowskazowa	Okres WQ	Rozkład *	Parametry rozkładu	Przepływ maksymalny o zadanym prawdopodobieństwie przewyższenia $Q_{maxp}\%$ [m ³ /s] oraz odpowiadający stan wody H [cm]						Uwaga
						$Q_{10\%}$	$H_{Q10\%}$	$Q_{1\%}$	$H_{Q1\%}$	$Q_{0,2\%}$	$H_{Q0,2\%}$	
47	Widawka	Rogoźno	1951-2010	P III	$\beta = 0,0581$; $\lambda = 2,0962$; $\epsilon = 4,6847$	74,0	398	122	458	154	477	KNP zweryfikowana na podstawie modelowania
48	Widawka	Podgórze	1951-2010	P III	$\beta = 0,0504$; $\lambda = 3,6127$; $\epsilon = 0,0000$	122	302	187	339	228	343	KNP zweryfikowana na podstawie modelowania
49	Grabowa	Krag	1954-2010	LN	$m_i = 1,4350$; $\sigma = 0,3762$; $\epsilon = 2,0380$	8,84	180	12,1	192	14,4	201	KNP nie zweryfikowana w strefie $Q_{10\%}$;
RZĘKI PRZYMORZA												
1	Grabowa	Krag	1954-2010	LN	$m_i = 1,4350$; $\sigma = 0,3762$; $\epsilon = 2,0380$	8,84	180	12,1	192	14,4	201	KNP nie zweryfikowana w strefie $Q_{10\%}$;
2	Grabowa	Grabowo	1976-2010	P III	$\beta = 0,6313$; $\lambda = 4,1402$; $\epsilon = 8,2217$	19,1	165	24,5	209	27,9	229	KNP nie zweryfikowana w strefie $Q_{10\%}$;
3	Łeba	Miłoszewo	1964-2010	G	$\alpha = 0,4158$; $m_i = 5,5209$	10,9	282	16,6	328	20,5	349	KNP zweryfikowana na podstawie modelowania
4	Łeba	Lębork	1968-2010	LN	$m_i = 1,7212$; $\sigma = 0,5702$; $\epsilon = 7,5924$	19,2	195	28,7	229	36,4	251	KNP zweryfikowana na podstawie modelowania
5	Łeba	Cecenowo	1971-2010	P III	$\beta = 0,2983$; $\lambda = 3,8126$; $\epsilon = 17,7144$	39,3	284	50,4	327	57,4	348	KNP zweryfikowana na podstawie modelowania
6	Łupawa	Smoldzino	1951-2010	LN	$m_i = 2,1737$; $\sigma = 0,5121$; $\epsilon = 7,0220$	24,0	106	36,0	139	45,4	164	
7	Paręta	Białogard	1961-2010	LN	$m_i = 3,6866$; $\sigma = 0,2990$; $\epsilon = 0,0000$	58,5	334	80,0	372	94,4	391	KNP zweryfikowana na podstawie modelowania w strefie $Q_{1\%}$,

Projekt: Informatyczny system osłony kraju przed nadzwyczajnymi zagrożeniami

Nr Projektu: POIG.07.01.00-00-025/09

Dokument: Raport Końcowy

L.p.	Rzeka	Stacja wodowskazowa	Okres WQ	Rozkład *	Parametry rozkładu	Przepływ maksymalny o zadanym prawdopodobieństwie przewyższenia $Q_{maxp\%}$ [m ³ /s] oraz odpowiadający stan wody H [cm]						Uwaga
						$Q_{10\%}$	$H_{Q10\%}$	$Q_{1\%}$	$H_{Q1\%}$	$Q_{0,2\%}$	$H_{Q0,2\%}$	
												Q0,2%
8	Parsęta	Bardy	1951-2010	P III	$\beta = 0,1716$; $\lambda = 13,8637$; $\epsilon = 0,0000$	110	435	140	460	157	467	
9	Rega	Golniewo Dolne	1974-2010	LN	$m_i = 1,7147$; $\sigma = 0,4106$; $\epsilon = 0,0256$	9,43	407	14,5	441	18,1	460	KNP zweryfikowana na podstawie modelowania
10	Rega	Łobez	1956-2010	LN	$m_i = 2,4585$; $\sigma = 0,3077$; $\epsilon = 0,3819$	17,7	175	24,3	202	28,7	215	KNP nie zweryfikowana
11	Rega	Resko	1961-2010	LN	$m_i = 2,9876$; $\sigma = 0,2802$; $\epsilon = 0,0000$	28,4	437	38,1	453	44,4	460	
12	Rega	Trzebiatów	1951-2010	LN	$m_i = 3,9611$; $\sigma = 0,2557$; $\epsilon = 0,0000$	72,9	421	95,2	462	110	473	KNP zweryfikowana na podstawie modelowania w strefie Q1%, Q0,2%
13	Skotawa	Skarszów Dolny	1963-2010	LN	$m_i = 0,9800$; $\sigma = 0,5685$; $\epsilon = 2,6623$	8,18	250	12,7	264	16,3	273	KNP zweryfikowana na podstawie modelowania
14	Słupia	Słupsk	1961-2010	LN	$m_i = 2,4504$; $\sigma = 0,4945$; $\epsilon = 19,4029$	41,3	245	56,0	292	67,5	323	
15	Słupia	Charnowo	1976-2010	GEV	$m_i = 32,3316$; $\sigma = 4,8344$; $\kappa = 0,0614$	44,0	349	58,0	391	68,9	408	
16	Wieprza	Korzybie	1961-2010	LN	$m_i = 2,0797$; $\sigma = 0,4550$; $\epsilon = 9,9988$	24,3	154	33,1	193	39,6	211	KNP nie zweryfikowana
17	Wieprza	Stary Kraków	1961-2010	P III	$\beta = 0,1597$; $\lambda = 3,5861$; $\epsilon = 20,7168$	59,1	442	79,5	504	92,5	536	KNP nie zweryfikowana

Tabela 11 Zestawienie wartości przepływów o określonym prawdopodobieństwie przewyższenia Q_{pp} [m^3/s] oraz odpowiadające im stany wody H [cm] opracowane przez zespół krakowski

L.p.	Rzeka	Stacja wodowskazowa	Okres WQ	Rozkład*	Parametry rozkładu	Przepływ maksymalny o zadanym prawdopodobieństwie przewyższenia $Q_{maxp\%}$ [m^3/s] oraz odpowiadający stan wody H [cm]						Uwaga
						$Q_{10\%}$	$H_{Q10\%}$	$Q_{1\%}$	$H_{Q1\%}$	$Q_{0.2\%}$	$H_{Q0.2\%}$	
1	Wisła	Skoczów	1956-2010	P III	$\beta = 0,0078$; $\lambda = 0,8738$; $\epsilon = 32,9802$	300	343	587	452	790	504	
2	Wisła	Goczałkowice	1956-2010	P III	$\beta = 0,0093$; $\lambda = 0,9767$; $\epsilon = 18,0891$	262	579	509	662	682	705	
3	Wisła	Jawiszowice	1956-2010	P III	$\beta = 0,0079$; $\lambda = 0,9820$; $\epsilon = 28,9826$	316	745	606	821	809	852	
4	Wisła	Nowy Bieruń	1956-2010	P III	$\beta = 0,0077$; $\lambda = 1,0688$; $\epsilon = 49,3665$	363	493	666	567	877	603	
5	Brennica	Górki Wielkie	1956-2010	P III	$\beta = 0,0204$; $\lambda = 0,8862$; $\epsilon = 5,6097$	108	287	218	344	295	376	
6	Ilownica	Czechowice-Dziedzice	1956-2010	LN	$m_i = 4,0778$; $\sigma = 0,6991$; $\epsilon = 3,5344$	148	567	304	630	445	-	$Q_{max0.2\%}$ poza wałami, korona niższego wału $H=632cm$
7	Biała	Mikuszowice	1956-2010	P III	$\beta = 0,0514$; $\lambda = 0,8775$; $\epsilon = 1,1993$	41,8	222	85,3	262	116	283	
8	Biała	Czechowice-Bestwina	1972-2010	P III	$\beta = 0,0114$; $\lambda = 0,6868$; $\epsilon = 13,3920$	166	334	351	443	485	502	
9	Pszczynka	Pszczyna	1959-2010	LN	$m_i = 2,5545$; $\sigma = 0,5054$; $\epsilon = 0,0000$	24,6	396	41,7	427	55,1	443	
10	Gostynia	Bojszowy	1957-2010	LN	$m_i = 2,6483$; σ	39,3	358	81,1	432	120	-	$Q_{max0.2\%}$ poza wałami; korona

L.p.	Rzeka	Stacja wodowskazowa	Okres WQ	Rozkład*	Parametry rozkładu	Przepływ maksymalny o zadanim prawdopodobieństwie przewyższenia $Q_{maxp\%}$ [m ³ /s] oraz odpowiadający stan wody H [cm]						Uwaga
						Q _{10%}	H _{Q10%}	Q _{1%}	H _{Q1%}	Q _{0,2%}	H _{Q0,2%}	
					= 0,7348; epsilon = 3,0610							niższego wału H=444cm
11	Przemsza	Łagisza	1971-2010	LN	mi = 2,3499; sigma = 0,6407; epsilon = 0,0000	23,8	287	46,5	358	66,3	409	od 2005 roku wodowskaz Łagisza znajduje się w zasięgu oddziaływania nowego zbiornika Kuźnica Warężyńska
12	Przemsza	Radocha	1951-2010	P III	beta = 0,1018; lambda = 1,6450; epsilon = 5,0918	38,0	167	63,6	208	80,9	232	39 m poniżej przekroju wodowskazowego znajduje się próg o wysokości 185 cm.
13	Przemsza	Jeleń	1951-2010	GEV	mi = 42,7319; sigma = 11,0309; ksi = 0,1178	71,2	333	110	397	144	445	
14	Brynica	Namiarki	1957-2010	P III	beta = 0,2104; lambda = 0,7922; epsilon = 0,5996	9,78	300	20,1	362	27,5	394	
15	Brynica	Czeladź	1957-2010	LN	mi = 1,3231; sigma = 0,8166; epsilon = 2,3174	13,0	246	27,4	299	41,7	343	
16	Brynica	Szabelnia	1951-2010	LN	mi = 2,9762; sigma = 0,4261; epsilon = 0,0000	33,9	111	52,9	146	66,9	171	Brynica uchodzi do Przemszy przez próg - następuje zerwanie ciągłości zw. wody
17	Biała Przemsza	Niwka	1951-2010	P III	beta = 0,0931; lambda = 1,2005; epsilon = 6,4190	34,8	282	60,7	351	78,5	389	
18	Wisła	Pustynia	1961-2010	P III	beta = 0,0063; lambda = 1,3075; epsilon = 78,8026	529	568	923	749	1190	-	KNP do korony wału.
19	Wisła	Dwory/Gromiec	1951-2002	P III	beta = 0,0024; lambda = 0,8604; epsilon = 139,9159	1010	1,1	1940	-	2600	-	Gromiec - zlikwidowany w 2004, Dwory - zlikwid. 1980. W nawiasach podano rzędne dla stacji Dwory/Gromiec według krzywej: Dwory z 1978-11-01 / Gromiec z 2002-10-20. Z uwagi na niewielką odległość między stacjami utworzono jedną serię

L.p.	Rzeka	Stacja wodowskazowa	Okres WQ	Rozkład*	Parametry rozkładu	Przepływ maksymalny o zadanym prawdopodobieństwie przewyższenia $Q_{maxp\%}$ [m ³ /s] oraz odpowiadający stan wody H [cm]						Uwaga
						Q _{10%}	H _{Q10%}	Q _{1%}	H _{Q1%}	Q _{0,2%}	H _{Q0,2%}	
												danych przepływów maksymalnych rocznych.
20	Wisła	Smolice	1951-2010	P III	beta = 0,0028; lambda = 1,4886; epsilon = 182,1980	1280	734	2180	915	2790	-	
21	Wisła	Czernichów - Prom	interpolacja	interpolacja	interpolacja	1300	985	2250	1137	2890	1228	
22	Wisła	Tyniec	interpolacja	interpolacja	interpolacja	1340	701	2370	896	3070	-	Stacja wodowskazowa zlikwidowana w roku 1990..
23	Wisła	Kraków - Bielany	interpolacja	interpolacja	interpolacja	1350	707	2400	971	3110	-	
24	Wisła	Pleszów	interpolacja	interpolacja	interpolacja	1440	872	2670	-	3530	-	Stacja wodowskazowa zlikwidowana w roku 1990..
25	Wisła	Sierosławice	1951-2010	P III	beta = 0,0018; lambda = 0,8848; epsilon = 269,8379	1460	844	2730	1023	3630	-	KNP do korony wału.
26	Wisła	Popędzyna	1967-2010	LN	mi = 6,1891; sigma = 0,8450; epsilon = 226,0436	1670	883	3710	-	5770	-	KNP do korony wału.
27	Wisła	Jagodniki	1953-2010	LN	mi = 6,5150; sigma = 0,7489; epsilon = 214,7018	1980	801	4070	1012	6040	-	KNP do korony wału.
28	Wisła	Karsy	1960-2010	P III	beta = 0,0012; lambda = 1,7570; epsilon = 380,6881	3420	873	5710	-	7240	-	KNP do korony wału.
29	Wisła	Szczucin	1951-2010	P III	beta = 0,0010; lambda = 1,5147; epsilon = 431,0207	3550	856	6080	-	7790	-	KNP do korony wału.
30	Wisła	Koło	interpolacja	interpolacja	interpolacja	4060	691	7040	-	9070	-	KNP do korony wału.
31	Wisła	Sandomierz	1951-2010	P III	beta = 0,0008; lambda = 1,3042; epsilon = 654,4340	4140	783	7180	-	9270	-	KNP do korony wału.
32	Wisła	Zawichost	1951-2010	P III	beta = 0,0010; lambda = 1,9671; epsilon = 980,6381	4750	849	7440	-	9220		KNP do korony wału.

L.p.	Rzeka	Stacja wodowskazowa	Okres WQ	Rozkład*	Parametry rozkładu	Przepływ maksymalny o zadanim prawdopodobieństwie przewyższenia $Q_{maxp\%}$ [m ³ /s] oraz odpowiadający stan wody H [cm]						Uwaga
						Q _{10%}	H _{Q10%}	Q _{1%}	H _{Q1%}	Q _{0,2%}	H _{Q0,2%}	
33	Skawinka	Radziszów	1973-2010	P III	beta = 0,0121; lambda = 1,0140; epsilon = 10,3830	203	593	394		527		KNP do korony wału.
34	Rudawa	Balice	1971-2010	P III	beta = 0,2848; lambda = 4,7299; epsilon = 0,0000	26,8	438	39,3	480	47,1	503	
35	Wilga	Zbydniowice	1981-2010	P III	beta = 0,0644; lambda = 0,8957; epsilon = 1,1793	34,1	430	68,9	-	93,5	-	KNP do korony wału.
36	Prądnik	Ojców	1970 - 2010	LN	mi = -0,1064; sigma = 1,5167; epsilon = 0,3354	6,62	228	31,0	-	71,1	-	KNP do korony wału.
37	Prądnik	Kraków - Olsza	empiryczna	wzór empir Punzeta - formuła równinna	wzór empir Punzeta - formuła równinna	50,5	332	94,1	-	122	-	KNP do korony wału.
38	Dłubnia	Zesławice	empiryczna	wzór empiryczny Punzeta wyżynny	wzór empiryczny Punzeta wyżynny	84,8	453	155	524	199	-	KNP do korony wału.
39	Szreniawa	Biskupice	1971-2010	P III	beta = 0,0735; lambda = 0,9420; epsilon = 3,0082	32,9	491	63,8	-	85,5	-	Szreniawa pod wpływem cofki od Wisły prawie po wodowskaz Biskupice
40	Uszwica	Borzęcin	1967-2010	P III	beta = 0,0196; lambda = 1,8174; epsilon = 8,9312	194	571	330	-	422	-	
41	Nidzica	Dobiesławice	empir- równ. regresji	równanie regresji	równanie regresji	73,7	536	132	558	172	573	Nidzica pod wpływem cofki od Wisły prawie po wodowskaz Dobiesławice
42	Breń	Wampierzów	empir- równ. regresji	równanie regresji	równanie regresji	91,1	408	163	507	212	547	
43	Koprzywianka	Koprzywnica	1951-2010	P III	beta = 0,0522; lambda = 1,6809; epsilon = 1,9879	67,2	500	117	544	151	571	
44	Łęg	Grębów	ekstrapolacja	ekstrapolacja	ekstrapolacja	141	-	273	-	366	-	Brak KNP do 2010 r.; dostępne stany wody;
45	Sola	Cięcina	1957 - 2010	LN	mi = 4,5463; sigma = 0,8834;	323	348	766	481	1230	-	brak KNP w strefie stanów obejmujących Q1% oraz Q0,2%

L.p.	Rzeka	Stacja wodowskazowa	Okres WQ	Rozkład*	Parametry rozkładu	Przepływ maksymalny o zadanim prawdopodobieństwie przewyższenia $Q_{maxp\%}$ [m ³ /s] oraz odpowiadający stan wody H [cm]						Uwaga
						Q _{10%}	H _{Q10%}	Q _{1%}	H _{Q1%}	Q _{0,2%}	H _{Q0,2%}	
					epsilon = 30,4107							
46	Soła	Żywiec	1955-2010	P III	beta = 0,0037; lambda = 0,9883; epsilon = 92,5444	712	397	1330	-	1770	-	brak KNP w strefie stanów obejmujących Q1% oraz Q0,2%
47	Soła	Czaniec-Kobiernice	ekstrapolacja	ekstrapolacja	ekstrapolacja	520	-	894	-	1150	-	Brak KNP do 2010 r.; dostępne stany wody;
48	Soła	Oświęcim	1969-2010	P III	beta = 0,0061; lambda = 1,5217; epsilon = 66,7561	587	621	1010	732	1290	788	
49	Żylica	Łodygowice	1972-2010	P III	beta = 0,0660; lambda = 0,9116; epsilon = 3,4579	36,0	568	70,2	639	94,2	-	brak KNP w strefie stanów obejmujących Q0,2%
50	Łękawka	Łękawica	1967 - 1997	P III	beta = 0,0232; lambda = 0,6569; epsilon = 7,8453	79,8	373,00	170	460,00	235	-	brak KNP w strefie stanów obejmujących Q0,2%
51	Kocierzanka	Łękawica	1967 - 2010	P III	beta = 0,0529; lambda = 0,6838; epsilon = 3,5179	36,1	220	76,0	-	105	-	brak KNP w strefie stanów obejmujących Q1% oraz Q0,2%
52	Skawa	Osielec	1970-2010	P III	beta = 0,0093; lambda = 0,8921; epsilon = 19,3884	246	322	487	-	656	-	brak KNP w strefie stanów obejmujących Q1% oraz Q0,2%
53	Skawa	Sucha Beskidzka	1958-2010	P III	beta = 0,0078; lambda = 1,1219; epsilon = 31,9947	355	361	659	482	870	-	brak KNP w strefie stanów obejmujących Q0,2%
54	Skawa	Wadowice	1958-2009	P III	beta = 0,0056; lambda = 1,3030; epsilon = 53,4858	554	500	991	635	1290	-	brak KNP w strefie stanów obejmujących Q0,2%
55	Skawa	Zator	1958-2009 (bez 2006)	LN	mi = 5,3798; sigma = 0,7627; epsilon = 26,6162	603	516	1310	-	1980	-	brak KNP w strefie stanów obejmujących Q1% oraz Q0,2%
56	Stryszawka	Sucha Beskidzka	1962-2008	P III	beta = 0,0173; lambda = 0,7810; epsilon = 8,5349	119	353	244	-	333	-	brak KNP w strefie stanów obejmujących Q1% oraz Q0,2%
57	Wieprzówka	Rudze	1958-2010 (bez 1962)	P III	beta = 0,0273; lambda = 1,7198;	132	415	229	-	294	-	brak KNP w strefie stanów obejmujących Q1% oraz Q0,2%

L.p.	Rzeka	Stacja wodowskazowa	Okres WQ	Rozkład*	Parametry rozkładu	Przepływ maksymalny o zadanym prawdopodobieństwie przewyższenia $Q_{maxp\%}$ [m ³ /s] oraz odpowiadający stan wody H [cm]						Uwaga
						Q _{10%}	H _{Q10%}	Q _{1%}	H _{Q1%}	Q _{0,2%}	H _{Q0,2%}	
					epsilon = 5,3544							
58	Raba	Rabka 2	1971-2010	P III	beta = 0,0485; lambda = 1,2835; epsilon = 4,8476	62,2	209	113	-	147	-	brak KNP w strefie stanów obejmujących Q1% oraz Q0,2%
59	Raba	Mszana Dolna	1960-2010	P III	beta = 0,0316; lambda = 1,5868; epsilon = 7,5217	111	326	192	405	247	434	
60	Raba	Kasinka Mała	1968-2010	P III	beta = 0,0084; lambda = 0,9003; epsilon = 26,7839	281	429	550	538	739	-	brak KNP w strefie stanów obejmujących Q0,2%
61	Raba	Stróża	1962-2001	GEV	mi = 139,3832; sigma = 75,1841; ksi = 0,2307	361	360	755	503	1180	-	brak KNP w strefie stanów obejmujących Q0,2%
62	Raba	Dobczyce	ekstrapolacja	ekstrapolacja	ekstrapolacja	564	698	1160	861	1590	897	
63	Raba	Gdów	1952-1985	P III	beta = 0,0032; lambda = 0,8108; epsilon = 29,9820	640	573	1320	-	1800	-	
64	Raba	Proszówki	1951-1985	P III	beta = 0,0038; lambda = 1,5583; epsilon = 56,2811	893	998	1560	-	2010	-	brak KNP w strefie stanów obejmujących Q1% oraz Q0,2%
65	Mszanka	Mszana Dolna	empiryczna	wzór empiryczny Punzeta - górski	wzór empiryczny Punzeta - górski	165	276	336	381	450	436	
66	Stradomka	Stradomka	1961-1985, 1987-2010	P III	beta = 0,0078; lambda = 0,8649; epsilon = 13,8917	279	602	566	750	768	811	
67	Dunajec	Nowy Targ - Kowaniec	1955-2010	P III	beta = 0,0068; lambda = 1,3598; epsilon = 52,1710	478	461	842	541	1090	581	
68	Dunajec	Sromowce Wyżne	interpolacja	interpolacja	interpolacja	760	445	1370	545	1790	597	
69	Dunajec	Krościenko	1960-1993	P III	beta = 0,0033; lambda = 1,1095; epsilon = 121,0303	885	467	1610	599	2110	-	brak KNP w strefie stanów obejmujących Q0,2%
70	Dunajec	Gółkowice	1951-1993	P III	beta = 0,0026; lambda = 1,1041;	1080	356	1980	481	2610		

L.p.	Rzeka	Stacja wodowskazowa	Okres WQ	Rozkład*	Parametry rozkładu	Przepływ maksymalny o zadanim prawdopodobieństwie przewyższenia $Q_{maxp\%}$ [m ³ /s] oraz odpowiadający stan wody H [cm]						Uwaga
						Q _{10%}	H _{Q10%}	Q _{1%}	H _{Q1%}	Q _{0,2%}	H _{Q0,2%}	
					epsilon = 122,1447							
71	Dunajec	Nowy Sącz	1951-1993	P III	beta = 0,0012; lambda = 0,9254; epsilon = 185,8883	1940	442	3760	615	5040	-	brak KNP w strefie stanów obejmujących Q _{0,2%}
72	Dunajec	Czchów	1954-2010	P III	beta = 0,0014; lambda = 1,1299; epsilon = 192,7634	1990	592	3670	750	4840	829	
73	Dunajec	Zgłobice	1958-2010	P III	beta = 0,0017; lambda = 1,3395; epsilon = 171,8107	1900	634	3400	797	4420	865	
74	Dunajec	Żabno	1958-2010	P III	beta = 0,0014; lambda = 1,3183; epsilon = 191,106	2200	898	3940	1118	5130	1225	
75	Czarny Dunajec	Koniówka	1968-2010	P III	beta = 0,0203; lambda = 1,1160; epsilon = 13,5271	136	292	253	328	333	353	
76	Czarny Dunajec	Nowy Targ	1970-2010	P III	beta = 0,0093; lambda = 1,1456; epsilon = 43,4581	319	460	575	564	753		
77	Biały Dunajec	Szaflary	1959-2010	LN	mi = 4,1478; sigma = 0,8038; epsilon = 6,2163	184	371	417	541	646	-	brak KNP w strefie stanów obejmujących Q _{0,2%}
78	Cicha Woda	Zakopane - Harenda	1964-2010	P III	beta = 0,0300; lambda = 1,0878; epsilon = 7,7605	89,5	300	168	362	222	399	
79	Poprad	Stary Sącz	1951-2010	P III	beta = 0,0061; lambda = 1,6306; epsilon = 62,9683	608	328	1030	426	1320	484	
80	Kamienica	Łabowa	1958-2010	LN	mi = 3,1894; sigma = 1,0795; epsilon = 4,6076	101	291	304	438	547	-	brak KNP w strefie stanów obejmujących Q _{0,2%}
81	Kamienica	Nowy Sącz	1965-2010	P III	beta = 0,0075; lambda = 0,9123; epsilon = 26,1843	312	392	611	-	822	-	brak KNP w strefie stanów obejmujących Q _{1%} oraz Q _{0,2%}
82	Łubinka	Nowy Sącz	empiryczna	empirycznie wzór	empirycznie wzór	76,9	418	154	493	205	-	brak KNP w strefie stanów

L.p.	Rzeka	Stacja wodowskazowa	Okres WQ	Rozkład*	Parametry rozkładu	Przepływ maksymalny o zadanym prawdopodobieństwie przewyższenia $Q_{maxp\%}$ [m ³ /s] oraz odpowiadający stan wody H [cm]						Uwaga
						$Q_{10\%}$	$H_{Q10\%}$	$Q_{1\%}$	$H_{Q1\%}$	$Q_{0,2\%}$	$H_{Q0,2\%}$	
				Punzeta dla zlewni górskich	Punzeta dla zlewni górskich							obejmujących $Q_{0,2\%}$
83	Łososina	Jakubkowice	1961-2010	P III	$\beta = 0,0068$; $\lambda = 0,8653$; $\epsilon = 35,9784$	337	515	662	647	892	698,0	
84	Biała Tarnowska	Grybów	1964-2010	LN	$m_i = 4,2421$; $\sigma = 0,7877$; $\epsilon = 10,8690$	202	474	446	588	682	-	brak KNP w strefie stanów obejmujących $Q_{0,2\%}$
85	Biała Tarnowska	Ciężkowice	1980 - 2010	P III	$\beta = 0,0090$; $\lambda = 1,7726$; $\epsilon = 11,3812$	404	639	699	716	896	756	
86	Biała Tarnowska	Koszyce Wielkie	1954-2010	P III	$\beta = 0,0038$; $\lambda = 0,9697$; $\epsilon = 31,1813$	626	712	1230	-	1650	-	brak KNP w strefie stanów obejmujących $Q_{1\%}$ oraz $Q_{0,2\%}$
87	Wisłoka	Nowy Żmigród	ekstrapolacja	ekstrapolacja	ekstrapolacja	236	332	400	-	509	-	brak KNP w strefie stanów obejmujących $Q_{1\%}$ oraz $Q_{0,2\%}$
88	Wisłoka	Żółków	1959-2010	P III	$\beta = 0,0114$; $\lambda = 1,7629$; $\epsilon = 26,9687$	337	493	571	-	727	-	brak KNP w strefie stanów obejmujących $Q_{1\%}$ oraz $Q_{0,2\%}$
89	Wisłoka	Krajowice	1951-2010	P III	$\beta = 0,0046$; $\lambda = 1,7231$; $\epsilon = 133,5423$	888	650	1460	795	1850	-	brak KNP w strefie stanów obejmujących $Q_{0,2\%}$
90	Wisłoka	Łabuzie	1957-2010	LN	$m_i = 5,5178$; $\sigma = 0,7631$; $\epsilon = 117,6862$	780	723	1590	-	2360	-	brak KNP w strefie stanów obejmujących $Q_{1\%}$ oraz $Q_{0,2\%}$
91	Wisłoka	Pustków	interpolacja	interpolacja	interpolacja	881	860	1570	-	2090	-	brak KNP w strefie stanów obejmujących $Q_{1\%}$ oraz $Q_{0,2\%}$
92	Wisłoka	Mielec 2	1951-2010	P III	$\beta = 0,0037$; $\lambda = 1,2526$; $\epsilon = 187,6696$	915	814	1560	921	2010	-	brak KNP w strefie stanów obejmujących $Q_{0,2\%}$
93	Ropa	Ropa	1960-1993	P III	$\beta = 0,0117$; $\lambda = 0,7158$; $\epsilon = 22,3866$	175	431	356	570	487	641	
94	Ropa	Kłęczany	1951-1993	P III	$\beta = 0,0094$; $\lambda = 0,8407$;	244	436	478	633	644	-	brak KNP w strefie stanów obejmujących $Q_{0,2\%}$

L.p.	Rzeka	Stacja wodowskazowa	Okres WQ	Rozkład*	Parametry rozkładu	Przepływ maksymalny o zadanim prawdopodobieństwie przewyższenia $Q_{maxp\%}$ [m ³ /s] oraz odpowiadający stan wody H [cm]						Uwaga
						Q _{10%}	H _{Q10%}	Q _{1%}	H _{Q1%}	Q _{0,2%}	H _{Q0,2%}	
					epsilon = 29,7821							
95	Ropa	Topoliny	1960-1993	P III	beta = 0,0062; lambda = 0,8932; epsilon = 57,4655	399	524	761	664	1020	-	brak KNP w strefie stanów obejmujących Q _{0,2%}
96	Jasiołka	Zboiska	1973-2010	P III	beta = 0,0159; lambda = 0,8306; epsilon = 25,0849	151	412	289	487	387	529	
97	Jasiołka	Jedlicze	interpolacja	interpolacja	interpolacja	187	371	339	-	445	-	brak KNP w strefie stanów obejmujących Q _{1%} oraz Q _{0,2%}
98	Jasiołka	Jasło	1960-2010	P III	beta = 0,0153; lambda = 1,6876; epsilon = 33,0525	257	556	429	-	544	-	brak KNP w strefie stanów obejmujących Q _{1%} oraz Q _{0,2%}
99	Grabnianka	Głowaczowa	empiryczna	empiryczny wzór Punzeta - formuła wyżynna	empiryczny wzór Punzeta - formuła wyżynna	54,0	466	94,4	573	120	603	
100	Wielopolka	Brzeźnica	1951-2010	P III	beta = 0,0177; lambda = 1,2330; epsilon = 10,1936	163	600	300	693	394	-	brak KNP w strefie stanów obejmujących Q _{0,2%}
101	San	Dwernik	1960-2010	P III	beta = 0,0199; lambda = 1,9150; epsilon = 54,1965	243	294	379	363	470	404	
102	San	Zatwarnica	1972-2010	P III	beta = 0,0194; lambda = 2,4781; epsilon = 43,3393	279	342	429	-	528	-	brak KNP w strefie stanów obejmujących Q _{1%} oraz Q _{0,2%}
103	San	Lesko	1969-2010	P III	beta = 0,0043; lambda = 0,9754; epsilon = 75,7545	598	371	1130	464	1500	-	brak KNP w strefie stanów obejmujących Q _{0,2%}
104	San	Olchowce	1969-2010	P III	beta = 0,0031; lambda = 0,8924; epsilon = 121,9268	810	462	1540	577	2050	621	
105	San	Dynów	1969-2010	LN	mi = 5,6420; sigma = 0,7267; epsilon = 105,4886	821	490	1630	699	2390	-	brak KNP w strefie stanów obejmujących Q _{0,2%}
106	San	Przemyśl	1969-2010	P III	beta = 0,0037; lambda = 1,4575;	970	705	1650	-	2110	-	brak KNP w strefie stanów obejmujących Q _{1%} oraz Q _{0,2%}

L.p.	Rzeka	Stacja wodowskazowa	Okres WQ	Rozkład*	Parametry rozkładu	Przepływ maksymalny o zadanim prawdopodobieństwie przewyższenia $Q_{maxp\%}$ [m ³ /s] oraz odpowiadający stan wody H [cm]						Uwaga
						Q _{10%}	H _{Q10%}	Q _{1%}	H _{Q1%}	Q _{0,2%}	H _{Q0,2%}	
					epsilon = 151,0059							
107	San	Sośnica	interpolacja	interpolacja	interpolacja	989	652	1690	858	2200	-	brak KNP w strefie stanów obejmujących Q _{0,2%}
108	San	Radymno	interpolacja	interpolacja	interpolacja	1010	749	1740	907	2310	-	brak KNP w strefie stanów obejmujących Q _{0,2%}
109	San	Jarosław	1969-2010	LN	mi = 6,2325; sigma = 0,5359; epsilon = 13,1293	1020	691	1780	849	2390	-	brak KNP w strefie stanów obejmujących Q _{0,2%}
110	San	Leżachów	1969-2010	P III	beta = 0,0036; lambda = 1,6911; epsilon = 189,8314	1150	711	1890	811	2390	-	brak KNP w strefie stanów obejmujących Q _{0,2%}
111	San	Rzuchów	1969-2010	P III	beta = 0,0041; lambda = 2,3180; epsilon = 225,5168	1300	820	2010	901	2470	-	brak KNP w strefie stanów obejmujących Q _{0,2%}
112	San	Nisko	1973-2010	LN	mi = 6,2943; sigma = 0,5677; epsilon = 178,1283	1300	591	2210	-	2950	-	brak KNP w strefie stanów obejmujących Q _{1%} oraz Q _{0,2%}
113	San	Radomyśl	1969-2010	LN	mi = 6,4286; sigma = 0,5269; epsilon = 137,2003	1350	758	2250	837	2960	-	brak KNP w strefie stanów obejmujących Q _{0,2%}
114	Wolosaty	Stuposiany	1978-2010	P III	beta = 0,0457; lambda = 2,5540; epsilon = 18,8908	122	262	186	294	228	315	
115	Solinka	Cisna	1969-2010	P III	beta = 0,0697; lambda = 2,5669; epsilon = 5,1643	72,8	241	115	285	143	313	
116	Solinka	Terka	1960-2010	P III	beta = 0,0141; lambda = 1,6808; epsilon = 44,2403	286	311	473	369	598	-	brak KNP w strefie stanów obejmujących Q _{0,2%}
117	Wetlina	Kalnica	1972-2010	G	alfa = 0,0708; mi = 39,5103	71,3	416	104	450	127	-	brak KNP w strefie stanów obejmujących Q _{0,2%}
118	Ośława	Szczawne	1967-2010	P III	beta = 0,0144; lambda = 1,1224; epsilon = 29,7191	204	250	369	-	483	-	brak KNP w strefie stanów obejmujących Q _{1%} oraz Q _{0,2%}
119	Ośława	Zagórz	1976-2010	P III	beta = 0,0061;	337	337	681	436	929	499	

L.p.	Rzeka	Stacja wodowskazowa	Okres WQ	Rozkład*	Parametry rozkładu	Przepływ maksymalny o zadanim prawdopodobieństwie przewyższenia $Q_{maxp\%}$ [m ³ /s] oraz odpowiadający stan wody H [cm]						Uwaga
						Q _{10%}	H _{Q10%}	Q _{1%}	H _{Q1%}	Q _{0,2%}	H _{Q0,2%}	
					lambda = 0,6620; epsilon = 59,9640							
120	Wiar	Rybotyczne	1962-2010	P III	beta = 0,0173; lambda = 1,1175; epsilon = 9,7912	155	409	292	-	387	-	brak KNP w strefie stanów obejmujących Q1% oraz Q0,2%
121	Wiar	Krówniki	1962-2010	P III	beta = 0,0054; lambda = 0,8048; epsilon = 34,7791	399	800	807	-	1100	-	brak KNP w strefie stanów obejmujących Q1% oraz Q0,2%
122	Wisznia	Nienowice	1952-2010	P III	beta = 0,0127; lambda = 1,4097; epsilon = 8,3571	243	645	440	859	575	-	brak KNP w strefie stanów obejmujących Q0,2%
123	Szkło	Charytany	1962-2010	P III	beta = 0,0940; lambda = 3,5070; epsilon = 0,4084	64,5	532	98,9	545	121	550	
124	Lubaczówka	Zapałów	1970-2010	P III	beta = 0,1715; lambda = 5,2292; epsilon = 0,0000	48,3	400	69,7	-	83,0	-	brak KNP w strefie stanów obejmujących Q1% oraz Q0,2%
125	Wisłok	Krosno	1978-2010	P III	beta = 0,0110; lambda = 0,8258; epsilon = 41,1753	222	609	421	-	563	-	brak KNP w strefie stanów obejmujących Q1% oraz Q0,2%
126	Wisłok	Żarnowa	1978-2010	P III	beta = 0,0106; lambda = 1,3103; epsilon = 61,3944	327	656	559	-	718	-	brak KNP w strefie stanów obejmujących Q1% oraz Q0,2%
127	Wisłok	Rzeszów	1974-2010 (bez 1990)	P III	beta = 0,0097; lambda = 1,6892; epsilon = 81,1851	434	637	705	779	887	859	
128	Wisłok	Tryńcza	1951-2010	LN	mi = 5,2775; sigma = 0,4778; epsilon = 17,0132	378	791	612	868	792	909	
129	Pielnica	Nowosielce	1981-2010	P III	beta = 0,0694; lambda = 1,4759; epsilon = 1,8542	46,4	368	82,9	439	108	-	brak KNP w strefie stanów obejmujących Q0,2%
130	Morwawa	Iskrzynia	1973-2010	P III	beta = 0,0819; lambda = 2,9162; epsilon = 2,4603	66,0	596	103	659	128	-	brak KNP w strefie stanów obejmujących Q0,2%

L.p.	Rzeka	Stacja wodowskazowa	Okres WQ	Rozkład*	Parametry rozkładu	Przepływ maksymalny o zadanim prawdopodobieństwie przewyższenia $Q_{maxp\%}$ [m ³ /s] oraz odpowiadający stan wody H [cm]						Uwaga
						Q _{10%}	H _{Q10%}	Q _{1%}	H _{Q1%}	Q _{0,2%}	H _{Q0,2%}	
131	Stobnica	Godowa	1981-2010	P III	beta = 0,0106; lambda = 0,7040; epsilon = 19,4883	186	1082	387	-	531	-	brak KNP w strefie stanów obejmujących Q1% oraz Q0,2%
132	Mleczka	Gorliczyna	1960-2010	P III	beta = 0,0158; lambda = 0,8898; epsilon = 10,0939	144	652	286	782	386	-	brak KNP w strefie stanów obejmujących Q0,2%
133	Trzebońnica	Sarzyna	1966-2010	LN	mi = 2,5145; sigma = 0,9589; epsilon = 1,5623	43,8	364	117	499	197	-	brak KNP w strefie stanów obejmujących Q0,2%
134	Tanew	Osuchy	1967-2010	P III	beta = 0,0839; lambda = 3,6481; epsilon = 2,2536	76,2	435	115	-	140	-	brak KNP w strefie stanów obejmujących Q1% oraz Q0,2%
135	Tanew	Harasiuki	1980-2011	LN	mi = 3,8917; sigma = 0,5819; epsilon = 2,5473	106	271	192	346	264	390	
136	Biała Łada	Biłgoraj	1956-1996	LN	mi = 1,6018; sigma = 0,8767; epsilon = 1,4000	16,7	196	39,5	-	63,3	-	brak KNP w strefie stanów obejmujących Q1% oraz Q0,2%
137	Bukowa	Ruda Jastkowska	1961-2010	P III	beta = 0,0210; lambda = 0,8283; epsilon = 6,2762	101	324	206	402	280	433	
138	Nida	Mniszek	1978-2010	P III	beta = 0,1658; lambda = 1,9395; epsilon = 1,3118	24,2	357	40,7	-	51,6	-	brak KNP w strefie stanów obejmujących Q1% oraz Q0,2%
139	Nida	Brzegi	1978-2010	P III	beta = 0,0120; lambda = 0,8675; epsilon = 21,4871	194	370	381	423	512	453	
140	Nida	Pińczów	1972-2010	P III	beta = 0,0217; lambda = 1,8085; epsilon = 20,4051	186	377	309	419	392	438	
141	Wierna Rzeka (Łososina)	Bocheniec	1956-2010 (bez 1998-1999)	LN	mi = 1,1844; sigma = 1,0975; epsilon = 5,3605	18,7	352	47,4	-	82,3	-	brak KNP w strefie stanów obejmujących Q1% oraz Q0,2%
142	Mierzawa	Michałów	empiryczna	wzór empiryczny Punzeta - formula	wzór empiryczny Punzeta - formula	46,3	-	78,6	-	98,4	-	

L.p.	Rzeka	Stacja wodowskazowa	Okres WQ	Rozkład*	Parametry rozkładu	Przepływ maksymalny o zadanim prawdopodobieństwie przewyższenia $Q_{maxp\%}$ [m ³ /s] oraz odpowiadający stan wody H [cm]						Uwaga
						Q _{10%}	H _{Q10%}	Q _{1%}	H _{Q1%}	Q _{0,2%}	H _{Q0,2%}	
				równinna	równinna							
143	Czarna	Staszów	1951-2001	P III	beta = 0,0183; lambda = 0,9155; epsilon = 8,7547	126	427	250	-	336	-	Powierzchnia zlewni według MPHP 2010
144	Czarna	Połaniec	1951-1983	P III	beta = 0,0195; lambda = 1,7671; epsilon = 23,4142	205	380	341	431	432	464	Powierzchnia zlewni według MPHP 2010
145	Wschodnia	Wilkowa	1978-2010	P III	beta = 0,0598; lambda = 1,5249; epsilon = 4,1085	57,0	268	99,7	301	129	-	Powierzchnia zlewni według MPHP 2010
146	Wisła	Annopol	1951-2010	P III	beta = 0,001; lambda = 1,997; epsilon = 907,2103	4740	692	7460	808	9260	872	
147	Wisła	Puławy	1961-2010	P III	beta = 0,0009; lambda = 1,5795; epsilon = 919,083	4500	664	7350	784	9270	859	ciąg WQ w latach 1961-2004 według Puławy (A=57224 km ²), ciąg WQ w latach 2005-2010 według Puławy Azoty (A=57668 km ²)
148	Wisła	Dęblin	1951-2010	LN	mi = 7,597; sigma = 0,525; epsilon = 445,0352	4350	600	7210	698	9480	753	
149	Wisła	Gusin	1975-2010	LN	mi = 7,5132; sigma = 0,5456; epsilon = 564,7732	4250	473	7080	572	9370	624	
150	Wisła	Warszawa Nadwilanówka	1951-2010	P III	beta = 0,011; lambda = 2,1015; epsilon = 961,8546	4610	824	7120	937	8790	994	ciąg WQ w latach 1951-1967 według Warszawa (A=84945 km ²), ciąg WQ w latach 1968-2010 według Warszawa Nadwilanówka (A=84630 km ²)
151	Wisła	Modlin	1969-2010	P III	beta = 0,012; lambda = 2,1969; epsilon = 1516,3224	4970	795	7300	912	8840	982	krzywa ekstrapolowana na potrzeby ISOK
152	Wisła	Kępa Polska	1969-2010	P III	beta = 0,012; lambda = 2,3527;	5050	645	7370	758	8890	822	krzywa ekstrapolowana na potrzeby ISOK, rzędna wody 0,2%

L.p.	Rzeka	Stacja wodowskazowa	Okres WQ	Rozkład*	Parametry rozkładu	Przepływ maksymalny o zadany prawdopodobieństwie przewyższenia $Q_{max\%}$ [m ³ /s] oraz odpowiadający stan wody H [cm]						Uwaga
						Q _{10%}	H _{Q10%}	Q _{1%}	H _{Q1%}	Q _{0,2%}	H _{Q0,2%}	
					epsilon = 1490,4932							powyżej korony wału
153	Wisła	Włocławek	1970-2010	P III	beta = 0,001; lambda = 1,8436; epsilon = 1371,09	5200	742	8010	939	9890	1034	krzywa ekstrapolowana na potrzeby ISOK
154	Wyżnica	Bór	1966-2010	LN	mi = 1,2730; sigma = 1,1371; epsilon = 1,9169	17,3	237	52,2	289	96,1	340	krzywa ekstrapolowana na potrzeby ISOK
155	Kamienna	Bzin	1951-2010	LN	mi = 3,0034; sigma = 0,6884; epsilon = 1,3393	50,0	356	101,0	460	148	528	
156	Kamienna	Wąchock	1951-2010	LN	mi = 3,3542; sigma = 0,615; epsilon = 0,9348	63,9	288	121	322	169	342	krzywa ekstrapolowana na potrzeby ISOK
157	Kamienna	Michałów	1994-2010	P III	beta = 0,213; lambda = 0,7005; epsilon = 9,2744	91,8	294	191	398	263		dane szacunkowe, $Q_{max\%}$ obliczone na podstawie ciągu WQ z wielolecia 1994-2010 (17 wyrazów ciągu), rzędna wody 0,2% powyżej korony wału
158	Kamienna	Brody Iłżeckie	1974-2010	G	alfa = 0,0568; mi = 25,1333	64,8	292	106	341	135	368	
159	Kamienna	Kunów	1965-2005	G	alfa = 0,0543; mi = 37,9758	79,4	335	123	423	152	475	w 1964 oddano do użytku zb. Brody Iłżeckie, w 2005 oddano do użytku zb. Wióry, Q_{max} z 2001 roku powstałe w wyniku awarii budowanego zb. Wióry nie były brane pod uwagę
160	Kamienna	Czekarzewice	1971-2010	P III	beta = 0,0668; lambda = 1,8866; epsilon = 12,3476	68,0	255	108	302	135	324	
161	Świślina	Rzepin	1976-2010	P III	beta = 0,0893; lambda = 0,9666; epsilon = 1,4664	26,6	339	52,2	466	70,1	531	
162	Świślina	Nietulisko Duże	1961-2005	G	alfa = 0,0566; mi = 25,9471	65,7	715	107	793	136	835	w 2005 oddano do użytku zb. Wióry, Q_{max} z 2001 roku powstałe

L.p.	Rzeka	Stacja wodowskazowa	Okres WQ	Rozkład*	Parametry rozkładu	Przepływ maksymalny o zadanym prawdopodobieństwie przewyższenia $Q_{maxp\%}$ [m ³ /s] oraz odpowiadający stan wody H [cm]						Uwaga
						$Q_{10\%}$	$H_{Q10\%}$	$Q_{1\%}$	$H_{Q1\%}$	$Q_{0.2\%}$	$H_{Q0.2\%}$	
												w wyniku awarii budowanego zb. Wióry nie brane pod uwagę
163	Ilżanka	Kazanów	1994-2012	P III	$\beta = 0,1461$; $\lambda = 2,4196$; $\epsilon = 0,7313$	31,6	272	51,4	300	64,4	344	
164	Kurówka	Witowice	1976-2008	P III	$\beta = 0,0563$; $\lambda = 0,6567$; $\epsilon = 2,3586$	32,1	433	69,1	476	96,0	497	brak danych WQ w roku 2003, 2009
165	Wieprz	Zwierzyniec	1951-2010	LN	$m_i = 1,5786$; $\sigma = 0,7810$; $\epsilon = 1,4126$	14,6	250	31,2	307	47,3	349	
166	Wieprz	Michałów	2008-2010		Na prośbę CMPIŚ przepływy prawdopodobne ekstrapolowano	18,2		39,9		61,5		Wodowskaz założony w 2006r. Brak wysokich pomiarów. Brak góry krzywej.
167	Wieprz	Nielisz	1996-2010		Z powodu krótkiego ciągu przepływy prawdopodobne ekstrapolowano	44,7	262	75,8	317	97,0	330	
168	Wieprz	Wirkowice	1976-2010	P III	$\beta = 0,0616$; $\lambda = 1,3983$; $\epsilon = 10,1122$	58,2	383	98,8	413	126	428	
169	Wieprz	Krasnystaw	1951-2010	P III	$\beta = 0,0229$; $\lambda = 0,8961$; $\epsilon = 13,9986$	107	557	205	609	274	633	
170	Wieprz	Trawniki	1976-2010	P III	$\beta = 0,0279$; $\lambda = 0,7250$; $\epsilon = 15,3908$	80,0	551	156	593	211	614	
171	Wieprz	Lubartów	1951-2010	P III	$\beta = 0,0149$; $\lambda = 0,8339$; $\epsilon = 23,0861$	158	513	307	569	412	595	
172	Wieprz	Kośmin	1951-2010	P III	$\beta = 0,0108$; $\lambda = 0,9709$; $\epsilon = 39,9760$	248	450	460	502	608	527	

L.p.	Rzeka	Stacja wodowskazowa	Okres WQ	Rozkład*	Parametry rozkładu	Przepływ maksymalny o zadanim prawdopodobieństwie przewyższenia $Q_{maxp\%}$ [m ³ /s] oraz odpowiadający stan wody H [cm]						Uwaga
						Q _{10%}	H _{Q10%}	Q _{1%}	H _{Q1%}	Q _{0,2%}	H _{Q0,2%}	
173	Pór	Zakłodzie	1981-2010	P III	beta = 0,2419; lambda = 1,9207; epsilon = 3,7790	19,4	219	30,6	267	38,1	292	Wodowskaz założony w 2006r. Ciąg przepływów wydłużony z Sułowa
174	Łabuńka	Krzak	1951-2010	P III	beta = 0,1771; lambda = 1,4468; epsilon = 3,1110	20,3	313	34,5	347	44,2	364	
175	Wolica	Orłów Drewniany	1953-2009	P III	beta = 0,0742; lambda = 0,8373; epsilon = 2,3786	29,5	405	59,3	471	80,4	503	
176	Wojśławka	Surhów	1986-2010	P III	beta = 0,1001; lambda = 0,6114; epsilon = 1,0993	16,9	233	37,4	259	52,4	271	
177	Gielczew	Biskupice	1977-2010	LN	mi = 1,0134; sigma = 1,4264; epsilon = 1,1689	18,3	326	77,2	385	168	423	
178	Świnka	Puchaczów	1965-2010	P III	beta = 0,5695; lambda = 3,1737; epsilon = 0,0000	9,77	367	15,3	423	18,8	452	
179	Bystrzyca	Lublin	1964-2009	LN	mi = 2,0503; sigma = 1,0775; epsilon = 1,3942	32,3	410	96,7	580	174	726	
180	Bystrzyca	Sobianowice	1956-2010	LN	mi = 2,4348; sigma = 0,9494; epsilon = 4,9489	43,5	267	109	289	180	301	
181	Tyśmienica	Tchórzew	1972-2010	P III	beta = 0,0686; lambda = 1,6053; epsilon = 11,8894	59,9	408	97,7	444	123	462	
182	Minina	Młyniska	1993-2010	P III	beta = 0,2523; lambda = 0,8553; epsilon = 2,4785	10,6	257	19,4	318	25,6	353	
183	Radomka	Słowików	1971-2010	P III	beta = 0,0323; lambda = 0,7854; epsilon = 5,3868	63,9	278	130	318	178	334	
184	Radomka	Rogożek	1980-2010	P III	beta = 0,0265; lambda = 0,7744;	80,0	356	162	404	220	428	

L.p.	Rzeka	Stacja wodowskazowa	Okres WQ	Rozkład*	Parametry rozkładu	Przepływ maksymalny o zadanym prawdopodobieństwie przewyższenia $Q_{maxp\%}$ [m ³ /s] oraz odpowiadający stan wody H [cm]						Uwaga
						Q _{10%}	H _{Q10%}	Q _{1%}	H _{Q1%}	Q _{0,2%}	H _{Q0,2%}	
					epsilon = 8,4949 alfa = 0,2427; mi = 7,1389							
185	Mleczna	Lesiów	1973-2010	G		16,4	202	26,1	248	32,8	274	
186	Okrzejka	Mika	1959-2010	P III	beta = 0,0718; lambda = 1,4315; epsilon = 2,0668	44,1	492	79,1	567	103	588	
187	Wilga	Cyganówka	1961-2010	P III	beta = 0,0649; lambda = 1,746; epsilon = 2,6500	56,7	382	97,6	446	125	479	
188	Pilica	Szczekociny	1981-2009	P III	beta = 0,0767; lambda = 0,5731; epsilon = 2,2486	21,9	284	48,3	361	67,6	416	
189	Pilica	Wąsosz		Na prośbę CMPIS przepływy prawdopodobne ekstrapolowano	65,5	65,5	318	113	350	145	366	Wodowskaz przeniesiony 230 m w dół 22.09.2011. Dane po przeniesieniu: km 267,5 ; Rz "0" 227,921; krzywa ekstrapolowana
190	Pilica	Przedbórz	1965-2010	P III	beta = 0,0285; lambda = 1,4777; epsilon = 14,4461	123	461	212	501	272	519	
191	Pilica	Sulejów (Kopalnia)	1976-2010	P III	beta = 0,0199; lambda = 1,3328; epsilon = 26,3900	170	357	295	397	380	417	
192	Pilica	Spała	1975-2010	P III	beta = 0,0304; lambda = 2,5921; epsilon = 21,0808	177	310	275	389	338	414	
193	Pilica	Nowe Miasto	1975-2010	P III	beta = 0,0188; lambda = 1,7624; epsilon = 32,5963	221	235	362	272	457	291	
194	Pilica	Białobrzegi	1975-2010	P III	beta = 0,0204; lambda = 2,2565; epsilon = 30,1828	240	318	379	337	471	346	
195	Czarna Włoszczowska	Januszewice	1976-2010	P III	beta = 0,0464; lambda = 0,9552; epsilon = 7,0458	55,0	432	104	453	138	462	
196	Czarna	Dąbrowa	1966-2010	P III	beta = 0,0483;	83,3	459	139	516	176	546	

L.p.	Rzeka	Stacja wodowskazowa	Okres WQ	Rozkład*	Parametry rozkładu	Przepływ maksymalny o zadanym prawdopodobieństwie przewyższenia Qmaxp% [m³/s] oraz odpowiadający stan wody H [cm]						Uwaga
						Q10%	Hq10%	Q1%	Hq1%	Q0.2%	Hq0.2%	
	Maleniecka				lambda = 1,8477; epsilon = 7,5542							
197	Wolbórka	Zawada	1955-2010	P III	beta = 0,0728; lambda = 1,6599; epsilon = 3,0643	49,4	303	85,4	328	110	340	
198	Drzewiczka	Odrzywół	1975-2010	P III	beta = 0,0628; lambda = 1,3936; epsilon = 5,4645	52,5	313	92,3	345	119	361	
199	Świder	Wólka Mładzka	1961-2010	P III	beta = 0,0293; lambda = 0,9365; epsilon = 9,7342	84,5	339	162	409	216	458	
200	Jeziorka	Piaseczno	1991-2010	P III	beta = 0,0475; lambda = 0,6805; epsilon = 5,3168	41,5	360	85,8	437	118	492	dane szacunkowe, Omaxp% obliczone na podstawie ciągu WQ z wielolecia 1991-2010 (20 wyrazów ciągu), krzywa ekstrapolowana
201	Narew	Orzechowo	1968-2010	LN	mi = 6,2813; sigma = 0,6738; epsilon = 205,1476	1470		2770		3920		brak krzywej przepływu, przepływy z elektrowni w Dębie
202	Bug	Kryłów	2000-2010	P III	beta = 0,0075; lambda = 0,7084; epsilon = 80,5516	318	559	602	616	806	643	Bug graniczny - modelowany na przybliżonym NMT
203	Bug	Strzyżów	1965-2010	P III	beta = 0,0059; lambda = 0,8309; epsilon = 52,8682	395	903	771	997	1040	1043	
204	Bug	Dorohusk	1969-2010	P III	beta = 0,0056; lambda = 0,7288; epsilon = 66,1603	391	494	775	569	1050	606	
205	Bug	Włodawa	1966-2010	P III	beta = 0,0060; lambda = 0,9153; epsilon = 67,1597	427	484	803	558	1070	596	
206	Bug	Krzyczew	1971-2010	P III	beta = 0,0077; lambda = 1,5366; epsilon = 102,5140	516	533	849	609	1070	647	
207	Bug	Frankopol	1971-2010	P III	beta = 0,0059;	637	399	1060	511	1350	574	

L.p.	Rzeka	Stacja wodowskazowa	Okres WQ	Rozkład*	Parametry rozkładu	Przepływ maksymalny o zadanym prawdopodobieństwie przewyższenia $Q_{maxp\%}$ [m ³ /s] oraz odpowiadający stan wody H [cm]						Uwaga
						Q _{10%}	H _{Q10%}	Q _{1%}	H _{Q1%}	Q _{0,2%}	H _{Q0,2%}	
					lambda = 1,4588; epsilon = 120,9599							
208	Bug	Wyszków	1977-2010	P III	beta = 0,0028; lambda = 0,8701; epsilon = 199,8799	928	549	1710	663	2260	722	
209	Uherka	Ruda Opalin	1973-2010	P III	beta = 0,3042; lambda = 2,3903; epsilon = 2,0510	16,7	262	26,2	322	32,4	349	
210	Włodawka	Okuninka	1970-2010	P III	beta = 0,2434; lambda = 2,5357; epsilon = 0,7449	19,9	208	32,0	239	39,9	255	
211	Krzna	Malowa Góra	1951-2010	P III	beta = 0,0365; lambda = 1,6554; epsilon = 12,6621	105	424	176	467	224	488	
212	Nurzec	Brańsk	1983-2010	P III	beta = 0,0315; lambda = 1,3841; epsilon = 8,1739	102	340	181	370	235	384	
213	Cetynia	Zembrów (Tartak)	1992-2010	P III	beta = 0,0543; lambda = 0,7117; epsilon = 2,0188	34,8	467	74,0	497	102	513	
214	Brok	Nowe Kaczkowo	1972-2010	P III	beta = 0,0543; lambda = 2,1883; epsilon = 0,0000	76,8	457	129	523	163	556	
215	Liwiec	Łochów	1961-2010	P III	beta = 0,0145; lambda = 1,0533; epsilon = 16,1281	181	407	342	475	454	510	
216	Cienka	Klembów	1982-2010	P III	beta = 0,3551; lambda = 1,2637; epsilon = 1,4148	9,15	189	16,0	218	20,7	235	
217	Czarna	Struga	1979-2010	P III	beta = 0,5403; lambda = 2,7167; epsilon = 0,6475	9,76	224	15,3	267	18,9	293	
218	Wkra	Brudnice	1966-2010	P III	beta = 0,1896; lambda = 2,8931; epsilon = 5,2537	32,5	452	48,7	488	59,0	509	

L.p.	Rzeka	Stacja wodowskazowa	Okres WQ	Rozkład*	Parametry rozkładu	Przepływ maksymalny o zadanim prawdopodobieństwie przewyższenia $Q_{maxp\%}$ [m ³ /s] oraz odpowiadający stan wody H [cm]						Uwaga
						Q _{10%}	H _{Q10%}	Q _{1%}	H _{Q1%}	Q _{0,2%}	H _{Q0,2%}	
219	Wkra	Trzciniec	1971-2010	LN	$m_i = 2,9463$; $\sigma = 0,7126$; $\epsilon = 13,2881$	60,7	387	113	452	161	495	
220	Wkra	Borkowo	1961-2010	P III	$\beta = 0,00159$; $\lambda = 1,1738$; $\epsilon = 39,5114$	203	426	353	496	457	541	ciąg WQ w latach 1961-1999 według Cieksyn ($A=4900 \text{ km}^2$), ciąg WQ w latach 2000-2010 według Borkowo ($A=5133 \text{ km}^2$), krzywa ekstrapolowana na potrzeby ISOK
221	Łydynia	Luberadz	1961-2010	P III	$\beta = 0,0866$; $\lambda = 1,6968$; $\epsilon = 4,62$	44,2	303	74,6	323	95,0	335	brak danych WQ w roku 1999
222	Płonka	Strachowo	1965-2010	P III	$\beta = 0,0717$; $\lambda = 1,025$; $\epsilon = 3,268$	36,0	315	68,3	333	90,8	342	brak danych WQ w latach 1983-1990
223	Bzura	Sochaczew	1961-2006	LN	$m_i = 4,6567$; $\sigma = 0,6582$; $\epsilon = 0,0000$	245	310	487	415	700	468	stacja wodowskazowa zlikwidowana w 2006 roku
224	Rawka	Kęszyce	1971-2010	LN	$m_i = 2,2636$; $\sigma = 0,8183$; $\epsilon = 5,6398$	33,1	419	70,2	447	107	464	
225	Utrata	Krubice	1961-2010	P III	$\beta = 0,0562$; $\lambda = 0,9377$; $\epsilon = 3,0182$	42,1	312	82,4	351	111	367	
226	Zgłowiączka	Włocławek-Ruda	1971-2010	P III	$\beta = 0,0819$; $\lambda = 0,9485$; $\epsilon = 2,5974$	29,6	296	57,4	352	76,9	372	ciąg WQ w latach 1971-1980 według Przyruda ($A=1462 \text{ km}^2$), ciąg WQ w latach 1981-2010 według Włocławek - Ruda ($A=1494 \text{ km}^2$)
227	Narew	Bondary	1964-2010	P III	typu $\beta=0,0487$; $\lambda=0,9688$; $\epsilon=4,2574$	50,4	358	97,3	375	130	380	
228	Narew	Narew	1951-2010	P III	typu $\beta=0,0297$; $\lambda=1,0071$; $\epsilon=13,6918$	91,6	217	169	233	224	240	

L.p.	Rzeka	Stacja wodowskazowa	Okres WQ	Rozkład*	Parametry rozkładu	Przepływ maksymalny o zadany prawdopodobieństwie przewyższenia $Q_{maxp\%}$ [m ³ /s] oraz odpowiadający stan wody H [cm]						Uwaga
						$Q_{10\%}$	$H_{Q10\%}$	$Q_{1\%}$	$H_{Q1\%}$	$Q_{0.2\%}$	$H_{Q0.2\%}$	
229	Narew	Ploski	378,23			113	391	202	405	263	412	Formuła roztopowa
230	Narew	Suraż	1951-2010	P III	typu $\beta=0,0269$; $\lambda=1,4947$; $\varepsilon=19,3048$	135	355	230	382	294	396	
231	Narew	Babino				165	574	295		384		Formuła roztopowa
232	Narew	Strękowa Góra	1951-2010	LN	$m_i=4,5745$; $\Sigma=0,6364$; $\varepsilon=7,1483$	226	433	433	498	613	528	
233	Narew	Wizna	1951-2010	P III	typu $\beta=0,0066$; $\lambda=1,1317$; $\varepsilon=76,7809$	462	499	824	547	1075	570	
234	Narew	Piątnica Łomża	1951-2010	P III	typu $\beta=0,0066$; $\lambda=1,2121$; $\varepsilon=79,2786$	485	485	853	553	1106	590	
235	Narew	Nowogród	1951-2010	LN	$m_i=5,4160$; $\Sigma=0,6357$; $\varepsilon=29,7151$	538	422	1017	507	1432	545	
236	Narew	Ostrołęka	1951-2010	P III	typu $\beta=0,0038$; $\lambda=0,8265$; $\varepsilon=128,9225$	650	480	1225	585	1633	616	
237	Narew	Zambski Kościelne	1951-2010	LN	$m_i=5,3716$; $\Sigma=0,7492$; $\varepsilon=113,1754$	675	494	1343	615	1972	704	WQ 1951-1964 przyjęto z Pułtusza
238	Narewka	Narewka	1951-2010	P III	typu $\beta=0,0964$; $\lambda=1,4199$; $\varepsilon=5,1674$	36,3	314	62,3	333	80,0	342	
239	Orlanka	Chraboły				33,0	315	59,0	350	76,7	366	Formuła roztopowa
240	Supraśl	Fasty	1951-2010	P III	typu $\beta=0,0678$; $\lambda=1,6237$; $\varepsilon=10,8671$	59,8	290	98,1	330	124	344	
241	Ślina	Zawady				21,8	395	39,1		50,8		Formuła roztopowa
242	Biebrza	Osowiec	1951-2010	LN	$m_i=4,2128$; $\Sigma=0,5501$; $\varepsilon=1,3103$	138	437	244	465	330	482	
243	Biebrza	Burzyn	1951-2010	P III	typu $\beta=0,0098$;	258	391	489	445	651	479	

L.p.	Rzeka	Stacja wodowskazowa	Okres WQ	Rozkład*	Parametry rozkładu	Przepływ maksymalny o zadanim prawdopodobieństwie przewyższenia $Q_{maxp\%}$ [m ³ /s] oraz odpowiadający stan wody H [cm]						Uwaga
						Q _{10%}	H _{Q10%}	Q _{1%}	H _{Q1%}	Q _{0,2%}	H _{Q0,2%}	
					$\lambda=0,9311$; $\varepsilon=35,9784$							
244	Jęgrznia	Woźnawieś	1978-2010	G	$\alpha=0,2499$; $m_i=10,1735$	19,2	292	28,6	311	35,0	321	
245	Elk	Elk	1972-2009	LN	$m_i=2,4843$; $\Sigma=0,4340$; $\varepsilon=2,8479$	23,8	232	35,8	266	44,7	280	
246	Elk	Prostki	1971-2010	LN	$m_i=2,7447$; $\Sigma=0,4349$; $\varepsilon=3,7011$	30,9	222	46,5	259	58,1	brak	
247	Elk (Kanał Rudzki)	Przechody	1961-2010	G	$\alpha=0,1231$; $m_i=21,8363$	40,1	316	59,2	355	72,3	380	
248	Elk (Kanał Rudzki)	Osowiec				100	brak	179	brak	233	brak	Formuła roztopowa
249	Kanał Kuwasy	Czarnawieś	2005-2010			27,5	brak	49,3	brak	64	brak	Formuła roztopowa
250	Wissa	Czachy	1957-2010	P III	typu $\beta=0,1040$; $\lambda=1,5535$; $\varepsilon=3,3357$	34,2	355	58,9	386	75,6	403	
251	Gać	Gać				34,4		61,6		80,1		Formuła roztopowa
252	Pisa	Dobrylas	1951-2010	P III	typu $\beta=0,1041$; $\lambda=2,5559$; $\varepsilon=23,8695$	69,0	285	97,3	318	116	331	
253	Ruż	Zaruzie	1961-2010	LN	$m_i=1,7864$; $\Sigma=0,8164$; $\varepsilon=1,9018$	18,9	262	41,8	284	64,4	297	
254	Szkwa	Szkwa				31,2		55,8		72,5		Formuła roztopowa
255	Rozoga	Walery				32,8		58,7		76,3		Formuła roztopowa
256	Omulew	Białobrzeg Bliższy	1973-2010	LN	$m_i=2,8833$; $\Sigma=0,3505$; $\varepsilon=5,9413$	33,9	229	46,3	254	55,0	269	
257	Orz	Czarnowo	1961-2010	P III	typu $\beta=0,0813$; $\lambda=1,2460$; $\varepsilon=3,8097$	37,2	359	67,1	407	87,6	421	
258	Orzyc	Maków Mazowiecki	1956-2010	LN	$m_i=3,5992$; $\Sigma=0,5828$;	80,5	397	145	424	199	441	

L.p.	Rzeka	Stacja wodowskazowa	Okres WQ	Rozkład*	Parametry rozkładu	Przepływ maksymalny o zadanym prawdopodobieństwie przewyższenia $Q_{maxp\%}$ [m ³ /s] oraz odpowiadający stan wody H [cm]						Uwaga
						Q _{10%}	H _{Q10%}	Q _{1%}	H _{Q1%}	Q _{0,2%}	H _{Q0,2%}	
					$\varepsilon=3,3029$							
259	Łyna	Olsztyn-Kortowo	1960-2010	P III	typu $\beta=1,6708$; $\lambda=4,4884$; $\varepsilon=3,51333$	7,90	115	9,99	138	11,30	151	
260	Łyna	Smolajny	1961-2010	P III	typu $\beta=0,2077$; $\lambda=4,5742$; $\varepsilon=10,4408$	46,3	315	63,1	335	73,8	brak	
261	Łyna	Sępapol	1951-2010	P III	typu $\beta=0,0470$; $\lambda=3,0454$; $\varepsilon=29,3262$	144	440	210	519	252	brak	

Tabela 12 Zestawienie wartości przepływów o określonym prawdopodobieństwie przewyższenia Q_{pp} [m³/s] oraz odpowiadające im stany wody H [cm] opracowane przez zespół gdyński

Lp.	Rzeka	Stacja wodowskazowa	Okres WQ	Rozkład	Parametry rozkładu	Przepływ maksymalny o zadanym prawdopodobieństwie przewyższenia $Q_{maxp\%}$ [m ³ /s] oraz odpowiadający stan wody H [cm]						Uwagi
						Q _{10%}	H _{Q10%} [cm]	Q _{1%}	H _{Q1%}	Q _{0,2%}	H _{Q0,2%}	
1	Bauda	Nowe Sadłuki	1998-2010	G	$\alpha = 0.1994$, $m_i = 19.0814$	30,37	461	42,15	560	50,25	630	KNP zweryfikowana, zalecana powtórna weryfikacja
2	Bolszewka	Bolszewo	1966-2010	LN	$= 2.1017$, $\sigma = 0.3853$, $\varepsilon = 0.1920$	13,59	205	20,24	260	24,98	287	KNP zweryfikowana, zalecana powtórna weryfikacja
3	Brda	Smukała	1965-2010	P III	$\beta = 0.0982$, $\lambda = 2.0911$, $\varepsilon = 33.2002$	74,18	278	102,5	326	121,25	354	
4	Brda	Tuchola	1951-2010	LN	$m_i = 3.0492$, $\sigma = 0.2694$, $\varepsilon = 8.7109$	38,51	154	48,19	180	54,53	195	
5	Drwęca	Elgiszewo	1951-2010	LN	$m_i = 3.7625$, $\sigma = 0.4277$, $\varepsilon = 8.7461$	83,23	256	125,2	311	156,21	339	

Lp.	Rzeka	Stacja wodowskazowa	Okres WQ	Rozkład	Parametry rozkładu	Przepływ maksymalny o zadanym prawdopodobieństwie przewyższenia $Q_{maxp\%}$ [m ³ /s] oraz odpowiadający stan wody H [cm]						Uwagi
						$Q_{10\%}$	$H_{Q10\%}$ [cm]	$Q_{1\%}$	$H_{Q1\%}$	$Q_{0,2\%}$	$H_{Q0,2\%}$	
6	Drwęca	Brodnica	1951-2010	G	$\alpha = 0.0860$, $m_i = 36.3027$	62,48	273	89,82	303	108,59	319	
7	Drwęca	Rodzone	1966-2010	P III	$\beta = 0.2373$, $\lambda = 4.4600$, $\epsilon = 6.4141$	37,14	313	51,81	327	61,04	333	
8	Drwęca	Samorowo	1974-2010	P III	$\beta = 0.4944$, $\lambda = 5.5326$, $\epsilon = 4.1174$	21,67	834	29,2	858	33,91	869	
9	Drwęca	Idzbark	1975-2010	LN	$m_i = 1.1583$, $\sigma = 0.6792$, $\epsilon = 1.6493$	9,25	149	17,11	225	24,14	251	
10	Drwęca	Nowe Miasto	1951-2010	LN	$m_i = 3.4885$, $\sigma = 0.3537$, $\epsilon = 0.00$	51,51	343	74,54	376	90,61	393	
11	Drwęca Warmińska	Krosno	2000-2010	LN	$m_i = 2.64138$, $\sigma = 0.57947$, $\epsilon = 0.00$	26,15	404	54,02	484	74,38	499	
12	Dzierżgoń	Bagart	1971-2010	LN	$m_i = 2.15875$, $\sigma = 0.305207$, $\epsilon = 0.1$	12,34	765	16,75	785	19,69	799	KNP zweryfikowana na podstawie modelowania
13	Liwa	Kwidzyn	1960-2010	LN	$m_i = 0.8006$, $\sigma = 0.7072$, $\epsilon = 2.6289$	8,14	200	14,17	250	20,79	296	KNP zweryfikowana, zalecana powtórna weryfikacja
14	Mienia	Lipno	1976-2010	LN	$m_i = 1.2072$, $\sigma = 0.$, $\epsilon = 0.9666$	7,28	203	13,72	263	19,18	303	KNP zweryfikowana, zalecana powtórna weryfikacja
15	Pasłęka	Łozy	1981-2010	LN	$m_i = 3.2806$, $\sigma = 0.4890$, $\epsilon = 0.6013$	116,04	502	177,23	576	221,64	608	KNP zweryfikowana, zalecana powtórna weryfikacja
16	Radunia	Juszkowo	1966-2010	LN	$m_i = 3.1095$, $\sigma = 0.3629$, $\epsilon = 0.00$	35,676	286	52,1216	374	63,67	440	KNP zweryfikowana, zalecana powtórna weryfikacja
17	Reda	Wejherowo	1961-2010	LN	$m_i = 2.6296$, $\sigma = 0.2449$, $\epsilon = 0.000$	19,11	180	24,92	200	28,69	210	KNP zweryfikowana na podstawie modelowania
18	Reda	Zamostne	1971-2010	LN	$m_i = 1.9885$, $\sigma = 0.3379$, $\epsilon = 0.000$	11,26	212	16,03	260	19,31	292	KNP zweryfikowana,

Projekt: Informatyczny system osłony kraju przed nadzwyczajnymi zagrożeniami

Nr Projektu: POIG.07.01.00-00-025/09

Dokument: Raport Końcowy

Lp.	Rzeka	Stacja wodowskazowa	Okres WQ	Rozkład	Parametry rozkładu	Przepływ maksymalny o zadanym prawdopodobieństwie przewyższenia $Q_{maxp}\%$ [m^3/s] oraz odpowiadający stan wody H [cm]						Uwagi
						$Q_{10\%}$	$H_{Q10\%}$ [cm]	$Q_{1\%}$	$H_{Q1\%}$	$Q_{0,2\%}$	$H_{Q0,2\%}$	
												zalecana powtórna weryfikacja
19	Ruziec	Sitno	1964-1991	P III	$\beta = 0.5867$, $\lambda = 1.8018$, $\epsilon = 0.7945$	6,92	175	11,47	221	14,52	256	KNP zweryfikowana na podstawie modelowania
20	Rypienica	Rypin	1961-2010	LN	$\mu = 0.8150$, $\sigma = 0.6155$, $\epsilon = 0.2346$	5,21	203	9,69	231	13,52	248	KNP zweryfikowana, zalecana powtórna weryfikacja
21	Tążyna	Otłoczynek	1965-2010	LN	$\mu = 0.971608$, $\sigma = 0.981542$	9,29	170	25,9	213	44,55	245	KNP zweryfikowana, zalecana powtórna weryfikacja
22	Walsza	Bornity	1974-2010	LN	$\mu = 3.2806$, $\sigma = 0.4890$, $\epsilon = 0.6013$	50,37	433	83,55	475	109,26	501	KNP zweryfikowana na podstawie modelowania
23	Wąska	Pasłek	1961-2010	P III	$\beta = 0.6264$, $\lambda = 9.5766$, $\epsilon = 0.00$	21,86	690	29,06	711	33,39	723	
24	Wda	Kraplewice	1965-2010	LN	$\mu = 3.4963$, $\sigma = 0.2078$, $\epsilon = 0.000$	43,06	253	53,5	287	60,17	308	KNP zweryfikowana, zalecana powtórna weryfikacja
25	Wda	Błędno	1960-2010	G	$\alpha = 0.63698$, $\mu = 13.0540$	19,13	162	25,49	181	29,85	198	KNP zweryfikowana, zalecana powtórna weryfikacja
26	Wda	Czarna Woda	1951-2010	G	$\alpha = 0.4489$, $\mu = 9.9172$	14,93	115	20,16	140	23,75	152	
27	Wel	Kuligi	1951-2010	P III	$\beta = 0.7854$, $\lambda = 4.3128$, $\epsilon = 4.4692$	13,5	185	17,89	207	20,65	217	KNP zweryfikowana, zalecana powtórna weryfikacja
28	Wel	Lidzbark	1956-2010	LN	$\mu = 1.1231$, $\sigma = 0.5413$, $\epsilon = 2.9707$	9,12	138	13,8	166	17,57	185	
29	Wierzyca	Brody pomorskie	1951-2010	LN	$\mu = 2.8862$, $\sigma = 0.3829$, $\epsilon = 2.7516$	32,03	341	46,43	357	56,71	365	KNP zweryfikowana,

Projekt: Informatyczny system osłony kraju przed nadzwyczajnymi zagrożeniami

Nr Projektu: POIG.07.01.00-00-025/09

Dokument: Raport Końcowy

Lp.	Rzeka	Stacja wodowskazowa	Okres WQ	Rozkład	Parametry rozkładu	Przepływ maksymalny o zadanym prawdopodobieństwie przewyższenia $Q_{maxp\%}$ [m ³ /s] oraz odpowiadający stan wody H [cm]						Uwagi
						$Q_{10\%}$	$H_{Q10\%}$ [cm]	$Q_{1\%}$	$H_{Q1\%}$	$Q_{0,2\%}$	$H_{Q0,2\%}$	
												zalecana powtórna weryfikacja
30	Wierzyca	Zapowiednik	1971-2010	P III	beta = 0.2928, lambda = 1.8960, epsilon = 6.5171	19,27	173	28,52	205	34,68	217	KNP zweryfikowana, zalecana powtórna weryfikacja
31	Wierzyca	Bożepole Szlacheckie	1961-2010	G	alfa = 0.6846, mi = 5.5741	8,86	168	12,29	194	14,65	201	KNP zweryfikowana, zalecana powtórna weryfikacja
32	Wierzyca	Sarnowy	1971-2010	LN	mi = 0.1315, sigma = 0.6259, epsilon = 0.7426	3,28	168	5,63	205	7,65	221	
33	Wisła od Tczewa	Tczew	1951 - 2010	P III	beta = 0.0011; lambda = 2.0320; epsilon = 1495.4886	5168	945	7744	1117	9450	1196	

Lp.	Rzeka	Stacja wodowskazowa	Okres obserwacji	Wpływ innych czynników	Metoda szacowania	Stan maksymalny o zadanym prawdopodobieństwie przewyższenia $H_{maxp\%}$ [cm]			Uwagi
						$H_{10\%}$	$H_{1\%}$	$H_{0,2\%}$	
1.	Szarpawa	Tujsk	1985-2010		rozkład wartości ekstremalnych	636	678	706	brak pomiarów przepływów
2.	Szarpawa	Tujsk	1985-2010	z uwzględnieniem oscylacji i falowania	rozkład wartości ekstremalnych	647	689	717	brak pomiarów przepływów
3.	Bałtyk	Ustka	1981-2010		rozkład wartości ekstremalnych	625	662	687	brak pomiarów przepływów
4.	Bałtyk	Ustka	1981-2010	z uwzględnieniem falowania	rozkład wartości ekstremalnych	686	736	769	brak pomiarów przepływów
5.	Ujście Słupi	Ustka	1981-2010	z uwzględnieniem oscylacji i falowania	rozkład wartości ekstremalnych	638	675	700	brak pomiarów przepływów

Tabela 13 Zestawienie wartości

przepływów o określonym prawdopodobieństwie przewyższenia Q_{pp} [m^3/s] oraz odpowiadające im stany wody H [cm] opracowane przez zespół wrocławski

Lp.	Rzeka	Stacja wodowskazowa	Okres WQ	Rozkład *	Parametry rozkładu	Przepływ maksymalny o zadanim prawdopodobieństwie przewyższenia $Q_{maxp\%}$ [m^3/s] oraz odpowiadający stan wody H [cm]						Uwaga
						$Q_{10\%}$	$H_{Q10\%}$	$Q_{1\%}$	$H_{Q1\%}$	$Q_{0,2\%}$	$H_{Q0,2\%}$	
1	Odra	Chałupki	1951-2010	LN	$m_i = 5,5125$; $\sigma = 0,8323$; $\epsilon = 99,4365$	819	592	1817	733	2819	758	korona niższego wału $H=720$ cm; dla $Q_{max1\%}$ i $Q_{max0,2\%}$ KNP zweryfikowana na podstawie modelowania
2	Odra	Krzyżanowice	1951-2010	LN	$m_i = 5,6440$; $\sigma = 0,8862$; $\epsilon = 142,6024$	1022	753	2364	951	3765	-	korona niższego wału $H=974$ cm; $Q_{max0,2\%}$ poza wałami
3	Odra	Racibórz-Miedonia	1956-2010	LN	$m_i = 5,6819$; $\sigma = 0,8943$; $\epsilon = 175,8822$	1061	796	2282	922	3500	1002	
4	Odra	Koźle	1956-2010	GEV	$m_i = 422,3871$; $\sigma = 138,6268$; $\text{ksi} = 0,3818$	939	669	1864	804	2767	917	dla $Q_{max0,2\%}$ stan wody orientacyjny, niższy brzeg $H=875$ cm
5	Odra	Brzeg Dolny	1951-2010	LN	$m_i = 6,1952$; $\sigma = 0,6970$; $\epsilon = 159,5767$	1358	839	2641	1023	3805	1149	ciąg przepływów maksymalnych wyznaczony na potrzeby modelowania
6	Odra	Malczyce	1951-2010	LN	$m_i = 6,1591$; $\sigma = 0,6743$; $\epsilon = 121,1846$	1244	738	2392	845	3416	905	
7	Odra	Ścinawa	1951-2010	LN	$m_i = 6,1742$; $\sigma = 0,5976$; $\epsilon = 119,0041$	1152	568	2047	663	2801	720	
8	Odra	Głogów	1951-2010	GEV	$m_i = 555,8158$; $\sigma = 239,8226$; $\text{ksi} = 0,1333$	1185	594	2078	685	2875	754	ciąg przepływów maksymalnych wyznaczony na potrzeby modelowania

Lp.	Rzeka	Stacja wodowskazowa	Okres WQ	Rozkład *	Parametry rozkładu	Przepływ maksymalny o zadanym prawdopodobieństwie przewyższenia $Q_{maxp\%}$ [m ³ /s] oraz odpowiadający stan wody H [cm]						Uwaga
						$Q_{10\%}$	$H_{Q10\%}$	$Q_{1\%}$	$H_{Q1\%}$	$Q_{0,2\%}$	$H_{Q0,2\%}$	
9	Odra	Nowa Sól	1951-2010	LN	$m_i = 6,3464$; $\sigma = 0,5463$; $\epsilon = 70,1523$	1219	580	2103	679	2819	702	
10	Odra	Cigacice	1951-2010	LN	$m_i = 6,4778$; $\sigma = 0,4731$; $\epsilon = 41,7587$	1235	557	1997	671	2581	765	
11	Odra	Połęcko	1951-2010	LN	$m_i = 6,5678$; $\sigma = 0,4667$; $\epsilon = 48,0883$	1343	487	2156	585	2776	649	
12	Opawa	Branice	1969-2010 (bez lat 1978-1980, 2000)	LN	$m_i = 3,7194$; $\sigma = 0,8649$; $\epsilon = 5,8330$	131	340	314	424	503	480	dla $Q_{max0,2\%}$ stan wody orientacyjny (woda poza korytem) wyznaczony po dowiązaniu góry krzywej do KNP z 1997 roku
13	Olza	Istebna	1960-2010	P III	$\beta = 0,0674$; $\lambda = 1,1541$; $\epsilon = 2,5337$	40,6	246	75,9	306	100	341	
14	Olza	Cieszyn	1964-2010	P III	$\beta = 0,0061$; $\lambda = 0,8062$; $\epsilon = 55,6666$	376	370	734	522	989	558	dla $Q_{max1\%}$ i $Q_{max0,2\%}$ stany wody orientacyjne (woda poza korytem, w tym po stronie czeskiej)
15	Piotrówka	Zebrzydowice	1962-2010	LN	$m_i = 2,6985$; $\sigma = 0,6886$; $\epsilon = 4,5978$	40,5	304	78,3	423	112	488	dla $Q_{max0,2\%}$ stan wody orientacyjny
16	Szotkówka	Gołkowice	1963-2010	P III	$\beta = 0,1364$; $\lambda = 2,1643$; $\epsilon = 2,1420$	32,4	384	53,0	409	66,6	423	
17	Psina	Bojanów	1970-2010	P III	$\beta = 0,0551$; $\lambda = 0,7639$; $\epsilon = 3,7677$	37,8	274	77,0	316	105	330	stany wody wg krzywej nawiazanej do KNP z 1997 roku
18	Ruda	Ruda Kozielska	1957-2010	LN	$m_i = 2,4148$; $\sigma = 0,7092$; $\epsilon = 3,6493$	31,4	343	61,9	376	89,8	397	
19	Nacyna	Rybnik	1963-2010	LN	$m_i = 1,4977$; $\sigma = 0,6856$; $\epsilon = 0,8607$	11,6	192	22,9	268	33,0	304	
20	Sumina	Nędza	1961-2010	LN	$m_i = 1,7597$; $\sigma = 0,6818$; $\epsilon = 0,0000$	13,9	234	28,4	364	41,4	419	dla $Q_{max0,2\%}$ stan wody orientacyjny
21	Bierawka	Tworóg Mały	1969-2010	LN	$m_i = 2,3952$; $\sigma = 0,7320$; $\epsilon = 0,0000$	28,8	341	61,0	449	91,0	487	$Q_{max0,2\%}$ poza

Projekt: Informatyczny system osłony kraju przed nadzwyczajnymi zagrożeniami

Nr Projektu: POIG.07.01.00-00-025/09

Dokument: Raport Końcowy

Lp.	Rzeka	Stacja wodowskazowa	Okres WQ	Rozkład *	Parametry rozkładu	Przepływ maksymalny o zadanych prawdopodobieństwie przewyższenia $Q_{maxp\%}$ [m ³ /s] oraz odpowiadający stan wody H [cm]						Uwaga
						$Q_{10\%}$	$H_{Q10\%}$	$Q_{1\%}$	$H_{Q1\%}$	$Q_{0,2\%}$	$H_{Q0,2\%}$	
					epsilon = 0,7724							korytem
22	Bierawka	Grabówka	1951-2010	P III	beta = 0,0593; lambda = 1,3050; epsilon = 3,7427	51,2	307	92,6	385	121	414	
23	Kłodnica	Kłodnica	1956-2010	P III	beta = 0,0638; lambda = 0,7671; epsilon = 2,0788	31,6	314	65,5	404	89,7	450	
24	Kłodnica	Gliwice	1956-2010	LN	mi = 2,6807; sigma = 0,7788; epsilon = 11,0215	50,6	281	100	381	148	443	
25	Kłodnica	Lenartowice	1963-2010	P III	beta = 0,1661; lambda = 3,0520; epsilon = 6,5246	39,0	302	57,7	377	69,7	404	dla $Q_{max0,2\%}$ stan wody orientacyjny - woda poza korytem (niższy brzeg H=385cm)
26	Bytomka	Gliwice	1956-2010	P III	beta = 0,1748; lambda = 0,9226; epsilon = 3,8577	16,3	292	29,2	342	38,3	360	
27	Stradunia	Kamionka	1951-2010	P III	beta = 0,1921; lambda = 1,2046; epsilon = 0,4083	14,2	261	26,7	297	35,4	-	
28	Osobłoga	Raclawice Śląskie	1957-2010	P III	beta = 0,0621; lambda = 2,8431; epsilon = 0,0000	82,2	408	131	433	163	445****	
29	Prudnik	Prudnik	1957-2010	LN	mi = 3,1239; sigma = 0,9841; epsilon = 0,4377	80,7	353	225	488	387	523	
30	Złoty Potok	Jarnołtówek	1975-2010	LN	mi = 1,3522; sigma = 1,1142; epsilon = 0,9879	17,1	178	52,6	265****	96,5	-	
31	Biała	Dobra	1951-2010	P III	beta = 0,1276; lambda = 1,2602; epsilon = 0,4136	21,9	278	41,0	-	54,1	-	
32	Mała Panew	Krupski Młyn	1951-2010	GEV	mi = 27,2021; sigma = 15,1981; ksi = 0,1903	69,9	348	139	416	208	458	
33	Mała Panew	Staniszcze Wielkie	1951-2010	GEV	mi = 37,8463; sigma = 21,0089; ksi = 0,1924	97,0	368	193	430	290	469	
34	Mała Panew	Turawa	1956-2010	LN	mi = 3,2830; sigma = 0,5559; epsilon = 7,8607	62,2	279	105	361	140	411	stacja wodowskazowa poniżej zbiornika Turawa
35	Stoła	Wesoła	1967-2010	P III	beta = 0,1962; lambda = 2,0500; epsilon = 1,7074	21,9	310	36,0	338	45,4	351	
36	Nysa Kłodzka	Międzylesie	1951-2010	LN	mi = 1,9562; sigma = 1,0234; epsilon = 1,1815	27,4	248	77,7	347	136	429	
37	Nysa Kłodzka	Bystrzyca	1951-2010	LN	mi = 4,0248; sigma = 0,7287;	167	277	319	387	470	494	

Lp.	Rzeka	Stacja wodowskazowa	Okres WQ	Rozkład *	Parametry rozkładu	Przepływ maksymalny o zadanych prawdopodobieństwie przewyższenia $Q_{maxp}\%$ [m ³ /s] oraz odpowiadający stan wody H [cm]						Uwaga
						$Q_{10\%}$	$H_{Q10\%}$	$Q_{1\%}$	$H_{Q1\%}$	$Q_{0,2\%}$	$H_{Q0,2\%}$	
		Kłodzka			epsilon = 14,3944							
38	Nysa Kłodzka	Kłodzko	1951-2010	P III	beta = 0,0060; lambda = 0,8378; epsilon = 52,1687	391	423	762	534	1025	591	
39	Nysa Kłodzka	Bardo	1951-2010	P III	beta = 0,0048; lambda = 1,1864; epsilon = 42,3371	592	444	1095	597	1442	683	ciąg przepływów maksymalnych wyznaczony na potrzeby modelowania
40	Nysa Kłodzka	Nysa	1951-2010	LN	mi = 4,4735; sigma = 0,9568; epsilon = 37,8665	337	428	850	657	1415	-	stacja wodowskazowa poniżej zbiornika Nysa, WQ 1997 - 1500 m ³ /s (maksymalny zrzut ze zbiornika)
41	Nysa Kłodzka	Skorogoszcz	1951-2010	LN	mi = 4,8387; sigma = 0,9293; epsilon = 30,8585	446	443	1128	555	1863	578	
42	Wilczka	Wilkanów	1951-2010	LN	mi = 1,4248; sigma = 1,3269; epsilon = 1,8059	24,6	193	92,9	269	191	326	
43	Bystrzyca	Bystrzyca Kłodzka	1951-2010	LN	mi = 1,8426; sigma = 0,6953; epsilon = 1,1006	16,5	146	32,9	240	47,8	320	zalecana ponowna weryfikacja KNP
44	Bystrzyca Dusz.	Szalejów Dolny	1951-2010	LN	mi = 3,1664; sigma = 0,8657; epsilon = 3,3480	75,3	234	181	299	290	-	zalecana powtórna weryfikacja KNP
45	Ścinawa Niemodlińska	Niemodlin	1957-2010	P III	beta = 0,1901; lambda = 2,0662; epsilon = 0,1965	21,2	395	35,8	442	45,4	460****	
46	Biała Łądecka	Łądek Zdrój	1951-2010	GEV	mi = 26,3655; sigma = 16,6386; ksi = 0,3873	86,1	173	239	284	460	377	
47	Biała Łądecka	Żelazno	1951-2010	LN	mi = 3,2606; sigma = 1,2487; epsilon = 7,1615	136	278	483	388	955	447	
48	Ścinawka	Tłumaczów	1951-2010	LN	mi = 3,4816; sigma = 0,7588; epsilon = 1,8597	87,8	328	192	433	291	493	
49	Ścinawka	Gorzuchów	1951-2010	P III	beta = 0,0256; lambda = 1,4783; epsilon = 5,1116	126	322	225	447	292	481	
50	Biała Glucholaska	Glucholazy	1951-2010	P III	beta = 0,0126; lambda = 0,8336; epsilon = 7,1157	167	217	342	318	466	371	
51	Stobrawa	Karłowice (Wapienniki)	1951-2010	P III	beta = 0,1696; lambda = 4,2661; epsilon = 0,0000	41,5	373	61,7	-	74,5	-	ciąg WQ w latach 1951-1994 według

Projekt: Informatyczny system osłony kraju przed nadzwyczajnymi zagrożeniami

Nr Projektu: POIG.07.01.00-00-025/09

Dokument: Raport Końcowy

Lp.	Rzeka	Stacja wodowskazowa	Okres WQ	Rozkład *	Parametry rozkładu	Przepływ maksymalny o zadanym prawdopodobieństwie przewyższenia $Q_{maxp\%}$ [m ³ /s] oraz odpowiadający stan wody H [cm]						Uwaga
						$Q_{10\%}$	$H_{Q10\%}$	$Q_{1\%}$	$H_{Q1\%}$	$Q_{0,2\%}$	$H_{Q0,2\%}$	
												Wapiennik (A=1031 km ²), ciąg WQ w latach 1996-2010 według Karłowic (A=967,2 km ²)
52	Bogacica	Domaradz	1959-2010	P III	beta = 0,8725; lambda = 5,1155; epsilon = 0,0000	9,33	297	13,5	311	16,1	-	
53	Budkowiczanka	Krzywa Góra	1956-2010	G	alfa = 0,3203; mi = 5,7894	12,8	292	20,2	-	25,2	-	
54	Olawa	Olawa	1951-2010	P III	beta = 0,0911; lambda = 1,7236; epsilon = 3,6889	41,8	352	70,8	417	90,2	452	
55	Ślęza	Białobrzezie	1954-2010	P III	beta = 0,1317; lambda = 0,9452; epsilon = 1,1993	18,0	314	35,2	340	47,3	345	zalecana ponowna weryfikacja KNP
56	Ślęza	Borów	1954-2010	P III	beta = 0,1013; lambda = 1,5115; epsilon = 1,0812	32,1	423	57,3	440	74,4	445	zalecana ponowna weryfikacja KNP
57	Ślęza	Ślęza (Żerniki)	1971-2010	P III	beta = 0,0716; lambda = 1,3797; epsilon = 1,1666	42,1	416	76,9	515	101	525	WQ w latach 1971-1995 przyjęte z Żernik przeliczonych na przekrój Ślęzy, w 1997-2010 WQ ze Ślęzy, w tym brak danych z lat: 1996, 2001, 2002, 2003, 2004, 2005, zalecana ponowna weryfikacja KNP
58	Bystrzyca	Jugowice	1951-2010	PIII	beta = 0,0224; lambda = 0,6831; epsilon = 3,6317	80,5	198	174	295	242	336	
59	Bystrzyca	Lubachów	1975-2010	P III	beta = 0,0364; lambda = 0,6073; epsilon = 4,3474	47,6	277	104	-	145	-	stacja wodowskazowa poniżej zbiornika Lubachów, wyniki $Q_{maxp\%}$ należy traktować jako szacunkowe

Lp.	Rzeka	Stacja wodowskazowa	Okres WQ	Rozkład *	Parametry rozkładu	Przepływ maksymalny o zadanym prawdopodobieństwie przewyższenia $Q_{maxp}\%$ [m^3/s] oraz odpowiadający stan wody H [cm]						Uwaga
						$Q_{10\%}$	$H_{Q10\%}$	$Q_{1\%}$	$H_{Q1\%}$	$Q_{0,2\%}$	$H_{Q0,2\%}$	
												obliczone na podstawie maksymalnych średnich dobowych odpływów ze zbiornika Lubachów
60	Bystrzyca	Krasków	1951-2010	P III	$\beta = 0,0175$; $\lambda = 0,9143$; $\epsilon = 9,5416$	170	361	357	418	491	445	zalecana ponowna weryfikacja KNP
61	Bystrzyca	Mietków	1987-2010	LN	$m_i = 2,0091$; $\sigma = 1,2183$; $\epsilon = 12,7627$	48,3	330	140	440	261	570****	ciąg przepływów maksymalnych wyznaczony na potrzeby modelowania, stacja wodowskazowa poniżej zbiornika Mietków, wyniki $Q_{maxp}\%$ należy traktować jako szacunkowe
62	Bystrzyca	Jarnołtów	1954-2010	LN	$m_i = 3,7884$; $\sigma = 0,9148$; $\epsilon = 8,3674$	151	344	380	448	623	540	
63	Pelcznica	Świebodzice	1952-2008	LN	$m_i = 2,3429$; $\sigma = 0,7637$; $\epsilon = 1,2355$	28,9	225	62,8	305	95,0	338	ciąg przepływów maksymalnych wyznaczony na potrzeby modelowania, brak danych WQ w latach 1992-1999
64	Piława	Dzierżoniów	1986-2010	P III	$\beta = 0,0427$; $\lambda = 0,6437$; $\epsilon = 2,3386$	41,0	355	89,7	464	125	-	ciąg przepływów maksymalnych wyznaczony na potrzeby modelowania
65	Piława	Mościsko	1951-2010	P III	$\beta = 0,0521$; $\lambda = 1,1506$; $\epsilon = 3,8015$	53,0	330	98,7	356	130	374	zalecana ponowna weryfikacja KNP

Lp.	Rzeka	Stacja wodowskazowa	Okres WQ	Rozkład *	Parametry rozkładu	Przepływ maksymalny o zadanym prawdopodobieństwie przewyższenia $Q_{maxp\%}$ [m ³ /s] oraz odpowiadający stan wody H [cm]						Uwaga
						$Q_{10\%}$	$H_{Q10\%}$	$Q_{1\%}$	$H_{Q1\%}$	$Q_{0,2\%}$	$H_{Q0,2\%}$	
66	Strzegomka	Łażany	1951-2010	P III	$\beta = 0,0281$; $\lambda = 0,6931$; $\epsilon = 5,2768$	67,3	391	142	490	197	518	
67	Widawa	Zbytowa	1956-2010	P III	$\beta = 0,2219$; $\lambda = 4,6520$; $\epsilon = 0,2553$	34,2	427	50,1	454	60,1	470	
68	Widawa	Krzyżanowice/Sołtysowice	1968-2010	LN	$\beta = 0,0693$; $\lambda = 1,2991$; $\epsilon = 10,2315$	50,7	342	86,2	371	110	378	$Q_{maxp\%}$ - dla zlewni Widawy powyżej kanału przerzutowego Odra-Widawa, wielkości przepływów maksymalnych w latach 1997 oraz 2010 zostały oszacowane proporcjonalnie do przyrostu zlewni
69	Kaczawa	Świerzawa	1951-2010	LN	$m_i = 2,6757$; $\sigma = 0,8267$; $\epsilon = 1,1472$	43,0	296	101	393	158	474	
70	Kaczawa	Rzymówka	1956-2010	P III	$\beta = 0,0311$; $\lambda = 1,2724$; $\epsilon = 2,9999$	91,8	336	170	425	224	437	zalecana ponowna weryfikacja KNP
71	Kaczawa	Dunino	1954-2010	LN	$m_i = 3,7937$; $\sigma = 0,7946$; $\epsilon = 0,0000$	123	399	282	562	437	603	
72	Kaczawa	Piątnica (Pątnów)	1951-2010	LN	$m_i = 4,1362$; $\sigma = 0,7658$; $\epsilon = 0,0000$	167	536	372	630	567	640	ciąg WQ w latach 1951-1983 według Pątnowa ($A=1810$ km ²), ciąg WQ w latach 1984-2010 według Piątnicy ($A=1807$ km ²), zalecana ponowna weryfikacja KNP
73	Nysa Szalona	Jawor	1951-2010	LN	$m_i = 3,2942$; $\sigma = 0,7967$; $\epsilon = 0,1613$	75,0	287	172	426	267	498	ciąg przepływów maksymalnych wyznaczony na potrzeby modelowania

Projekt: Informatyczny system osłony kraju przed nadzwyczajnymi zagrożeniami

Nr Projektu: POIG.07.01.00-00-025/09

Dokument: Raport Końcowy

Lp.	Rzeka	Stacja wodowskazowa	Okres WQ	Rozkład *	Parametry rozkładu	Przepływ maksymalny o zadanym prawdopodobieństwie przewyższenia $Q_{maxp}\%$ [m ³ /s] oraz odpowiadający stan wody H [cm]						Uwaga
						$Q_{10\%}$	$H_{Q10\%}$	$Q_{1\%}$	$H_{Q1\%}$	$Q_{0,2\%}$	$H_{Q0,2\%}$	
74	Nysa Szalona	Winnica	1979-2010	LN	$m_i = 2,4997$; $\sigma = 0,8825$; $\epsilon = 0,1271$	37,9	169	95,0	275	155	359	w 1978 roku uruchomiono zbiornik retencyjny Słup
75	Czarna Woda	Bukowna	1984-2010	P III	$\beta = 0,4693$; $\lambda = 2,9735$; $\epsilon = 2,2996$	13,6	194	20,1	210	24,3	218	zalecana ponowna weryfikacja KNP
76	Skora	Zagrodno	1959-2010	P III	$\beta = 0,1350$; $\lambda = 2,2926$; $\epsilon = 0,6192$	32,6	273	53,8	305	67,6	317	
77	Skora	Chojnów	1951-2010	P III	$\beta = 0,0275$; $\lambda = 0,7271$; $\epsilon = 2,4785$	68,2	320	146	444	202	507	zalecana ponowna weryfikacja KNP
78	Barycz	Odolanów	1951-2010	P III	$\beta = 0,1857$; $\lambda = 1,2042$; $\epsilon = 1,3355$	15,6	188	28,6	238	37,5	279	zalecana ponowna weryfikacja KNP
79	Barycz	Łąki	1971-2010	P III	$\beta = 0,1111$; $\lambda = 4,5479$; $\epsilon = 0,0000$	66,7	413	98,2	483	118	517	zalecana ponowna weryfikacja KNP
80	Barycz	Osetno	1951-2010	LN	$m_i = 4,1221$; $\sigma = 0,5375$; $\epsilon = 0,5579$	123	464	216	519	290	545	zalecana ponowna weryfikacja KNP
81	Orla	Korzeńsko	1951-2010	P III	$\beta = 0,0992$; $\lambda = 2,8558$; $\epsilon = 0,2765$	51,9	367	82,5	390	102	396	zalecana ponowna weryfikacja KNP
82	Bóbr	Bukówka	1989-2010	P III	$\beta = 1,0770$; $\lambda = 5,1363$; $\epsilon = 0,3827$	7,97	143	11,4	165	13,5	176	stacja wodowskazowa poniżej zbiornika Bukówka
83	Bóbr	Błażkowa	1989-2010	P III	$\beta = 0,1318$; $\lambda = 0,9111$; $\epsilon = 5,9964$	22,3	188	39,4	229	51,4	255	ciąg przepływów maksymalnych wyznaczony na potrzeby modelowania
84	Bóbr	Kamienna Góra	1951-2010	P III	$\beta = 0,0553$; $\lambda = 2,0160$; $\epsilon = 6,4589$	77,3	236	127	287	160	323	zalecana ponowna weryfikacja KNP
85	Bóbr	Wojanów	1956-2010	LN	$m_i = 4,1139$; $\sigma = 0,6608$; $\epsilon = 8,0797$	151	352	293	443	418	-	zalecana ponowna weryfikacja KNP
86	Bóbr	Jelenia Góra	1951-2010	LN	$m_i = 4,4574$; $\sigma = 0,8203$; $\epsilon = 37,8771$	285	354	619	537	952	738	
87	Bóbr	Pilchowice	1961-2010	LN	$m_i = 4,0413$; $\sigma = 0,7898$; $\epsilon = 28,2563$	185	243	386	381	581	486	stacja wodowskazowa poniżej zbiornika Pilchowice,

Projekt: Informatyczny system osłony kraju przed nadzwyczajnymi zagrożeniami

Nr Projektu: POIG.07.01.00-00-025/09

Dokument: Raport Końcowy

Lp.	Rzeka	Stacja wodowskazowa	Okres WQ	Rozkład *	Parametry rozkładu	Przepływ maksymalny o zadanych prawdopodobieństwie przewyższenia $Q_{maxp\%}$ [m ³ /s] oraz odpowiadający stan wody H [cm]						Uwaga
						$Q_{10\%}$	$H_{Q10\%}$	$Q_{1\%}$	$H_{Q1\%}$	$Q_{0,2\%}$	$H_{Q0,2\%}$	
												Qmaxp% należy traktować jako szacunkowe obliczone na podstawie maksymalnych średnich dobowych odpływów ze zbiornika
88	Bóbr	Dąbrowa Bolesławiecka	1967-2010	LN	mi = 4,1496; sigma = 0,9344; epsilon = 34,1380	244	467	592	646	968	686	
89	Bóbr	Szprotawa	1951-2010	LN	mi = 4,1369; sigma = 1,0399; epsilon = 43,0454	268	438	664	537	1102	604	zalecana ponowna weryfikacja KNP
90	Bóbr	Żagań	1951-2010	LN	mi = 4,9194; sigma = 0,7655; epsilon = 32,6125	398	574	845	841	1273	905	zalecana ponowna weryfikacja KNP
91	Łomnica	Łomnica	1957-2010	LN	mi = 2,8956; sigma = 0,8362; epsilon = 3,0797	55,9	443	130	477	243	524	zalecana ponowna weryfikacja KNP
92	Jedlica	Kowary	1958-2010	LN	mi = 1,1632; sigma = 1,1574; epsilon = 0,0155	14,1	96	47,3	163	89,5	219	zalecana ponowna weryfikacja KNP
93	Kamienica	Barcinek	1951-2010	LN	mi = 2,7584; sigma = 0,9907; epsilon = 2,0198	58,2	199	160	302	275	-	
94	Szprotawa	Szprotawa	1961-2010	LN	mi = 2,7277; sigma = 0,4366; epsilon = 0,4950	27,3	327	42,7	373	54,2	405	zalecana ponowna weryfikacja KNP
95	Czerna Wielka	Żagań	1951-2010	LN	mi = 2,8100; sigma = 0,6101; epsilon = 0,8654	37,2	264	69,5	316	97,0	352	
96	Czerna Mała	Itowa	1961-2010	P III	beta = 0,2410; lambda = 1,7182; epsilon = 1,0523	15,4	276	26,4	299	33,7	315	brak danych WQ w latach 1992-1995
97	Kamienna	Jakuszyce	1974-2020	LN	mi = 1,1631; sigma = 1,1495; epsilon = 2,1109	16,1	171	48,5	253	89,6	-	
98	Kamienna	Piechowice	1966-2010	P III	beta = 0,0350; lambda = 0,9695; epsilon = 18,4889	82,8	258	148	349	194	408	
99	Kamienna	Jelenia Góra	1966-2010	LN	mi = 3,2338; sigma = 0,7419; epsilon = 20,5670	86,2	308	163	402	235	432	
100	Kwisa	Mirsk	1969-2010	P III	beta = 0,0181; lambda = 1,1912; epsilon = 10,8093	156	568	289	634	381	659	zalecana ponowna weryfikacja KNP
101	Kwisa	Leśna	1972-2010	P III	beta = 0,0250; lambda = 0,8963; epsilon = 11,3932	96,3	196	186	274	250	313	stacja wodowskazowa

Projekt: Informatyczny system osłony kraju przed nadzwyczajnymi zagrożeniami

Nr Projektu: POIG.07.01.00-00-025/09

Dokument: Raport Końcowy

Lp.	Rzeka	Stacja wodowskazowa	Okres WQ	Rozkład *	Parametry rozkładu	Przepływ maksymalny o zadanym prawdopodobieństwie przewyższenia $Q_{maxp\%}$ [m ³ /s] oraz odpowiadający stan wody H [cm]						Uwaga
						$Q_{10\%}$	$H_{Q10\%}$	$Q_{1\%}$	$H_{Q1\%}$	$Q_{0,2\%}$	$H_{Q0,2\%}$	
												poniżej zbiornika Leśna, $Q_{maxp\%}$ należy traktować jako szacunkowe obliczone na podstawie maksymalnych średnich dobowych odpływów ze zbiornika
102	Kwisa	Nowogrodziec	1951-2010	LN	$m_i = 3,8233$; $\sigma = 0,8702$; $\epsilon = 13,5758$	153	460	360	523	574	580	
103	Kwisa	Łozy	1971-2010	LN	$m_i = 3,8201$; $\sigma = 0,8945$; $\epsilon = 12,1854$	156	525	378	646	611	700	zalecana ponowna weryfikacja KNP
104	Czarny Potok	Mirsk	1956-2010	P III	$\beta = 0,0520$; $\lambda = 0,7968$; $\epsilon = 3,1581$	40,5	311	82,5	409	112	459	
105	Nysa Łużycka	Porajów	1956-2010	-	-	116	278	267	409	457***	499	przepływy maksymalne o zadanym prawdopodobieństwie przewyższenia uzgodnione ze stroną niemiecką w Dreźnie 31.01-02.02.2012 r. zalecana ponowna weryfikacja KNP
106	Nysa Łużycka	Sieniawka	1956-2010	-	-	220	324	430	418	601***	486	przepływy maksymalne o zadanym prawdopodobieństwie przewyższenia uzgodnione ze stroną niemiecką w Dreźnie 31.01-02.02.2012 r. zalecana ponowna

Projekt: Informatyczny system osłony kraju przed nadzwyczajnymi zagrożeniami

Nr Projektu: POIG.07.01.00-00-025/09

Dokument: Raport Końcowy

Lp.	Rzeka	Stacja wodowskazowa	Okres WQ	Rozkład *	Parametry rozkładu	Przepływ maksymalny o zadanym prawdopodobieństwie przewyższenia $Q_{maxp\%}$ [m ³ /s] oraz odpowiadający stan wody H [cm]						Uwaga
						$Q_{10\%}$	$H_{Q10\%}$	$Q_{1\%}$	$H_{Q1\%}$	$Q_{0,2\%}$	$H_{Q0,2\%}$	
												weryfikacja KNP
107	Nysa Łużycka	Zgorzelec	1956-2010	-	-	321	563	883	712	1728***	826	przepływy maksymalne o zadanym prawdopodobieństwie przewyższenia uzgodnione ze stroną niemiecką w Dreźnie 31.01-02.02.2012 r.
108	Nysa Łużycka	Przewóz	1963-2010	-	-	302	525	870	677	1753***	797	przepływy maksymalne o zadanym prawdopodobieństwie przewyższenia uzgodnione ze stroną niemiecką w Dreźnie 31.01-02.02.2012 r.
109	Nysa Łużycka	Gubin	1956-2010	-	-	315	521	692	596	1054***	697	przepływy maksymalne o zadanym prawdopodobieństwie przewyższenia uzgodnione ze stroną niemiecką w Dreźnie 31.01-02.02.2012 r.
110	Witka	Ostróžno	1965-2010	LN	$m_i = 3,7144$; $\sigma = 0,8028$; $\epsilon = 11,3270$	126	303	277	327	425	347	wyniki $Q_{maxp\%}$ nie zostały uzgodnione ze stroną czeską
111	Miedzianka	Turoszów	1957-2010	GEV	$m_i = 6,6344$; $\sigma = 3,5662$; $k_{si} = 0,4843$	21,2	447	67,6	562	149	-	WQ 2010 - 190 m ³ /s, uwzględniono wodę, która się wlała do KWB Turów z Miedzianki

Projekt: Informatyczny system osłony kraju przed nadzwyczajnymi zagrożeniami

Nr Projektu: POIG.07.01.00-00-025/09

Dokument: Raport Końcowy

Lp.	Rzeka	Stacja wodowskazowa	Okres WQ	Rozkład *	Parametry rozkładu	Przepływ maksymalny o zadanym prawdopodobieństwie przewyższenia $Q_{maxp\%}$ [m ³ /s] oraz odpowiadający stan wody H [cm]						Uwaga
						$Q_{10\%}$	$H_{Q10\%}$	$Q_{1\%}$	$H_{Q1\%}$	$Q_{0,2\%}$	$H_{Q0,2\%}$	
												i Potoku Ślad
112	Czerwona Woda	Zgorzelec	1958-2010	P III	beta = 0,0626; lambda = 0,7563; epsilon = 3,3580	33,1	268	67,5	323	92,1	339	
113	Skroda	Przewoźniki	1958-2010	P III	beta = 0,2232; lambda = 2,2626; epsilon = 0,7887	19,9	453	32,7	-	41,1	-	
114	Lubsza	Pleśno	1961-2003	P III	beta = 0,2248; lambda = 5,5143; epsilon = 0,0000	38,5	-	55,1	-	65,4	-	zalecana ponowna weryfikacja KNP
115	Klikawa (Szybka)	Kudowa Zdrój-Zakrze	1957-2010	P III	beta = 0,6438; lambda = 4,2855; epsilon = 0,0000	11,0	335	16,3	381	19,7	402	